

# ボルツマン輻射流体コードによる 超新星爆発シミュレーション

原田了 (宇宙線研究所)

# 超新星爆発

- ・ 超新星爆発: 星が死ぬ時の爆発
- ・ 分類:

## 重力崩壊型

- ・ 大質量星コアの重力崩壊に伴う爆発
- ・ 中性子星が中心に残される
- ・ 重力波・ニュートリノ観測のターゲット

## 熱核暴走型

- ・ 暴走的な核燃焼による爆発
- ・ 中心天体を残さない
- ・ 標準光源になる

# 超新星爆発

- ・ 超新星爆発: 星が死ぬ時の爆発
- ・ 分類:

## 重力崩壊型

- ・ 大質量星コアの重力崩壊に伴う爆発
- ・ 中性子星が中心に残される
- ・ 重力波・ニュートリノ観測のターゲット

## 熱核暴走型

- ・ 暴走的な核燃焼による爆発
- ・ 中心天体を残さない
- ・ 標準光源になる

# 重力崩壊型超新星爆発

- ・ 重力崩壊型超新星爆発:
  - 大質量星の最期の爆発現象(エネルギー $10^{51}$  erg)
- ・ 星のコアが中性子星に崩壊する時に解放される重力エネルギー( $10^{53}$  erg)がエネルギー源
- ・ 残りはニュートリノとして放射



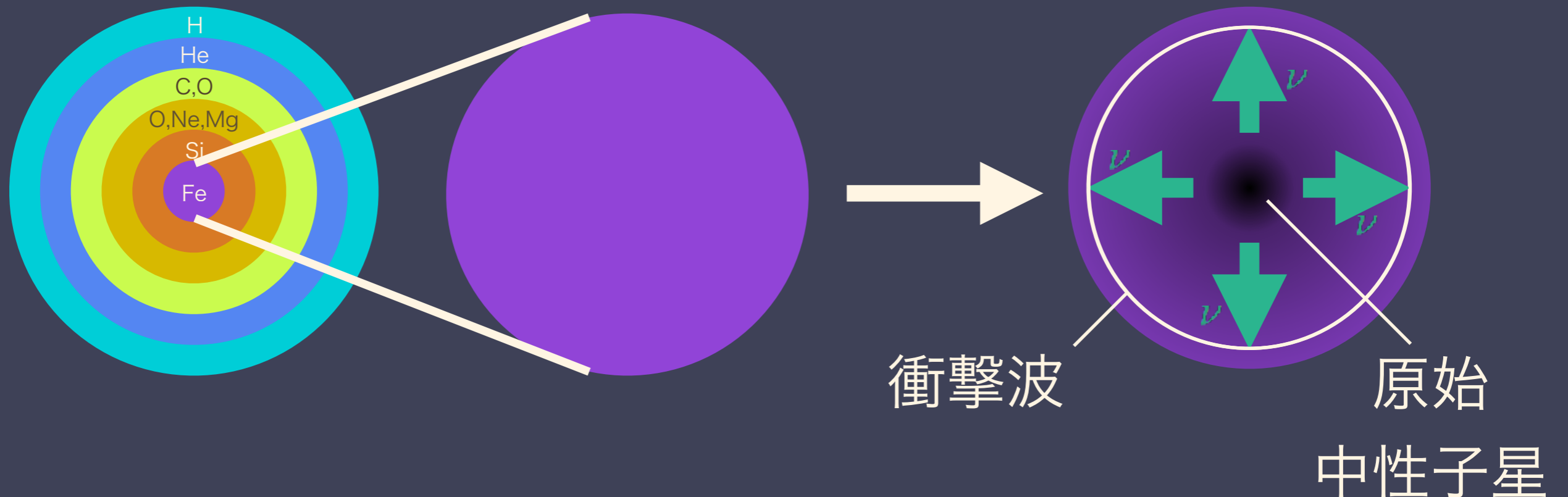
SN1987A

©NASA, ESA/Hubble

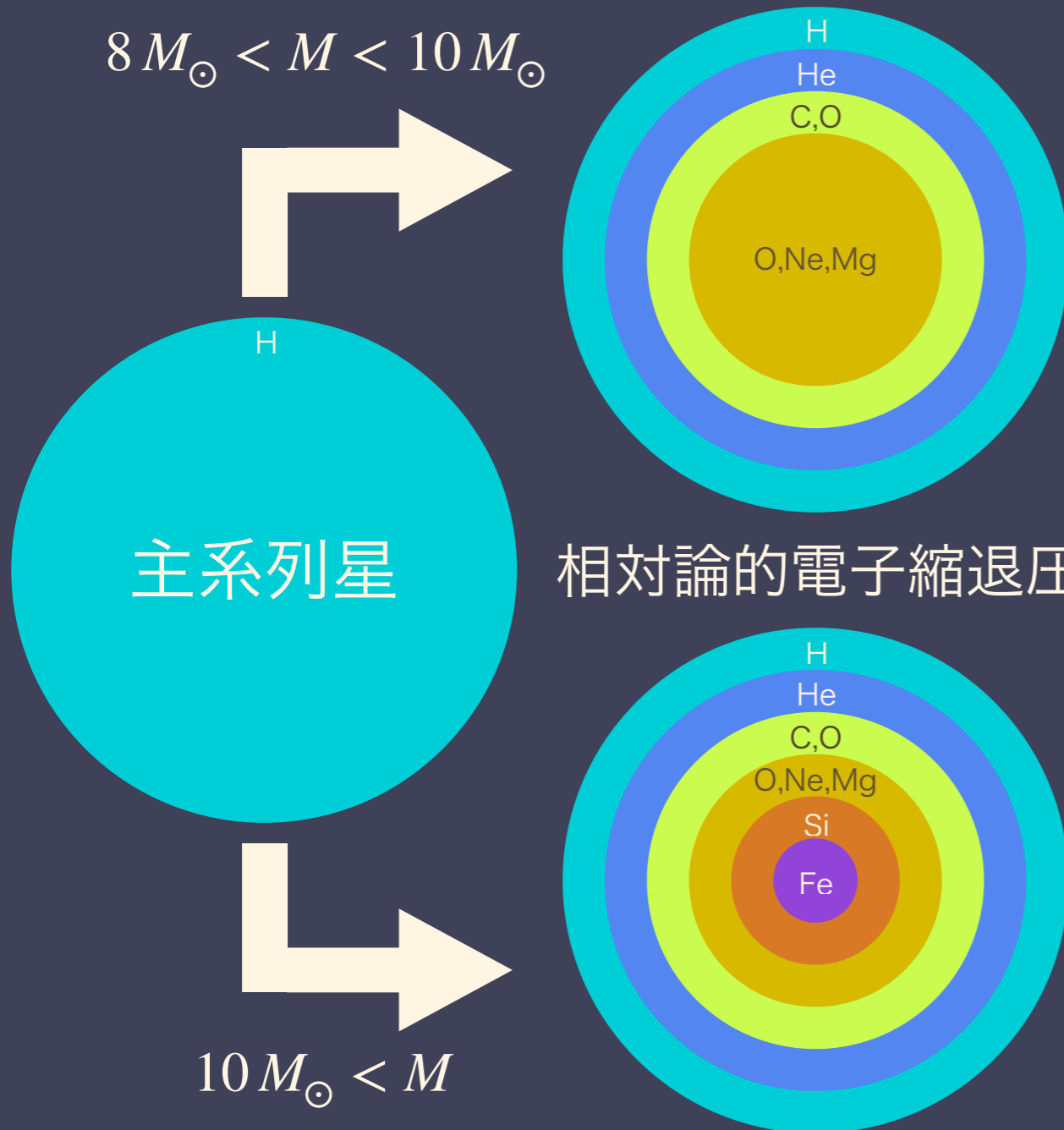
# 超新星爆発メカニズム

- ・ 重力崩壊→コアバウンス→衝撃波停滞
- ・ 中心の原始中性子星からのニュートリノ放射
- ・ 衝撃波がニュートリノ加熱によって復活

→ニュートリノ加熱メカニズム



# 重力崩壊の開始

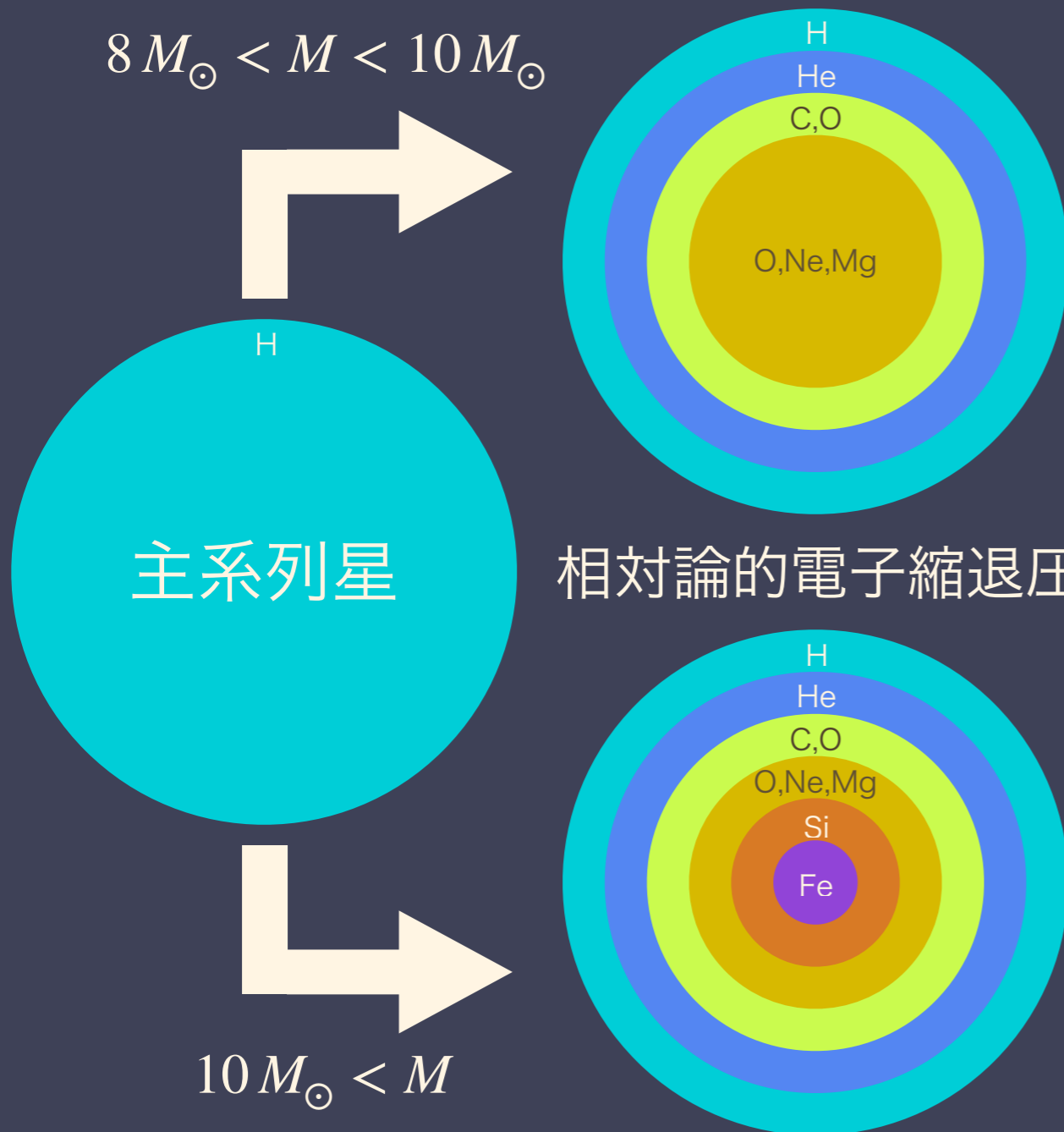


相対論的電子縮退圧+熱圧力 → 断熱指数が少し減れば重力崩壊

$$\gamma = \frac{\partial \ln P}{\partial \ln \rho}$$

$\gamma > \frac{4}{3}$  だと圧力の増加 > 重力の増加  
→ 安定

# 重力崩壊の開始



相対論的電子縮退圧+熱圧力 → 断熱指数が少し減れば重力崩壊

- 電子捕獲反応  

$$^{24}\text{Mg} + e^{-} \rightarrow ^{24}\text{Na} + \nu_e$$
- 縮退電子のFermiエネルギー → 反応閾値
- 電子の縮退圧を減らす

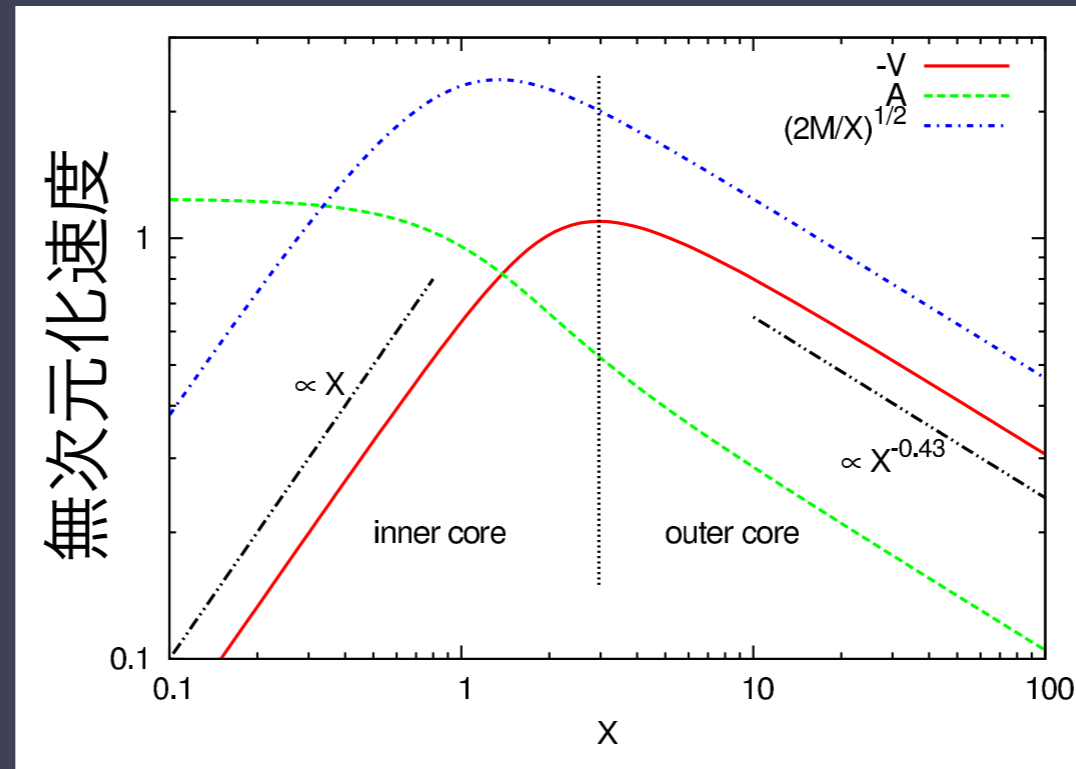
- 原子核の光分解  

$$^{56}\text{Fe} \rightarrow 13^4\text{He} + 4n - 125 \text{ MeV}$$
- 自由エネルギー  $F=U-TS$  の最小化；  
 $\text{Fe} \uparrow$  で  $U \downarrow$ ； $\text{Fe} \downarrow$  で  $S \uparrow \rightarrow T \uparrow$  では  $\text{Fe} \downarrow$
- 吸熱反応で熱圧力を下げる

# 重力崩壊の自己相似解

- 断熱的重力崩壊→状態方程式  $P = \kappa\rho^\gamma$
- 次元付きパラメータは  $\kappa$  と  $G$  だけなので自己相似解が存在する (Yahil 1983) :
- 自己相似変数を  $X = G^{(\gamma-1)/2} \kappa^{-1/2} (-t)^{\gamma-2} r$  として

- 内部コア  
homologous ( $v \propto r$ )  
亜音速  
大体Chandrasekhar質量



Yahil (1983)を再構成

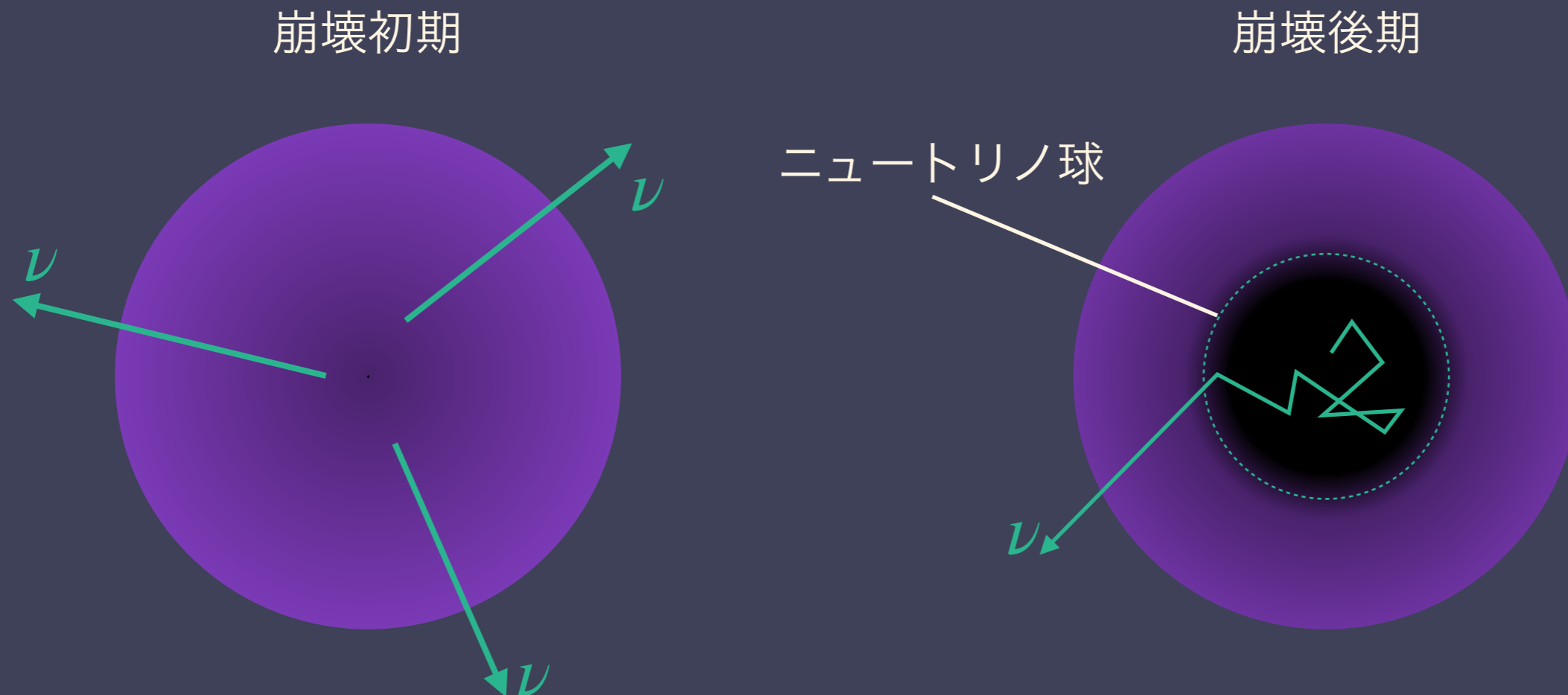
- 外部コア  
だいたいfree-fall  
超音速

崩壊中、中心はどんどん高温高密度になっていくので、  
結局電子捕獲も光分解も進んでいく



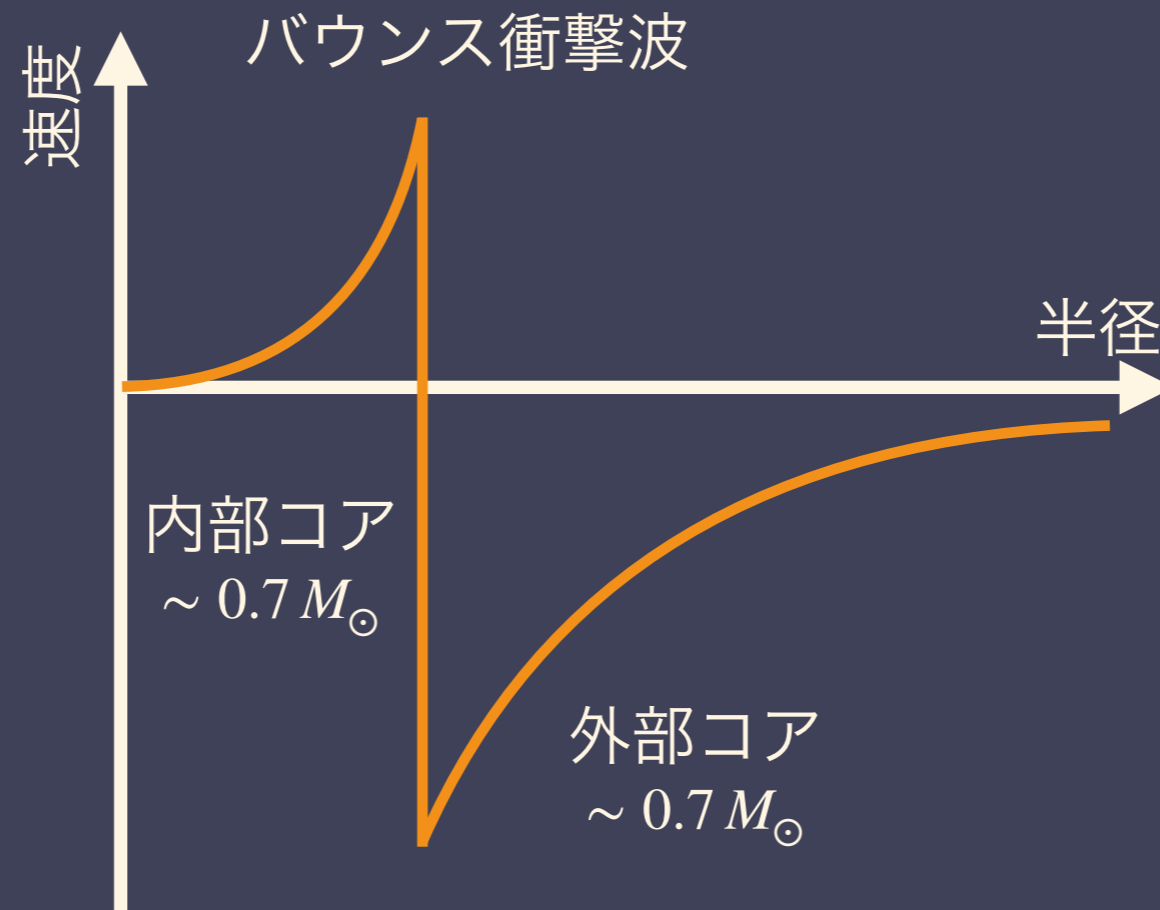
# ニュートリノトラッピング

- ・ 電子捕獲反応→ニュートリノ生成
- ・ 崩壊初期：ニュートリノは自由に抜け出す
- ・ 崩壊後期：平均自由行程<コアのサイズ となり、抜け出せなくなる  
→ニュートリノトラッピング
- ・ ニュートリノ球を形成する



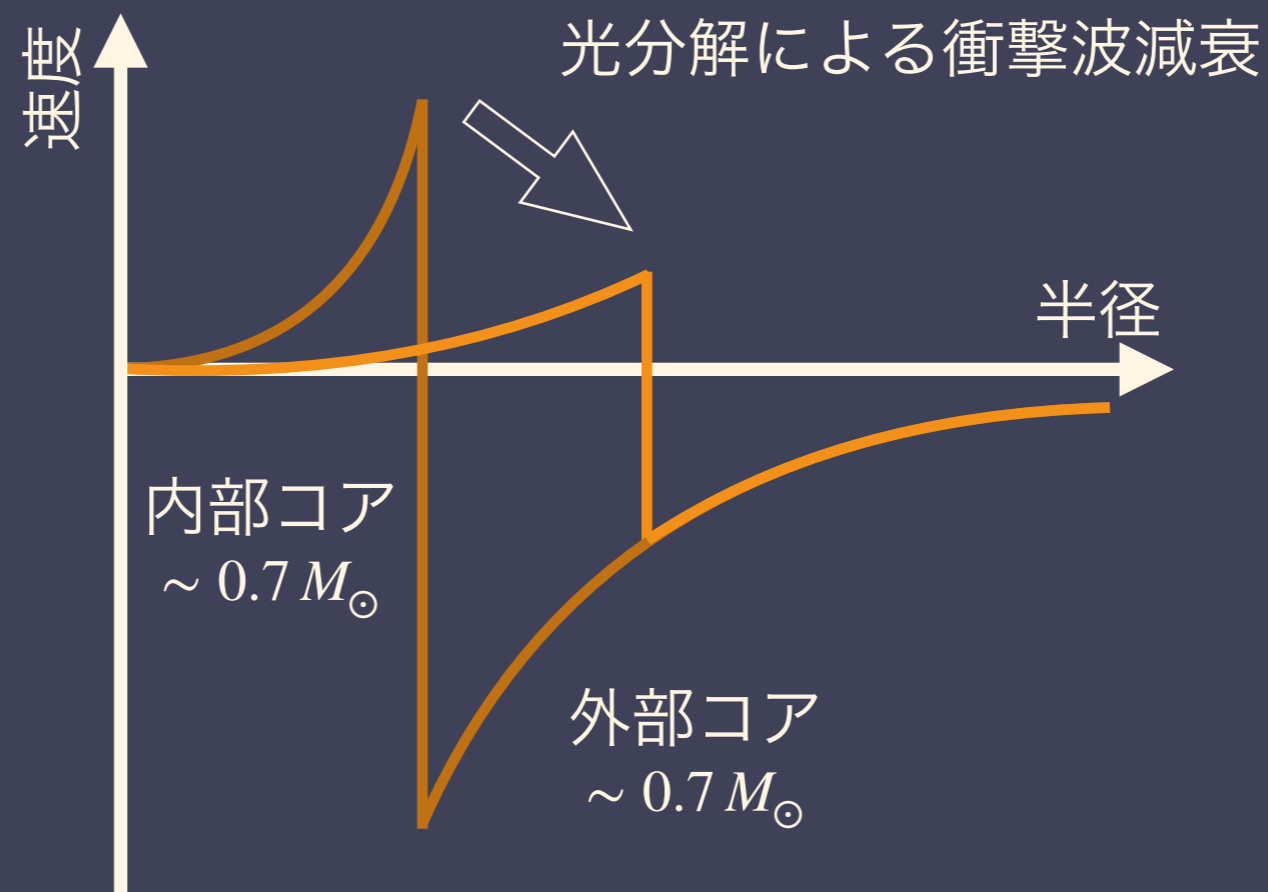
# バウンス衝撃波とその停滞

- 中心が核密度に→亜音速内部コアはブレーキ；超音速外部コアは影響なし  
→内外部コアの境界にバウンス衝撃波( $\sim 10^{51}$  erg) (コアバウンス)



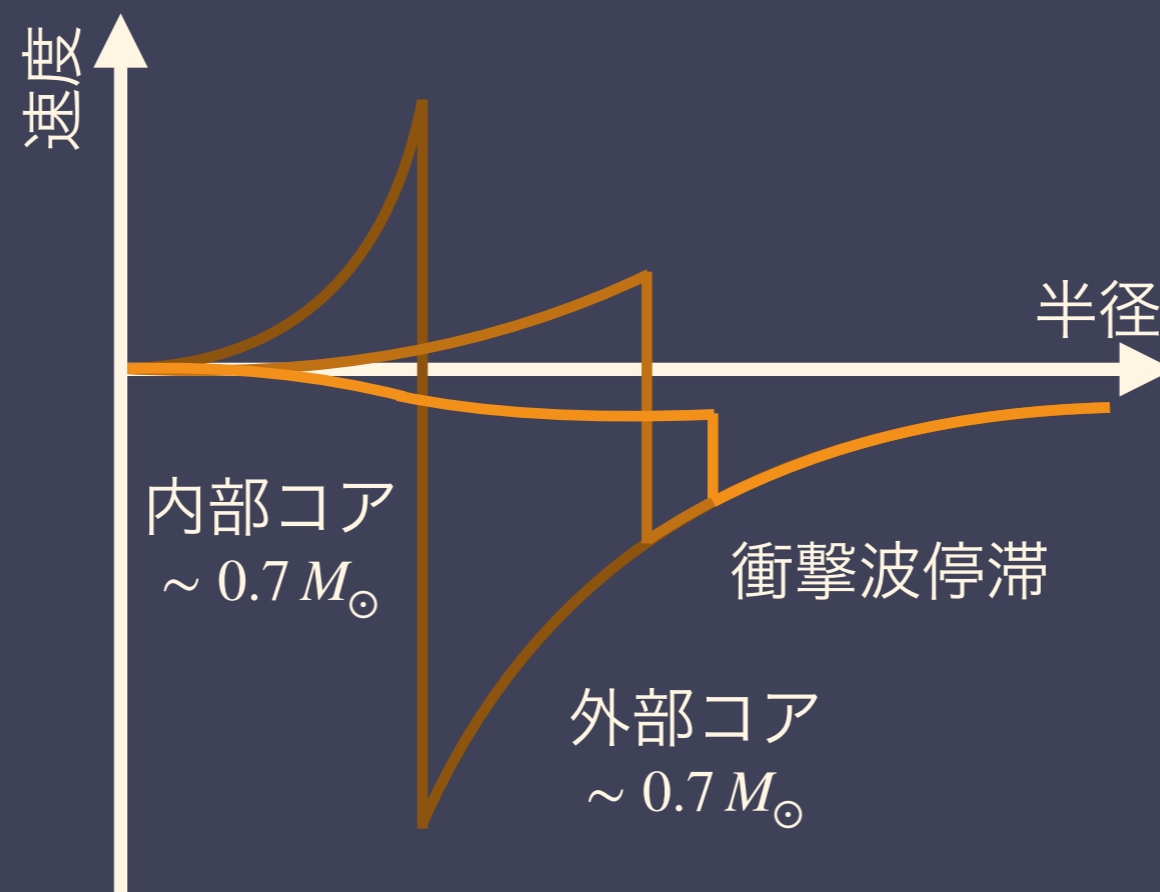
# バウンス衝撃波とその停滞

- ・ 中心が核密度に→亜音速内部コアはブレーキ；超音速外部コアは影響なし  
→内外部コアの境界にバウンス衝撃波( $\sim 10^{51}$  erg) (コアバウンス)
- ・ 衝撃波は飲み込んだ原子核を分解しながら進む
- ・ Feの結合エネルギーは8.8 MeV/nucleon  
→外部コアのFeを光分解するのに衝撃波はエネルギーを使い切る

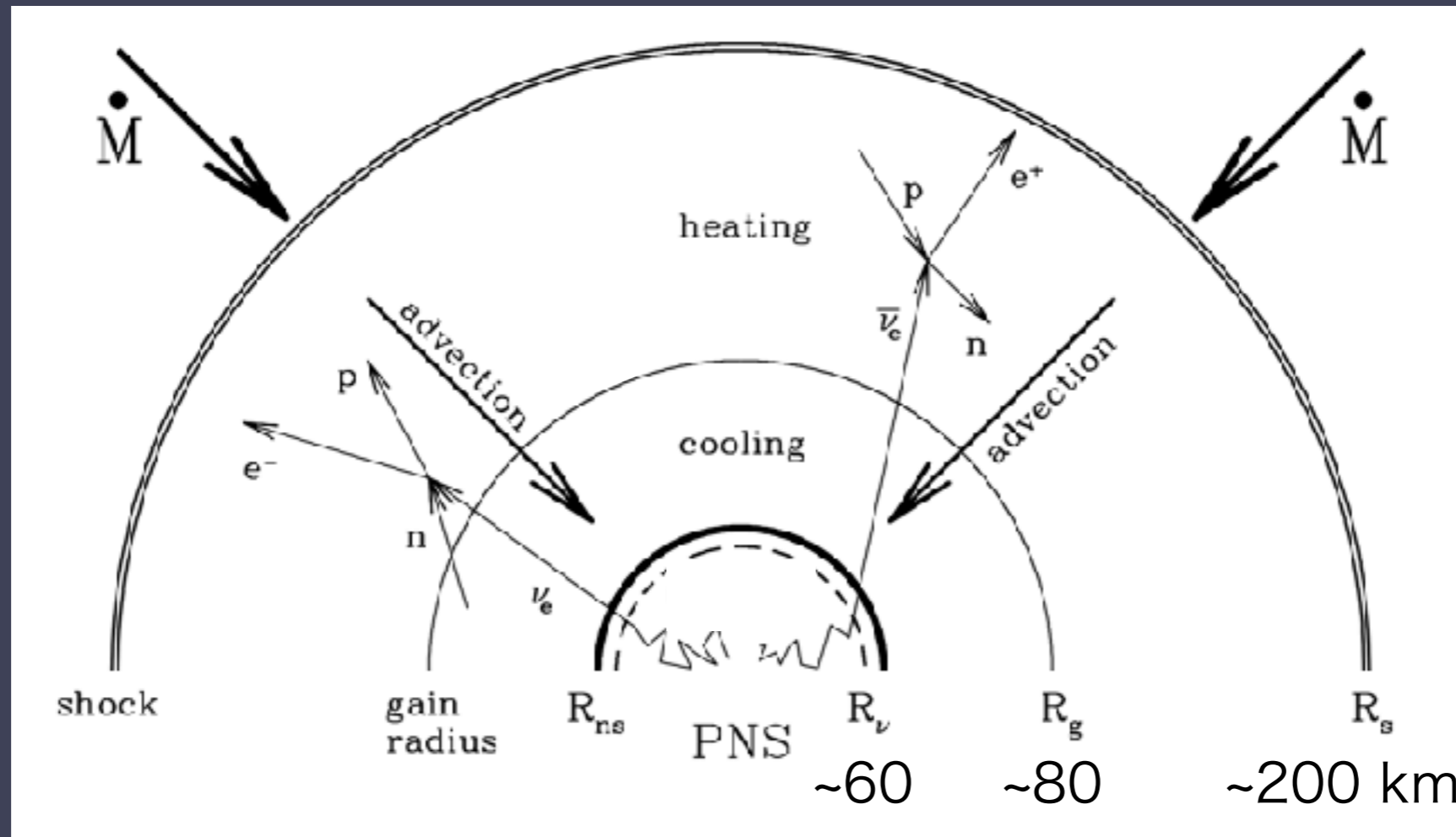


# バウンス衝撃波とその停滞

- ・ 中心が核密度に→亜音速内部コアはブレーキ；超音速外部コアは影響なし  
→内外部コアの境界にバウンス衝撃波( $\sim 10^{51}$  erg) (コアバウンス)
- ・ 衝撃波は飲み込んだ原子核を分解しながら進む
- ・ Feの結合エネルギーは8.8 MeV/nucleon  
→外部コアのFeを光分解するのに衝撃波はエネルギーを使い切る  
→衝撃波停滞



# 停滞衝撃波の構造



Janka (2001)を  
一部改変

- ・ バウンス後、中心には原始中性子星(半径 $R_{ns}$ , もしくはニュートリノ球半径 $R_\nu$ )
- ・ ゲイン半径 $R_{gain}$  : ニュートリノ冷却領域と加熱領域を分ける
- ・ 衝撃波半径 $R_s$
- ・ 衝撃波への質量降着が続き、原始中性子星からのニュートリノ放射で加熱されて支えられる

→加熱が勝って衝撃波が復活するのがニュートリノ加熱メカニズム

# 停滞衝撃波の構造

- 衝撃波下流は高温のため、

$$P = \kappa \rho^{4/3} = P_{e^\pm} + P_\gamma + P_b \propto T^4$$

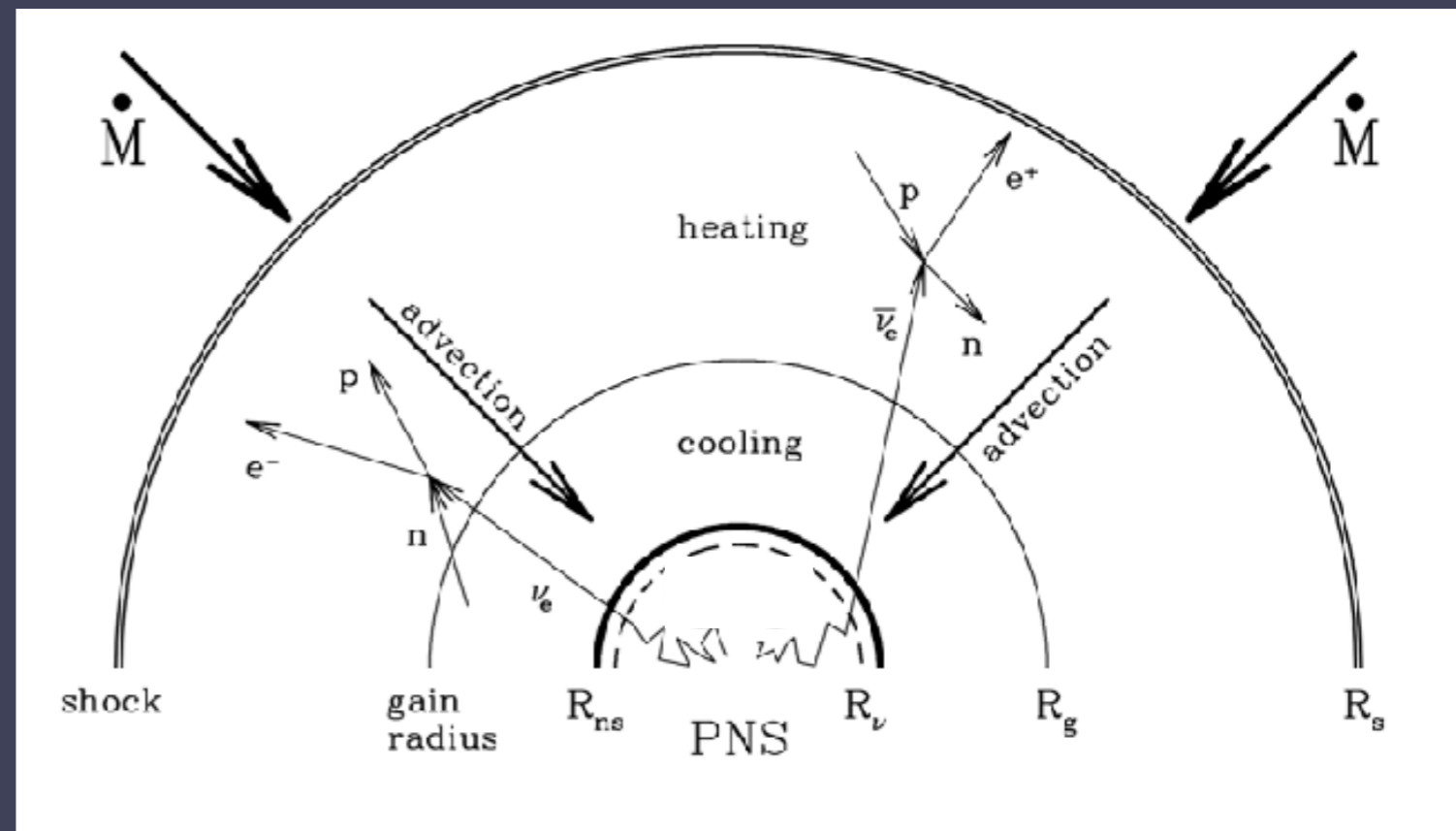
- 準定常状態のため、静水圧平衡

$$\frac{dP}{dr} = - \frac{GM_{\text{PNS}} \rho}{r^2}$$

ゆえに  $\rho \propto r^{-3}$

EOSから  $\rho^{4/3} \propto T^4$

従って  $T \propto r^{-1}$



Janka (2001)を一部改変

# 停滞衝撃波の構造

- 核子あたりの加熱率

$$q_{\nu}^{+} \simeq \frac{L_{\nu_e} \sigma_{\nu_e} Y_n + L_{\bar{\nu}_e} \sigma_{\bar{\nu}_e} Y_p}{4\pi r^2} \simeq \frac{L_{\nu} \sigma_{\nu}}{4\pi r^2}$$

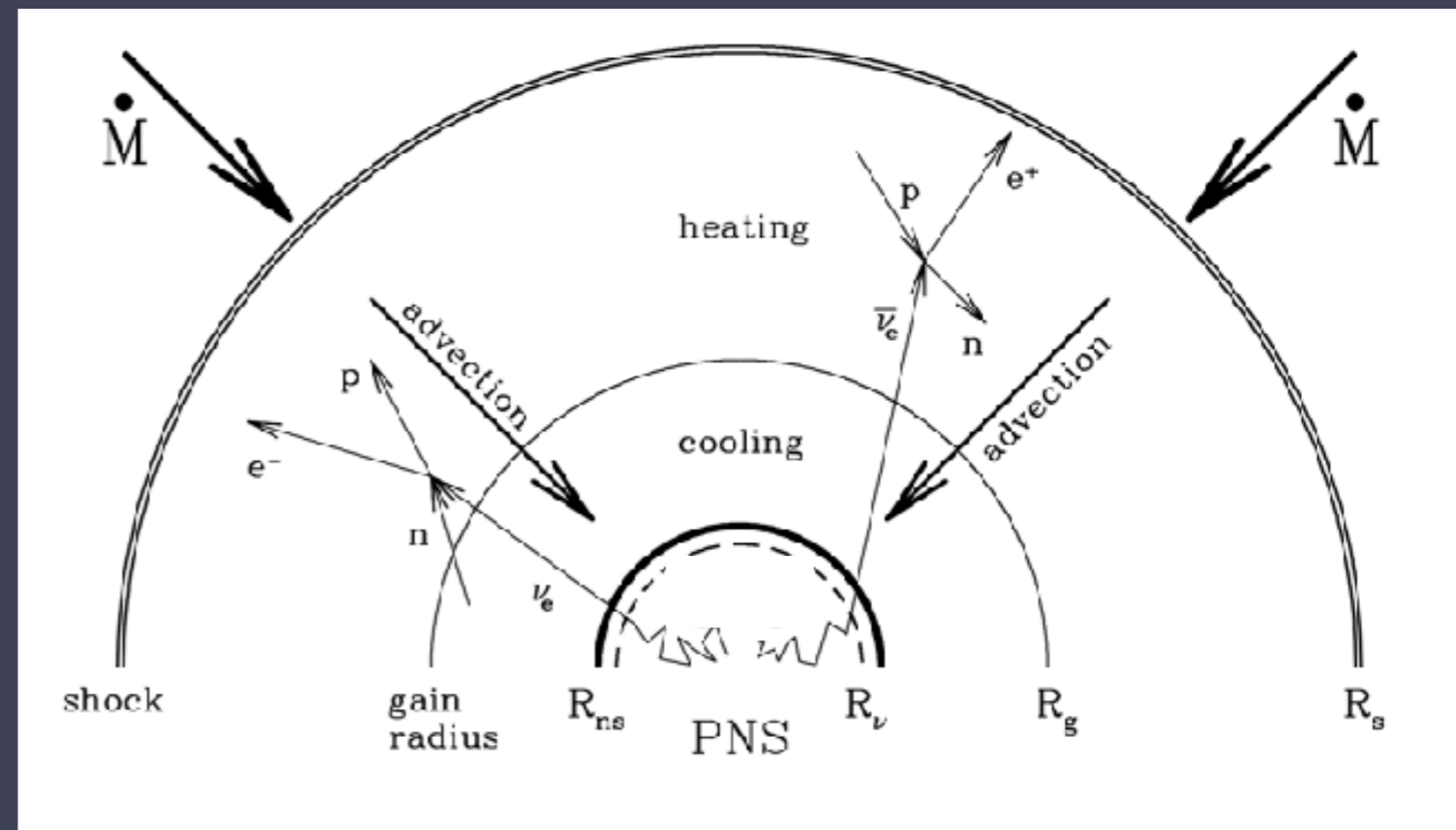
- 核子あたりの冷却率

$$q_{\nu}^{-} \simeq \sigma(T) a c T^4 \quad \text{w/} \sigma(T) \propto T^2$$

よって

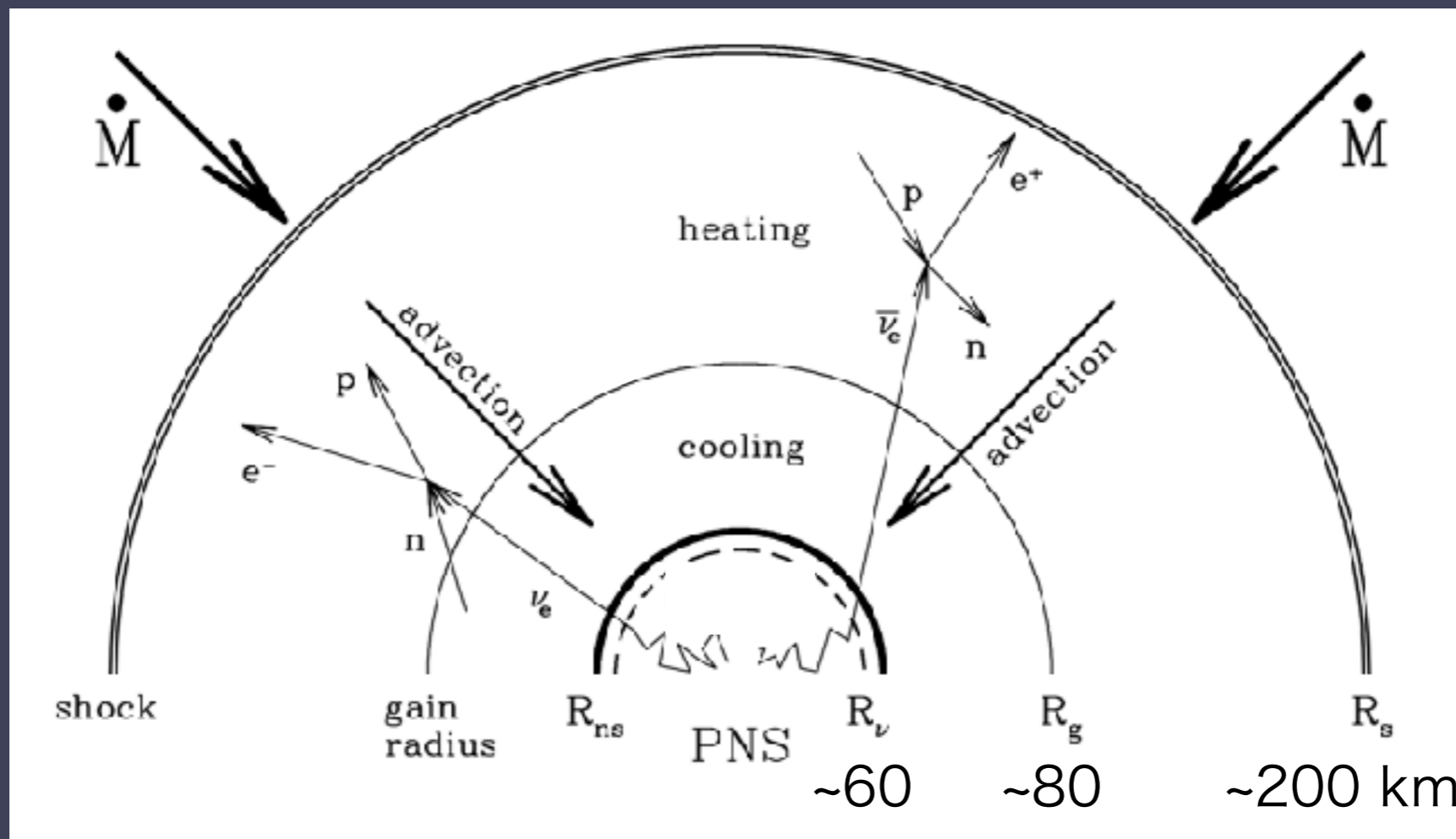
$$q_{\nu}^{-} \propto T^6 \propto r^{-6}$$

- $r \downarrow$  で冷却が卓越；
- $r \uparrow$  で加熱が卓越；
- 釣り合う半径はgain半径



Janka (2001)を一部改変

# 停滞衝撃波の構造



Janka (2001)を  
一部改変

- ・ バウンス後、中心には原始中性子星(半径 $R_{ns}$ , もしくはニュートリノ球半径 $R_\nu$ )
- ・ ゲイン半径 $R_{gain}$  : ニュートリノ冷却領域と加熱領域を分ける
- ・ 衝撃波半径 $R_s$
- ・ 衝撃波への質量降着が続き、原始中性子星からのニュートリノ放射で加熱されて支えられる

→加熱が勝って衝撃波が復活するのがニュートリノ加熱メカニズム



# タイムスケール比

- 爆発に「どれだけ近いか」の指標：タイムスケール比  $\tau_{\text{adv}}/\tau_{\text{heat}}$
- 移流タイムスケール：ゲイン領域を流れるのにかかる時間

$$\tau_{\text{adv}} := M_{\text{gain}}/\dot{M}$$

- 加熱タイムスケール：全エネルギーが正になるのにかかる時間

$$\tau_{\text{heat}} := E_{\text{gain}}/Q_{\text{gain}}$$

比が1を超えると十分早く加熱されて爆発する

$$\frac{\tau_{\text{adv}}}{\tau_{\text{heat}}} = \frac{M_{\text{gain}}}{\dot{M}} \frac{Q_{\text{gain}}}{E_{\text{gain}}} > 1$$

# タイムスケール比

$$\frac{\tau_{\text{adv}}}{\tau_{\text{heat}}} = \frac{M_{\text{gain}}}{\dot{M}} \frac{Q_{\text{gain}}}{E_{\text{gain}}} \simeq 2.4$$

$$M_{\text{gain}} \simeq 0.01 M_{\odot} \quad \dot{M} \simeq 0.1 M_{\odot}/\text{s}$$

$$Q_{\text{gain}} \simeq \frac{L_{\nu} \sigma}{4\pi r_{\text{gain}}^2} \frac{M_{\text{gain}}}{m_{\text{u}}} = 9.4 \times 10^{51} \text{ erg/s} \left( \frac{k_{\text{B}} T}{4 \text{ MeV}} \right)^2 \left( \frac{L_{\nu}}{3 \times 10^{52} \text{ erg/s}} \right) \left( \frac{M_{\text{gain}}}{0.01 M_{\odot}} \right) \left( \frac{r_{\text{gain}}}{100 \text{ km}} \right)^{-2}$$

$$E_{\text{gain}} \simeq \frac{GM_{\text{PNS}} M_{\text{gain}}}{r_{\text{gain}}} = 4.0 \times 10^{50} \text{ erg} \left( \frac{M_{\text{PNS}}}{1.4 M_{\odot}} \right) \left( \frac{M_{\text{gain}}}{0.01 M_{\odot}} \right) \left( \frac{r_{\text{gain}}}{100 \text{ km}} \right)^{-1}$$

- 大雑把に値を評価するとタイムスケール比はオーダー1で、ニュートリノ加熱メカニズムでうまくいきそう

# 臨界曲線理論

$$\frac{\tau_{\text{adv}}}{\tau_{\text{heat}}} = \frac{M_{\text{gain}}}{\dot{M}} \frac{Q_{\text{gain}}}{E_{\text{gain}}} > 1$$

$$Q_{\text{gain}} \simeq \frac{L_{\nu}\sigma}{4\pi r_{\text{gain}}^2} \frac{M_{\text{gain}}}{m_{\text{u}}}$$

- ・ ニュートリノ加熱率がニュートリノ光度に比例する単純なモデルを考える

# 臨界曲線理論

$$\frac{M_{\text{gain}}^2}{\dot{M}} \frac{L_{\nu}\sigma}{4\pi r_{\text{g}}^2 m_{\text{u}} E_{\text{gain}}} > 1$$

$$Q_{\text{gain}} \simeq \frac{L_{\nu}\sigma}{4\pi r_{\text{gain}}^2} \frac{M_{\text{gain}}}{m_{\text{u}}}$$

- ・ ニュートリノ加熱率がニュートリノ光度に比例する単純なモデルを考える

# 臨界曲線理論

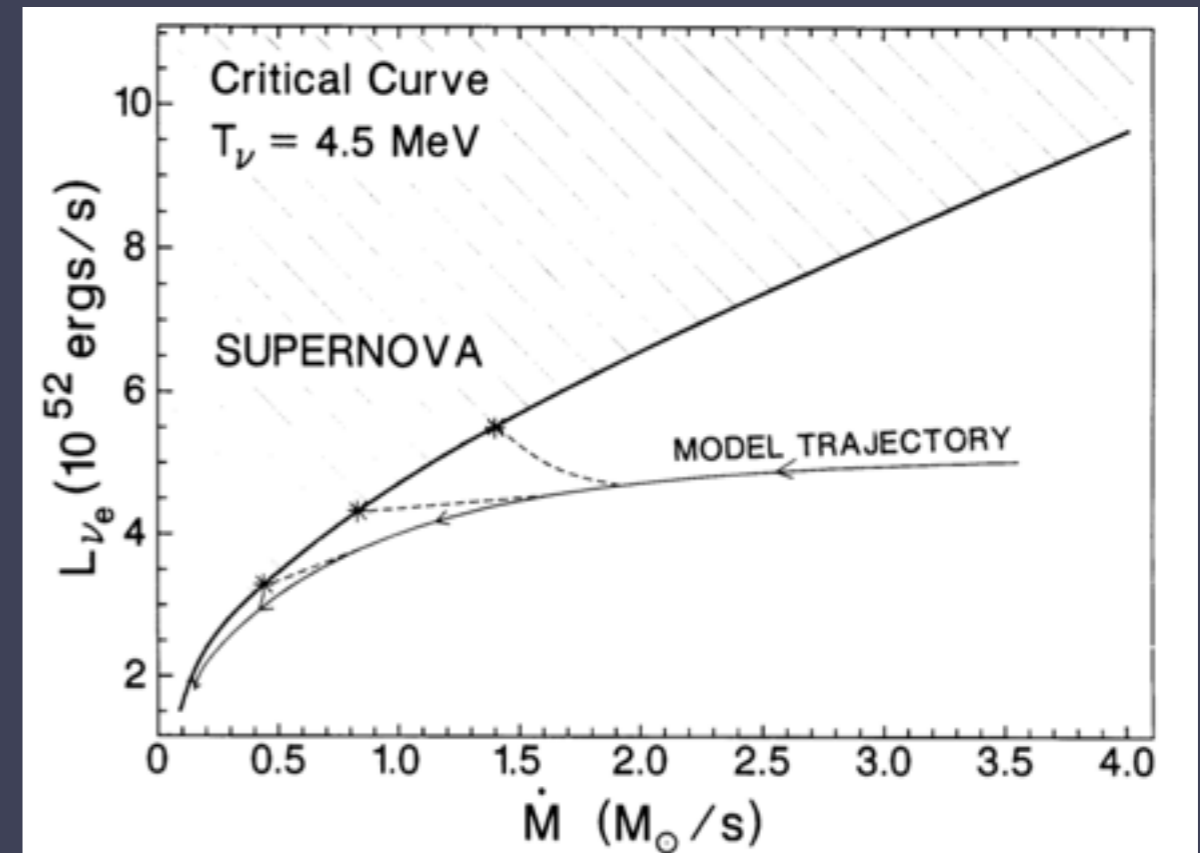
$$L_\nu > \frac{4\pi r_g^2 m_u E_{\text{gain}} \dot{M}}{\sigma M_{\text{gain}}^2}$$

$$Q_{\text{gain}} \simeq \frac{L_\nu \sigma}{4\pi r_{\text{gain}}^2} \frac{M_{\text{gain}}}{m_u}$$

- ・ ニュートリノ加熱率がニュートリノ光度に比例する単純なモデルを考える
- ・ ニュートリノ光度が質量降着率で決まるある値より大きいと爆発する  
→臨界曲線

# 臨界曲線理論

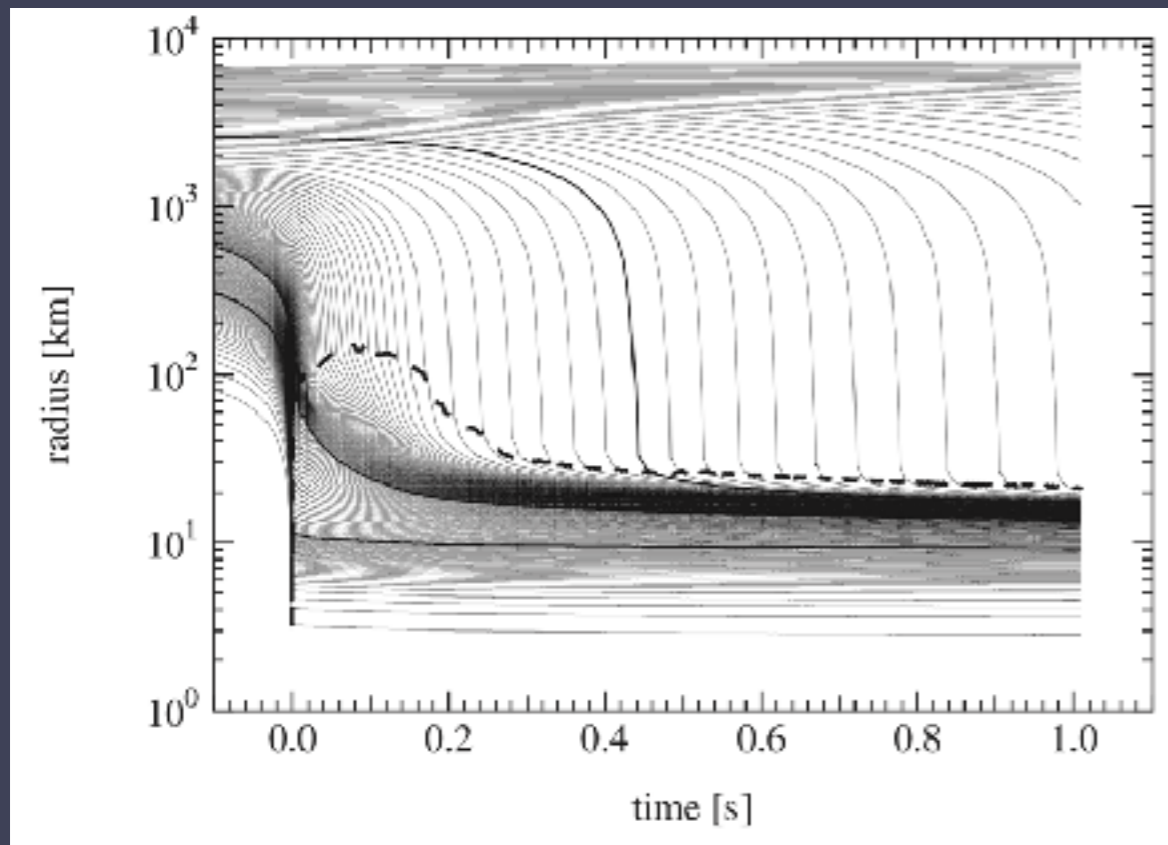
$$\begin{aligned} \frac{1}{r^2} \frac{d}{dr} (r^2 \rho v) &= 0, \\ \frac{1}{r^2} \frac{d}{dr} (r^2 \rho v^2) + \frac{dP}{dr} &= -\rho \frac{d\Phi}{dr}, \\ \frac{1}{r^2} \frac{d}{dr} \left\{ r^2 \rho v \left( e + \frac{1}{2} v^2 + \frac{P}{\rho} \right) \right\} &= -\rho v \frac{d\Phi}{dr} + Q, \\ \frac{1}{r^2} \frac{d}{dr} (r^2 \rho v Y_e) &= \rho \Gamma, \\ \Phi &= -\frac{GM_{\text{PNS}}}{r}, \end{aligned}$$



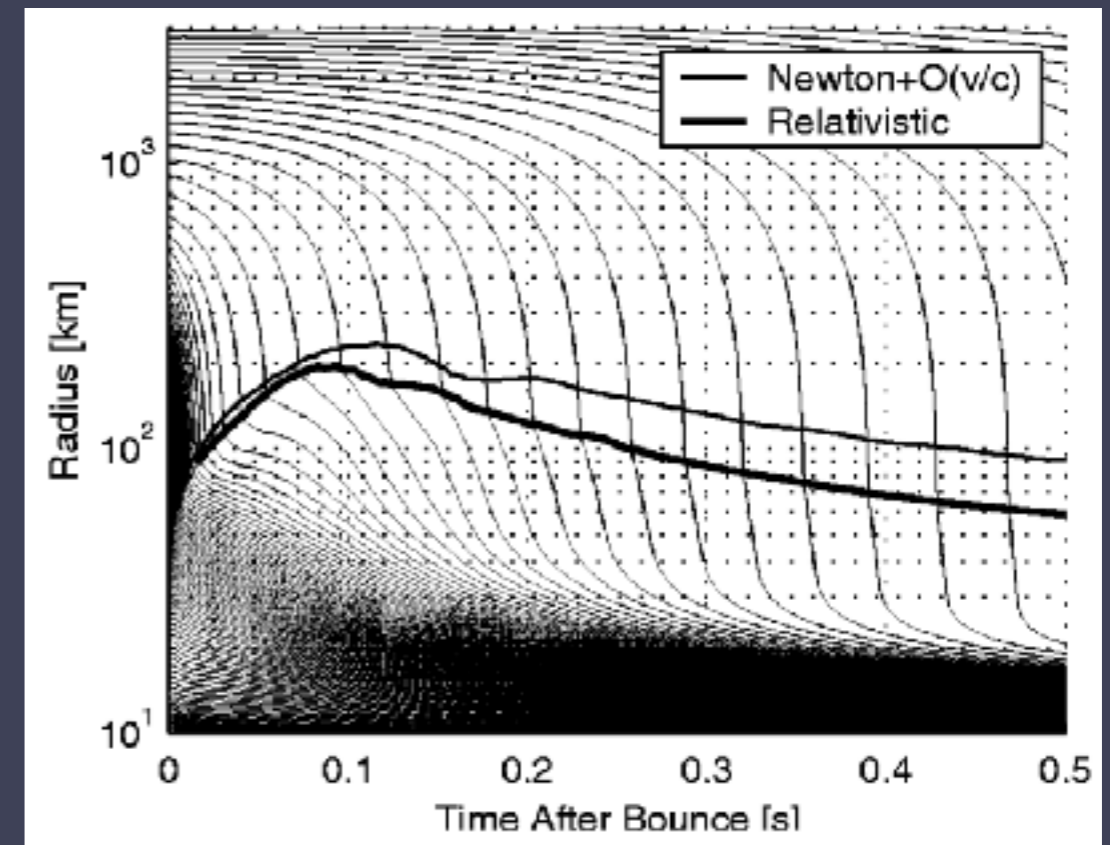
Burrows & Goshy (1993)

- ・ 衝撃波停滞フェーズでは流体は準定常
  - ニュートリノ光度と質量降着率をパラメータ、
    - 衝撃波の位置を(ある種の)固有値とする固有値問題
  - 質量降着率に対し、ニュートリノ光度が
    - ある値以上になると定常解が作れない。

# 超新星シミュレーション



Sumiyoshi+ (2005)

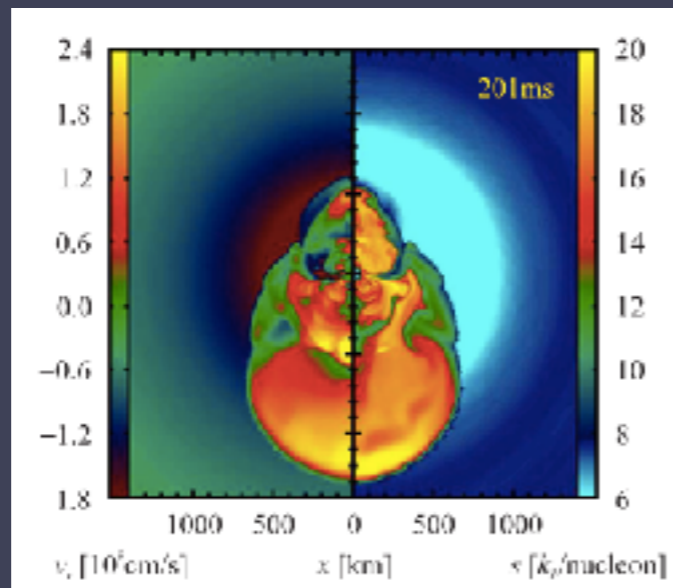


Liebendoerfer+ (2001)

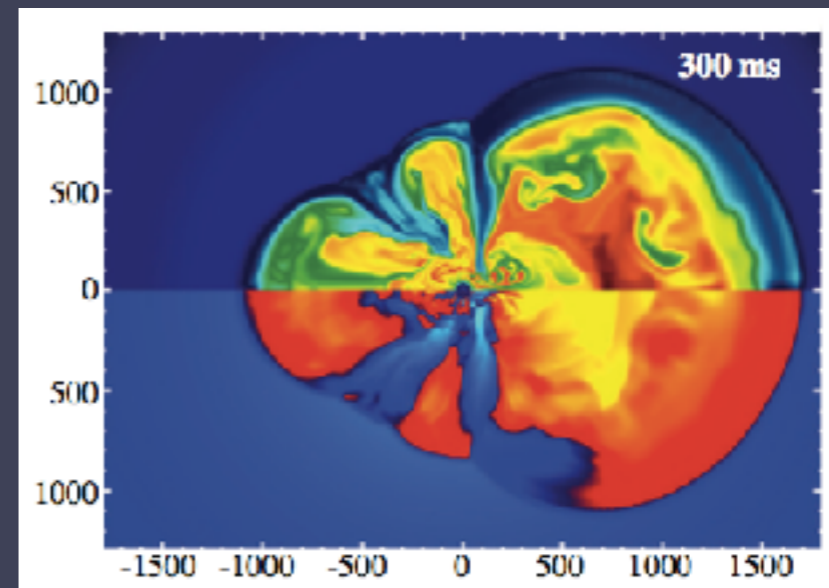
- ・ 1次元球対称シミュレーションではどんなに頑張っても爆発しない

# 超新星シミュレーション

2D

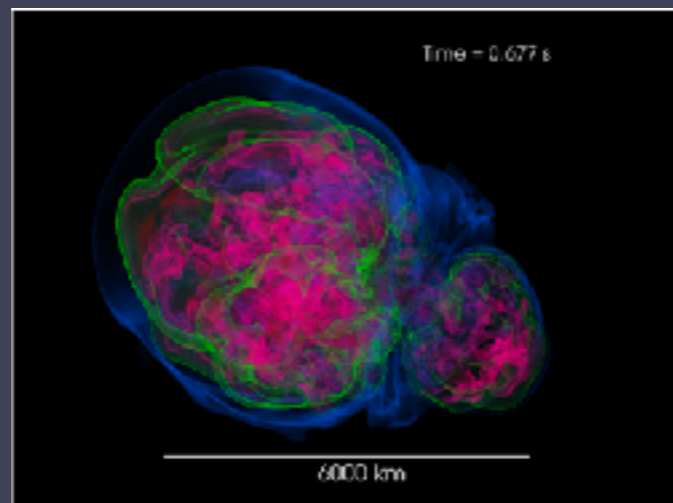


MPA (Mueller+ 2012)

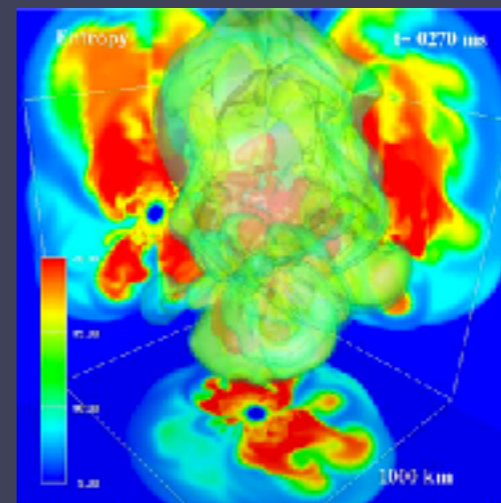


Oak Ridge (Bruenn+ 2013)

3D



Princeton (Vartanyan+ 2019)



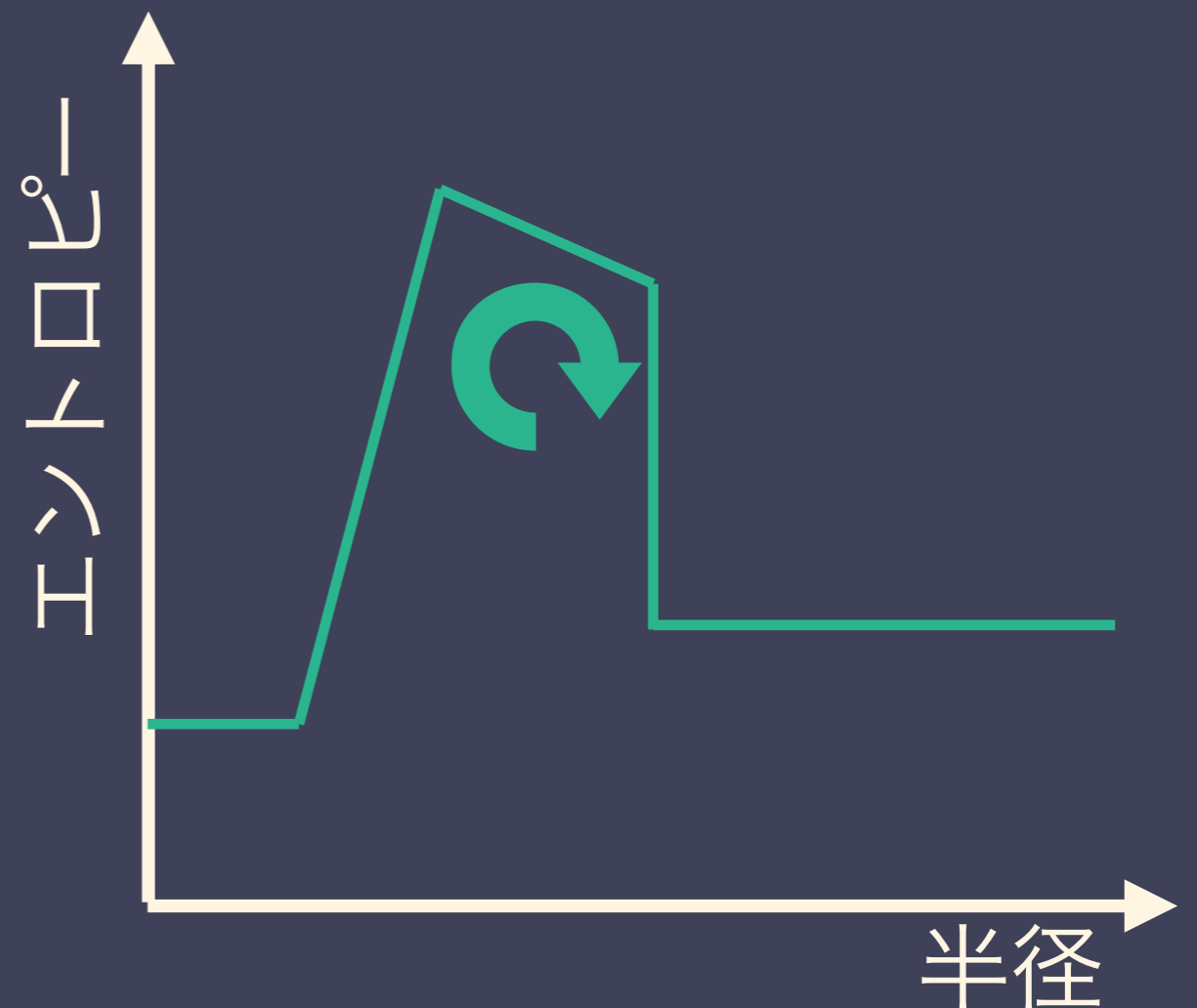
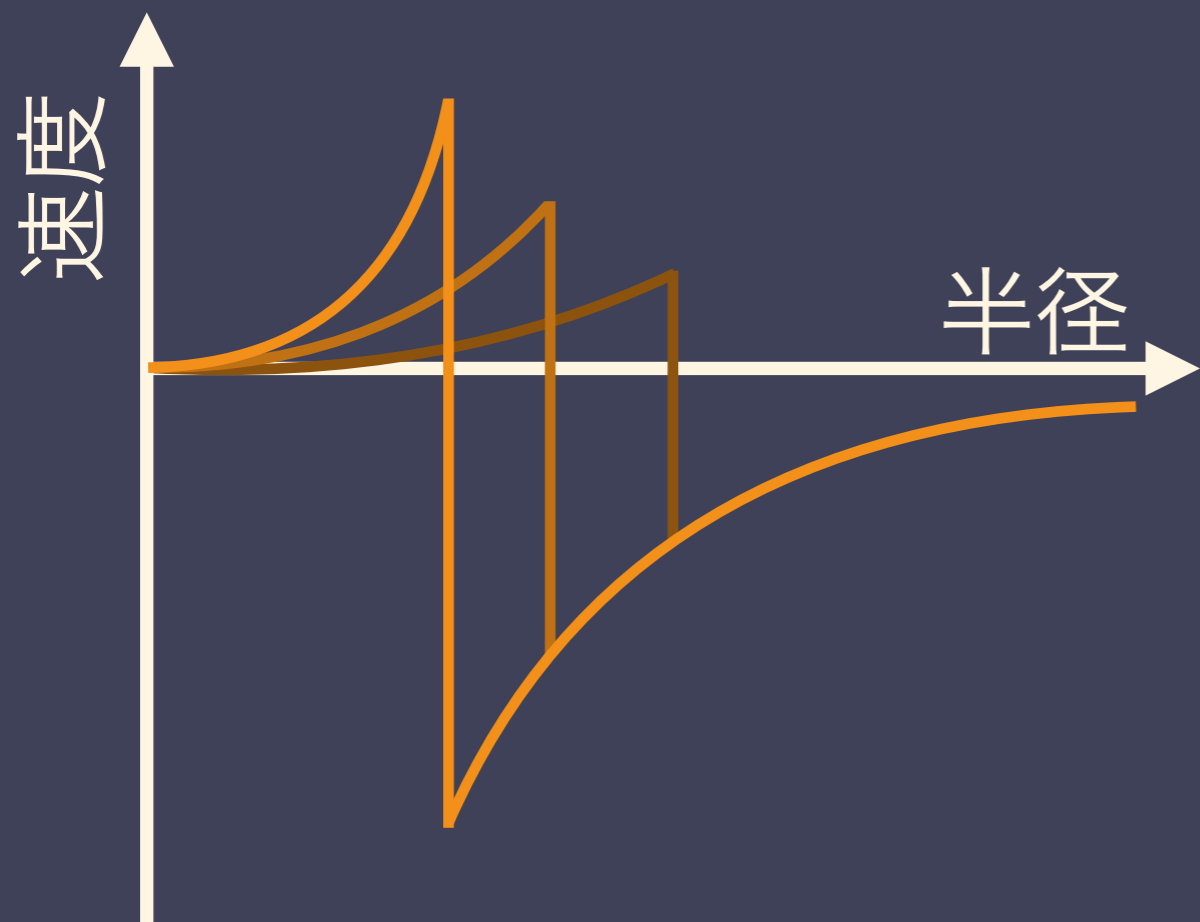
Fukuoka (Takiwaki+ 2014)

- ・ 1次元球対称シミュレーションではどんなに頑張っても爆発しない
- ・ 多次元シミュレーションだと爆発する

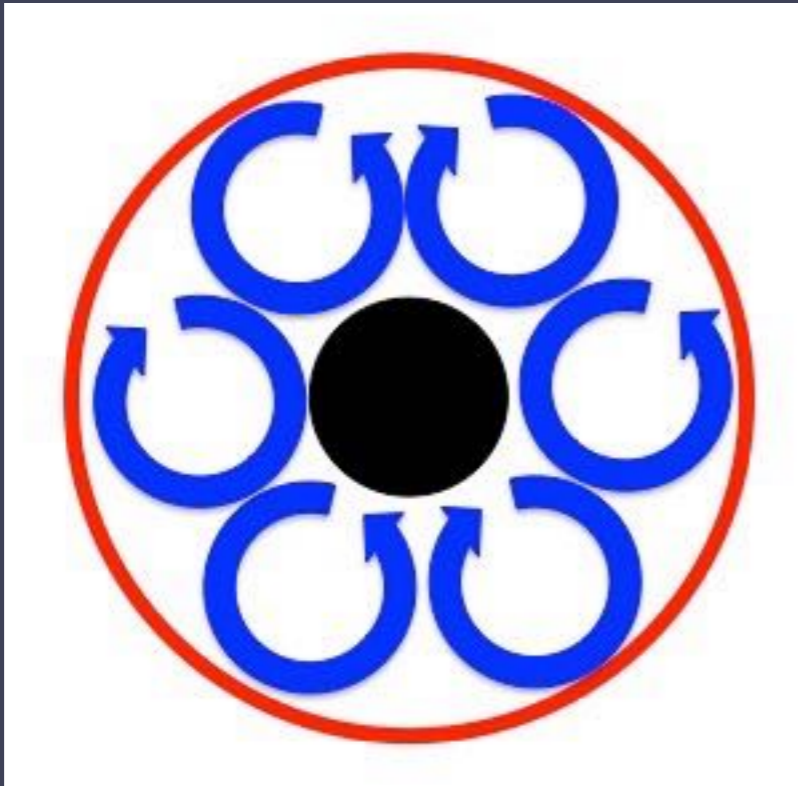


# 多次元効果-流体不安定性

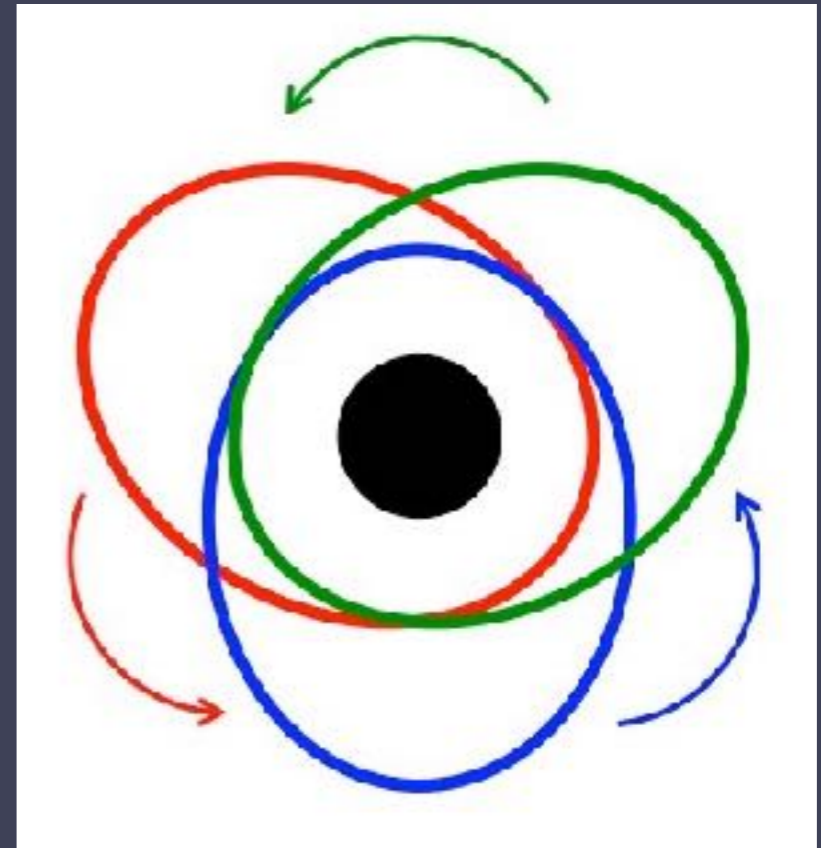
- Prompt convection:
  - ▶ 衝撃波がエネルギーを失いながら伝搬
    - ▶ 負のエントロピー勾配を形成
      - ▶ 対流が発達



# 多次元効果-流体不安定性



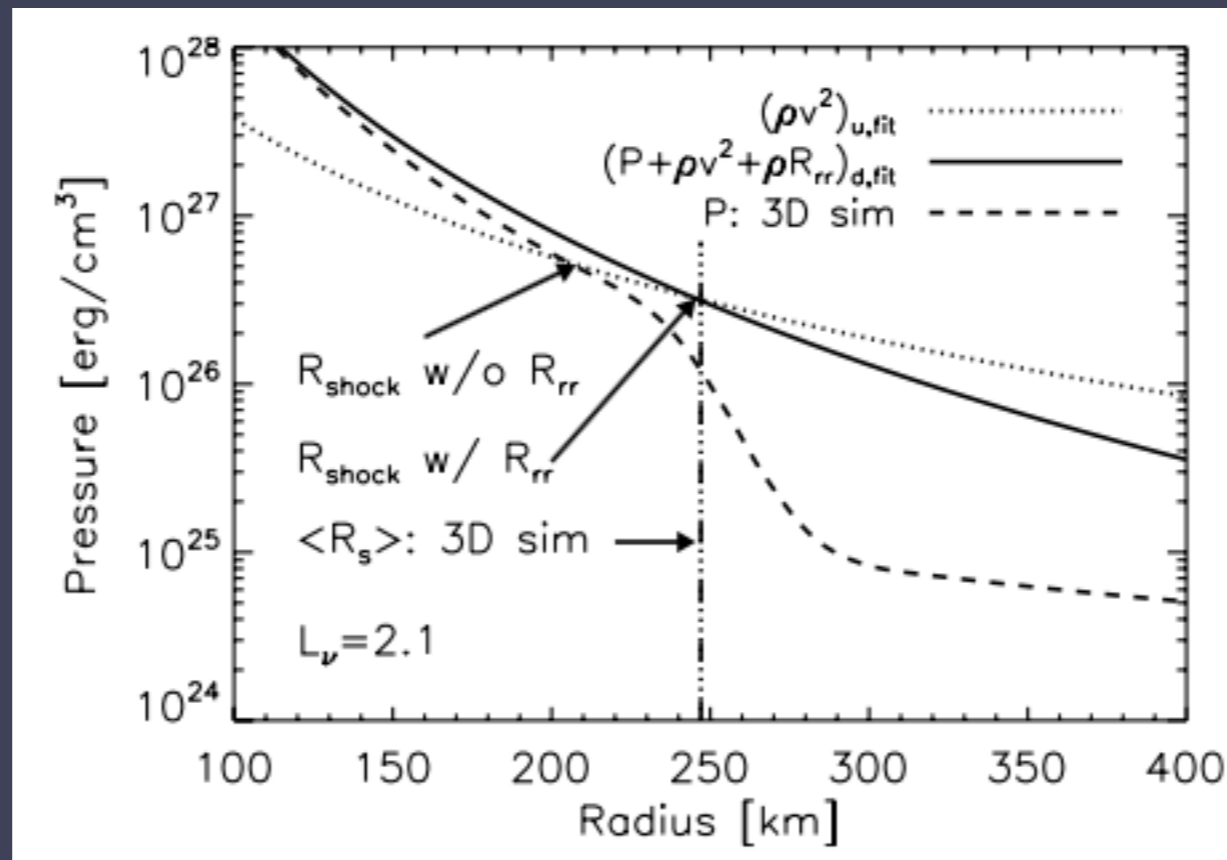
ニュートリノ駆動対流



SASI

- ・ 衝撃波停滞フェーズでの流体不安定性:
  - ニュートリノ駆動対流
  - standing accretion shock instability (SASI)
- ・ 乱流へと発達し、衝撃波を押し出したりする

# 乱流の効果



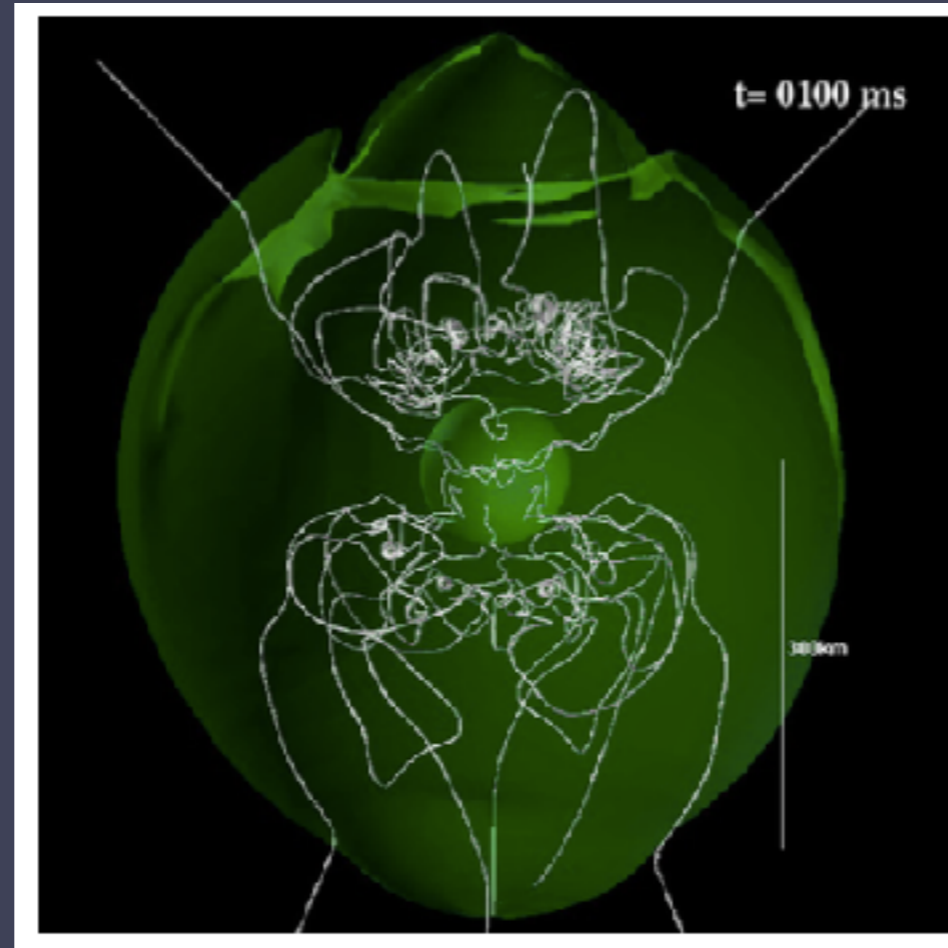
Murphy+ (2013)

$$\frac{\tau_{\text{adv}}}{\tau_{\text{heat}}} = \frac{M_{\text{gain}} Q_{\text{gain}}}{\dot{M} E_{\text{gain}}} > 1$$

乱流は衝撃波復活を手助けする：

- 乱流圧力(レイノルズ応力)が衝撃波を押し出し、ゲイン領域を広げる

# 乱流の効果

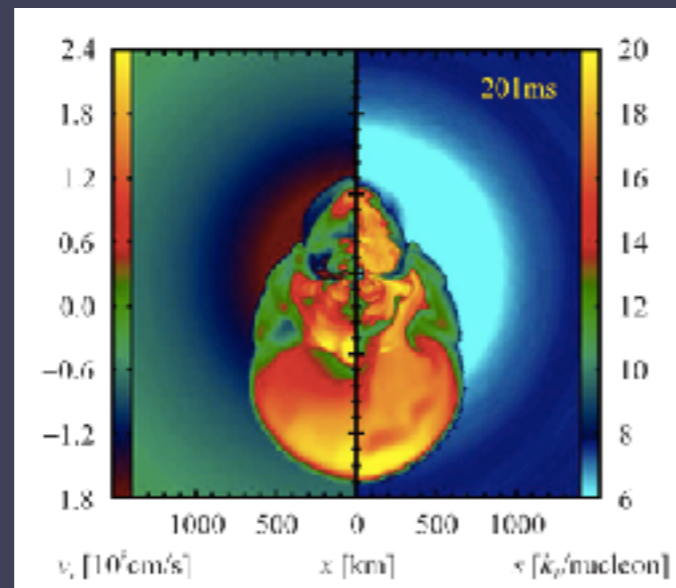


Takiwaki+ (2012)

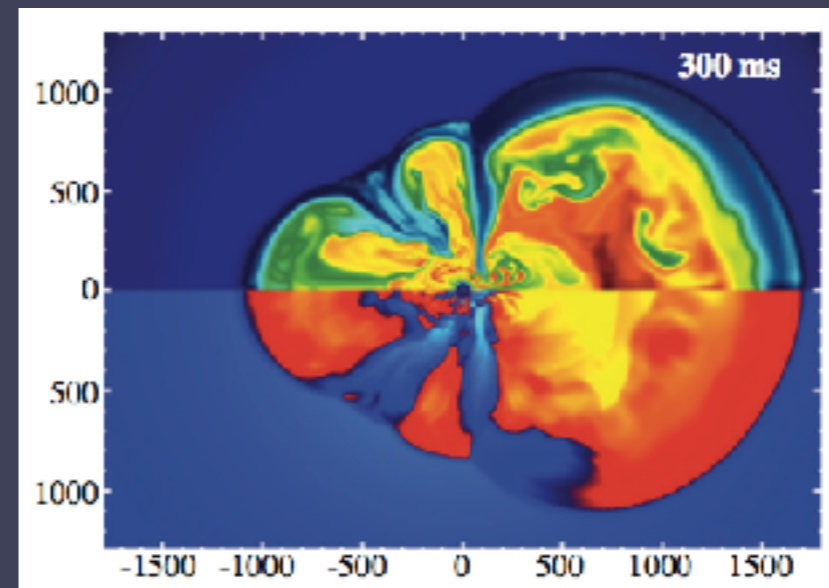
- ・ 乱流は衝撃波復活を手助けする：
  - 乱流の渦運動によって流体素片が長くゲイン領域に留まる

# 超新星シミュレーション

2D

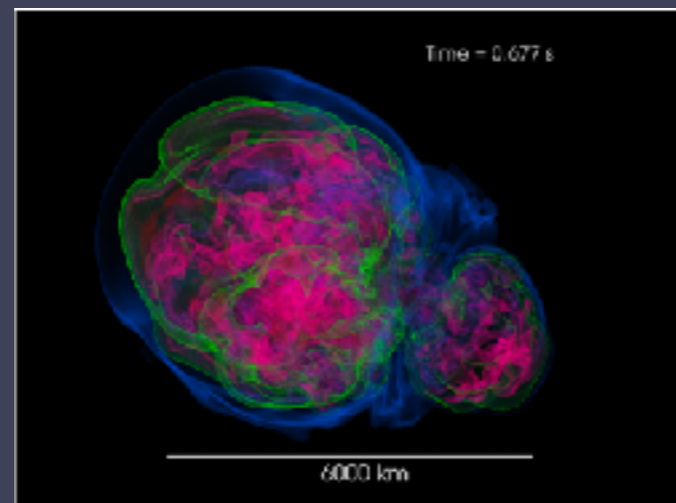


MPA (Mueller+ 2012)

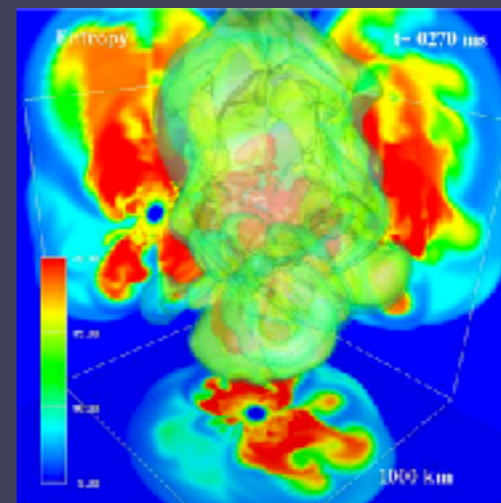


Oak Ridge (Bruenn+ 2013)

3D



Princeton (Vartanyan+ 2019)

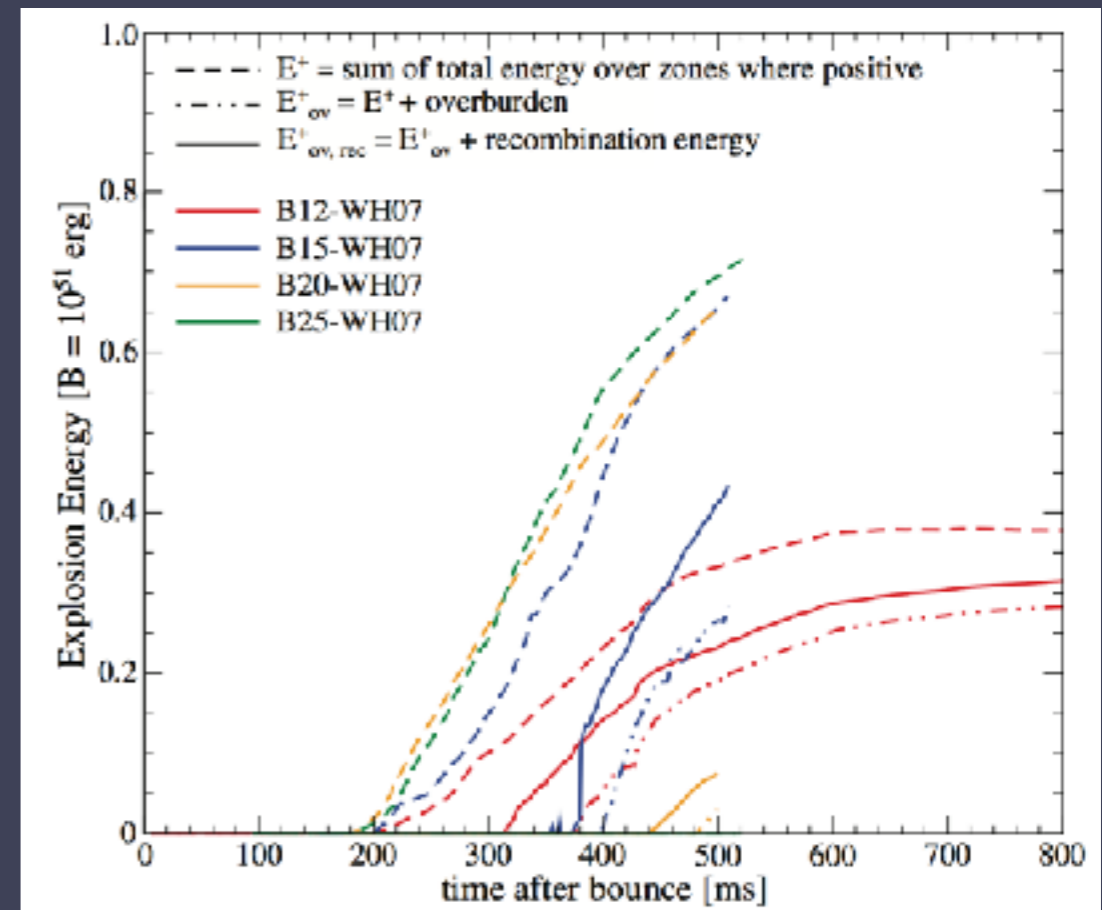


Fukuoka (Takiwaki+ 2014)

- ・ 1次元球対称シミュレーションではどんなに頑張っても爆発しない
- ・ 多次元シミュレーションだと爆発する

# 残る問題点

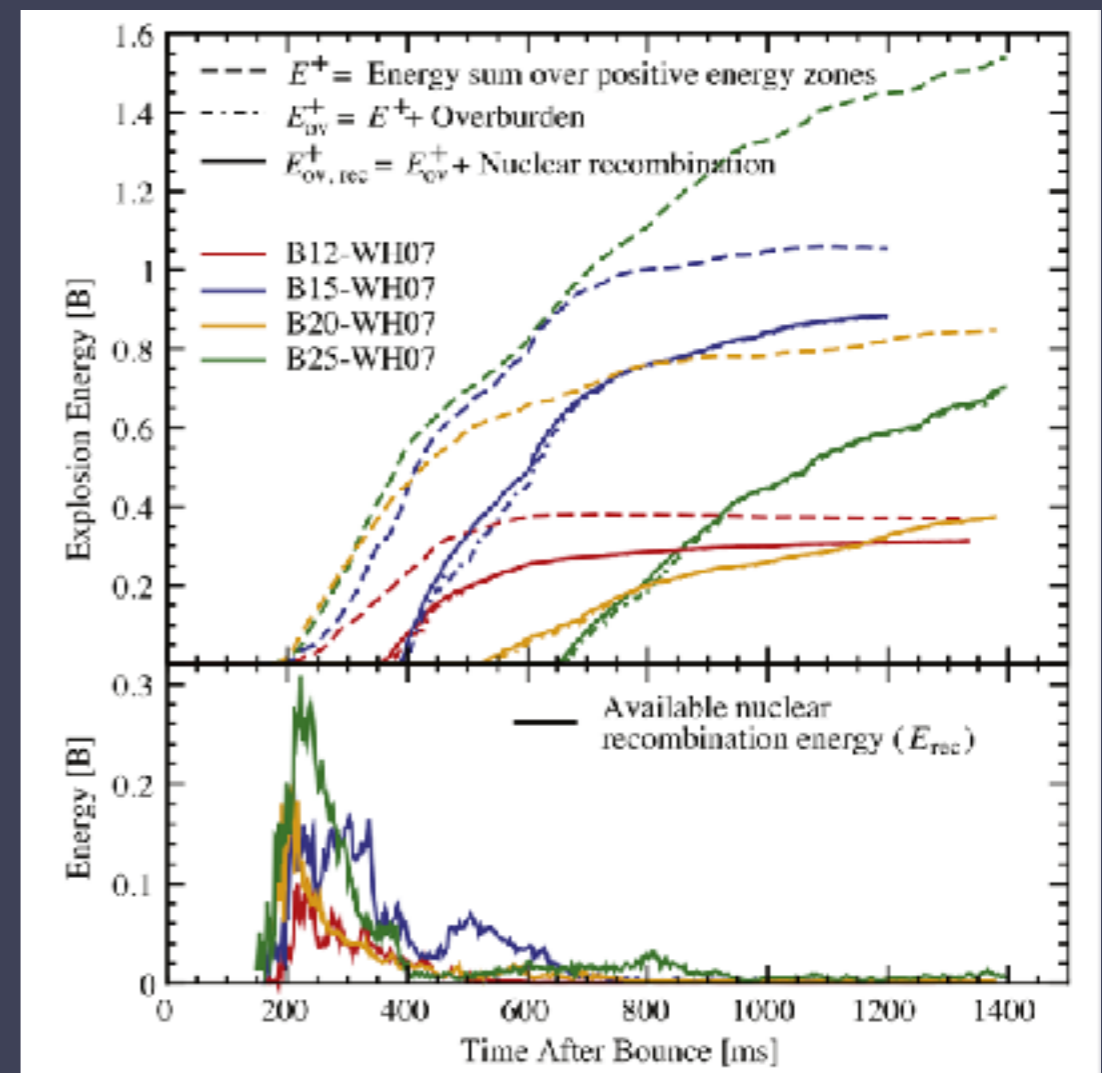
- ・ 計算手法によって結果が変わる
- ・ 爆発エネルギーが足りない
  - 観測的には爆発エネルギーは $\sim 10^{51}$  erg
  - シミュレーションでは $\sim 10^{50}$  erg
- ・ 長時間計算で爆発エネルギーを増やそうとすると、Niが作れない



Bruenn+ (2013)

# 残る問題点

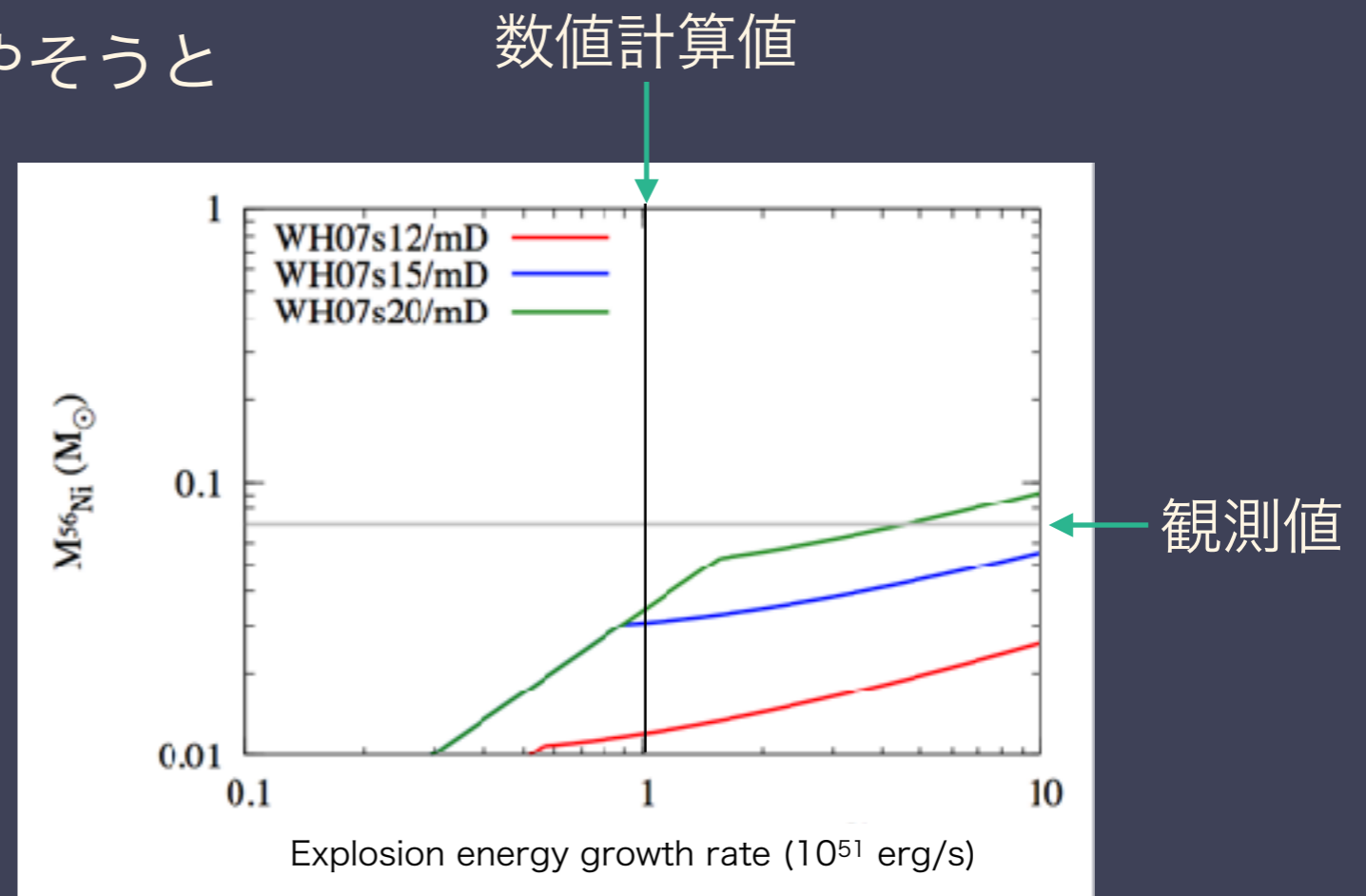
- ・ 計算手法によって結果が変わる
- ・ 爆発エネルギーが足りない
  - 観測的には爆発エネルギーは $\sim 10^{51}$  erg
  - シミュレーションでは $\sim 10^{50}$  erg
- ・ 長時間計算で爆発エネルギーを増やそうとすると、Niが作れない



Bruenn+ (2016)

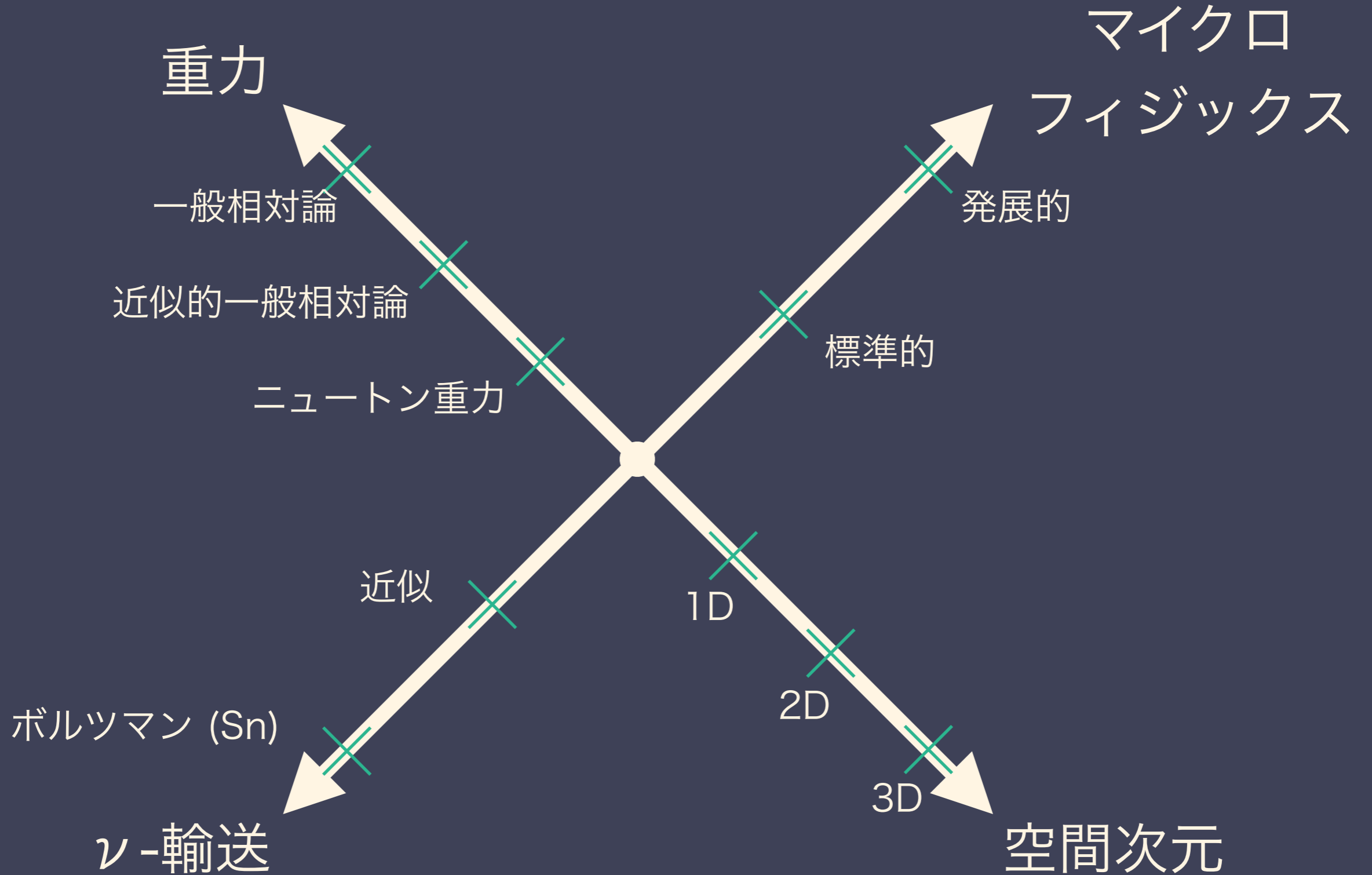
# 残る問題点

- ・ 計算手法によって結果が変わる
- ・ 爆発エネルギーが足りない
  - 観測的には爆発エネルギーは $\sim 10^{51}$  erg
  - シミュレーションでは $\sim 10^{50}$  erg
- ・ 長時間計算で爆発エネルギーを増やそうとすると、Niが作れない

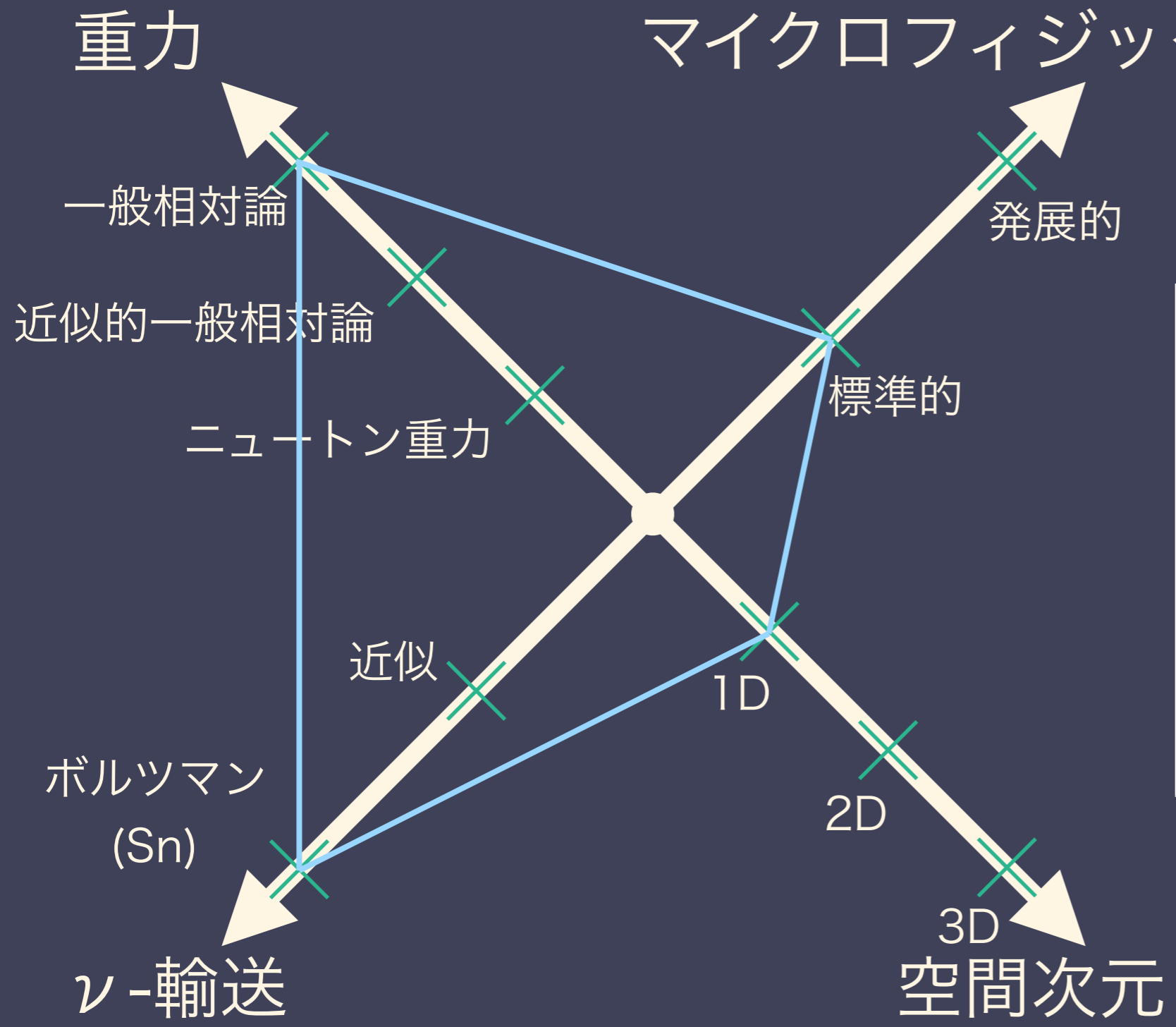




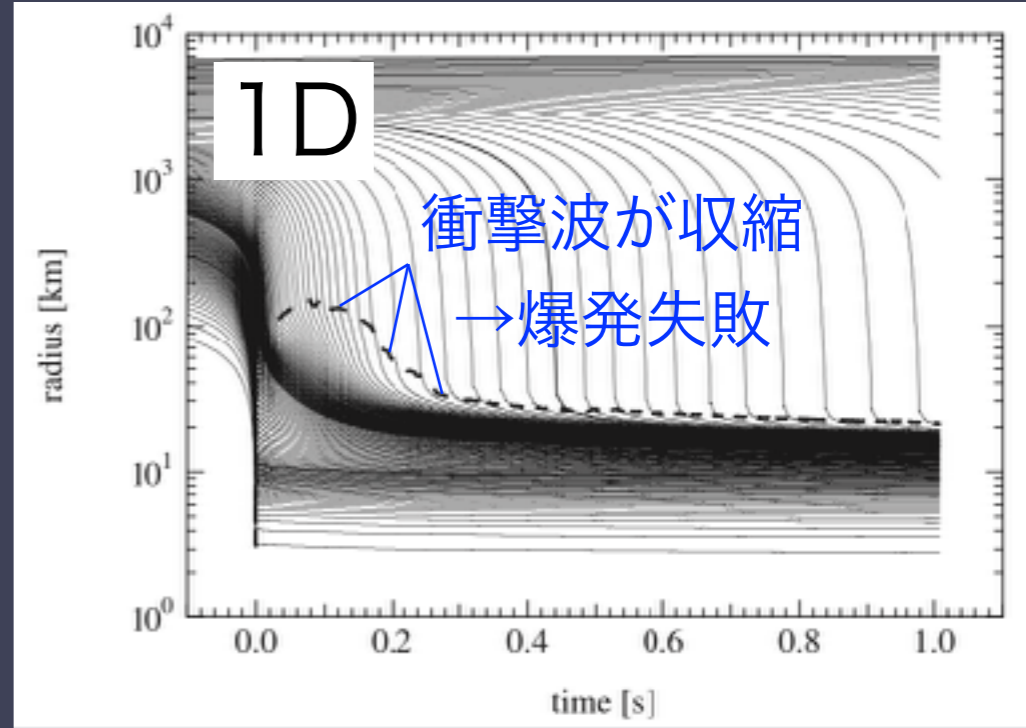
# 超新星シミュレーションの進展



# 超新星シミュレーションの進展

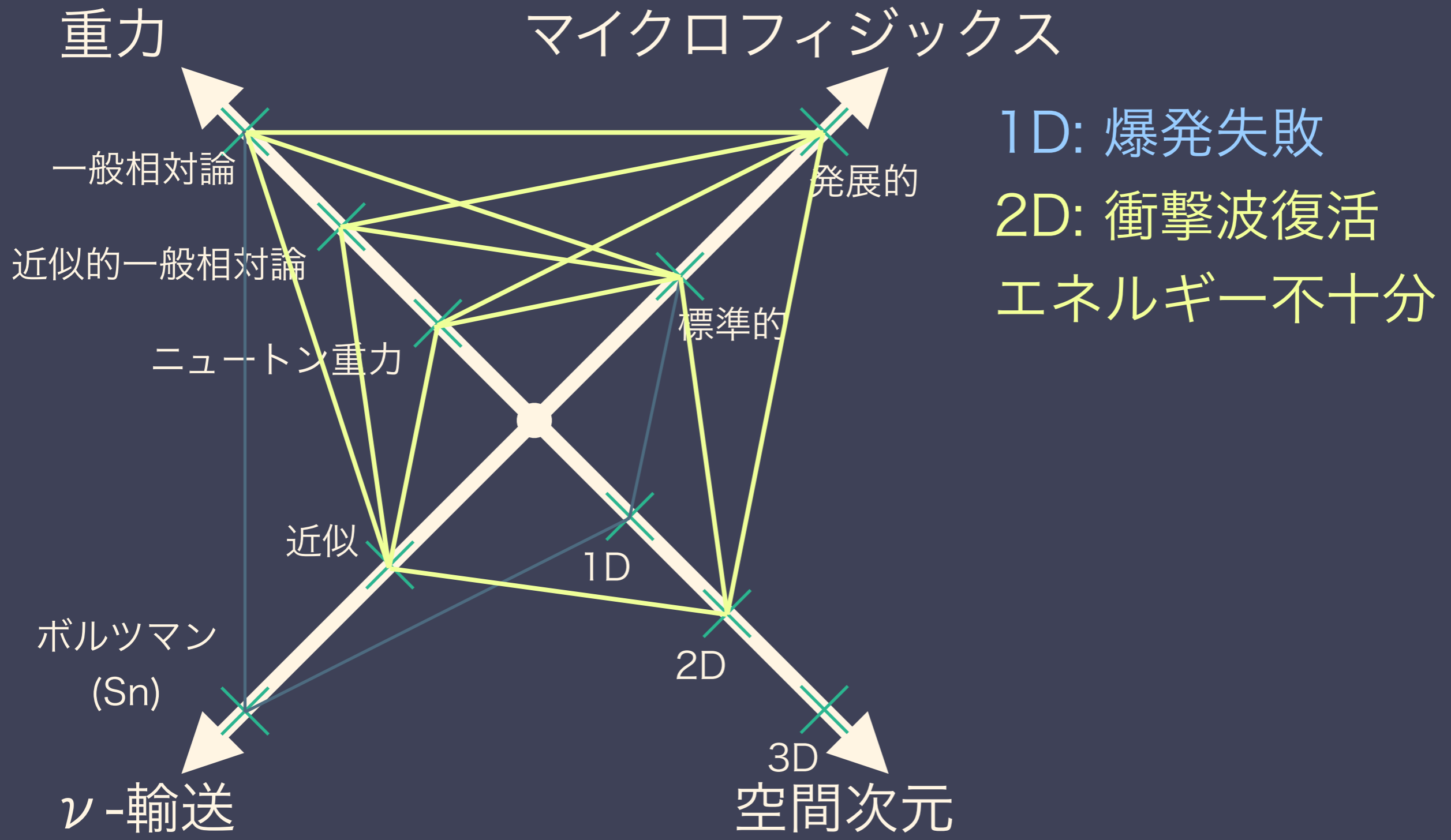


1D: 爆発失敗

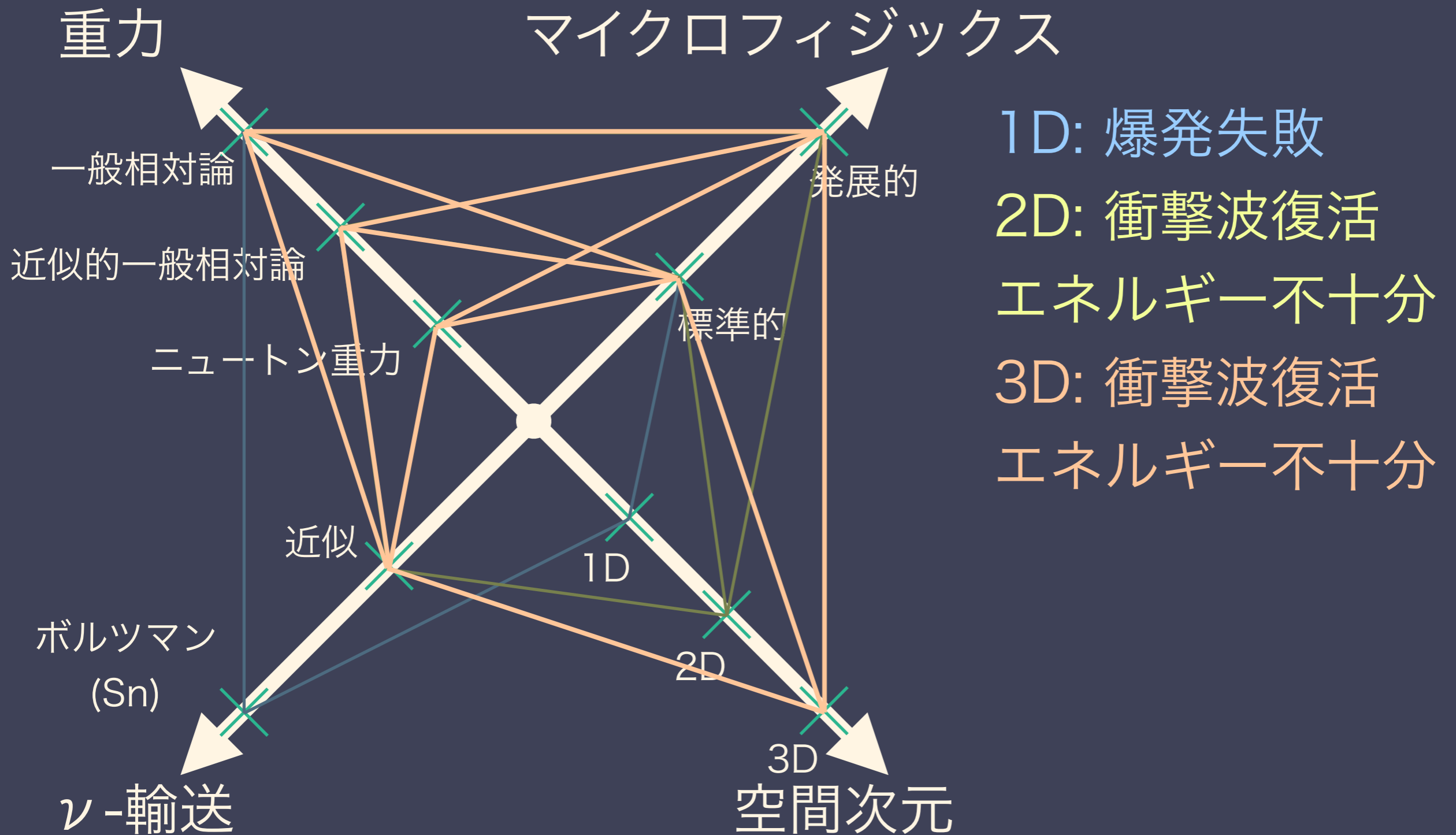


Sumiyoshi+(2005)

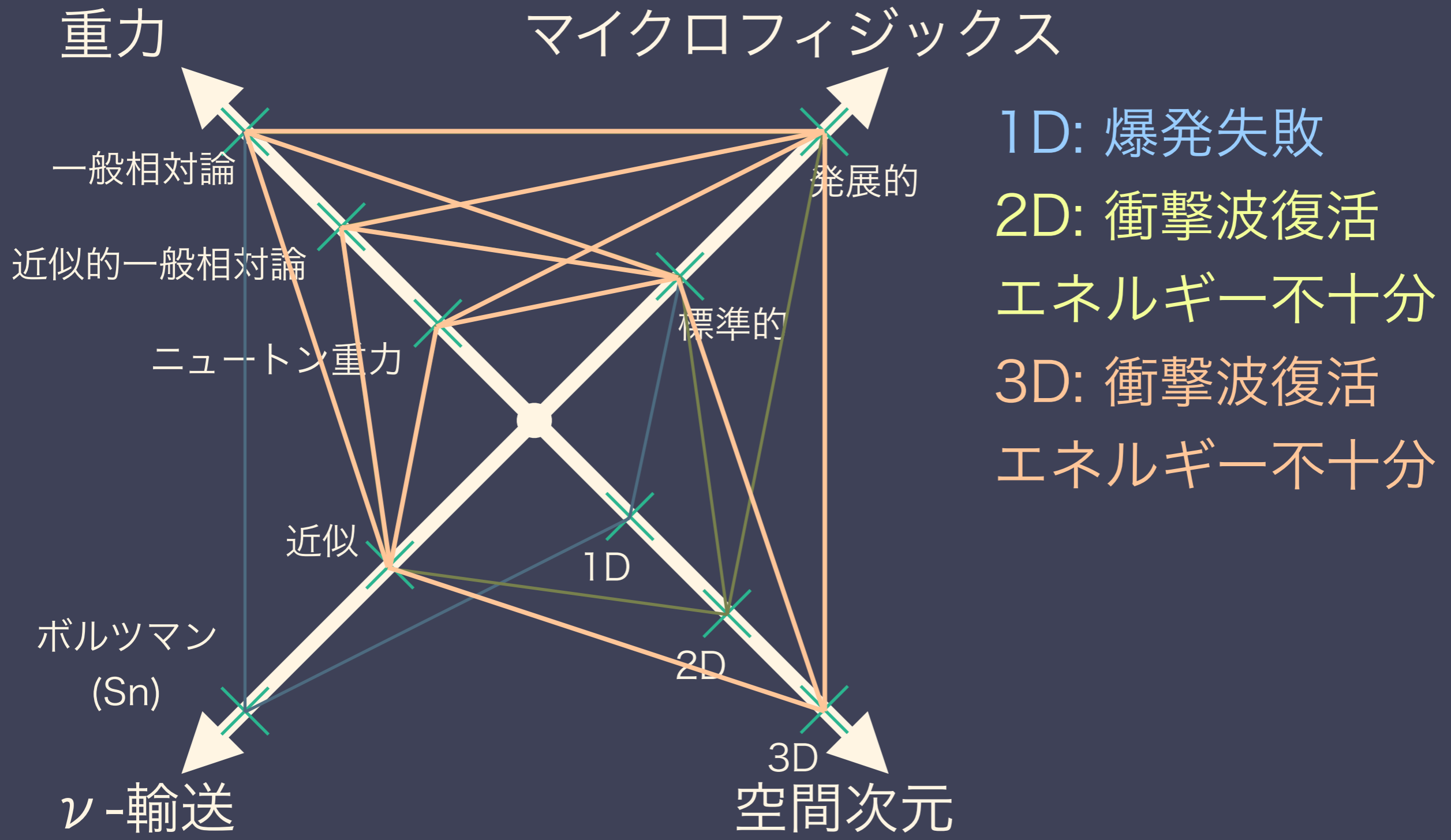
# 超新星シミュレーションの進展



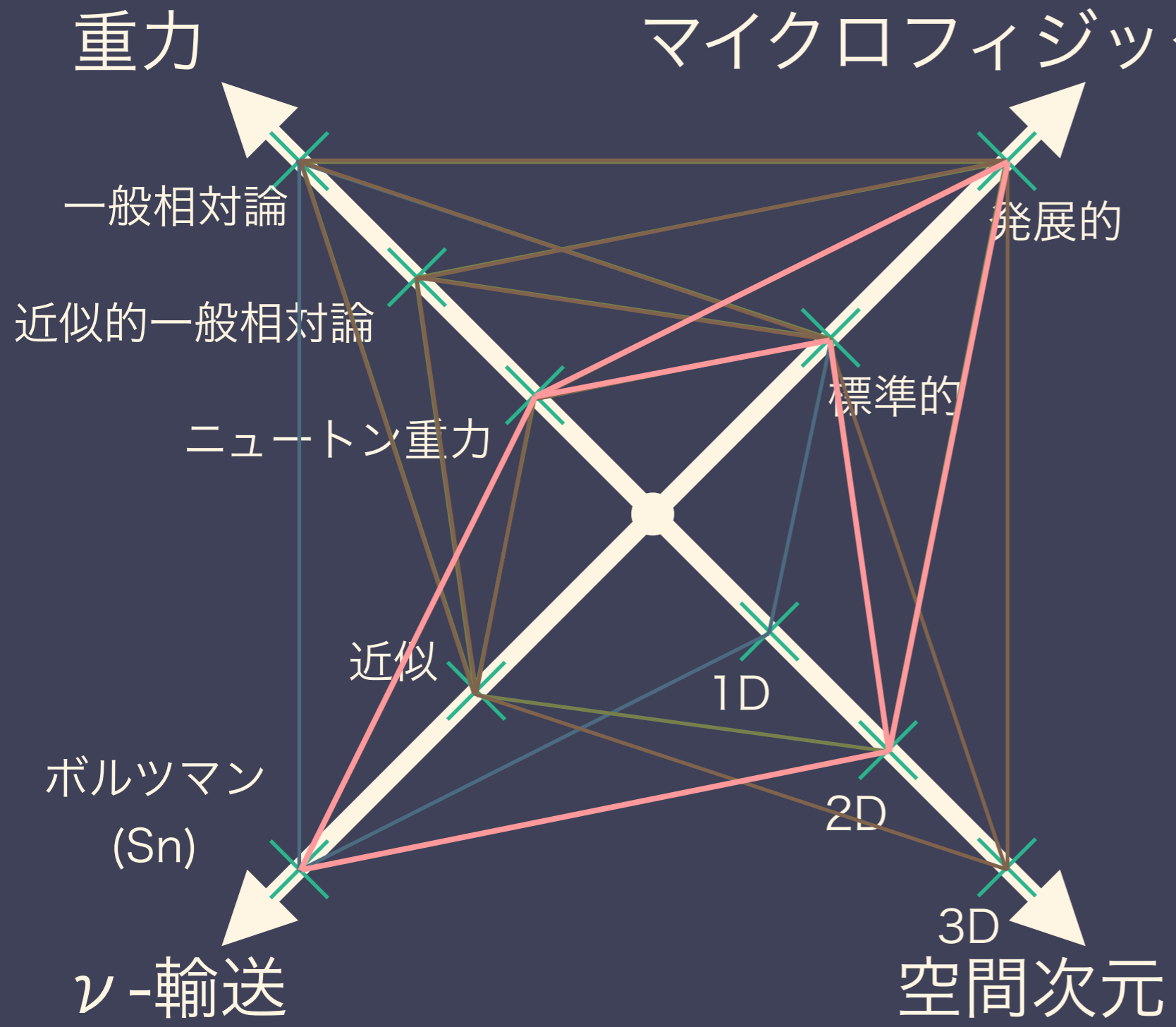
# 超新星シミュレーションの進展



# 超新星シミュレーションの進展

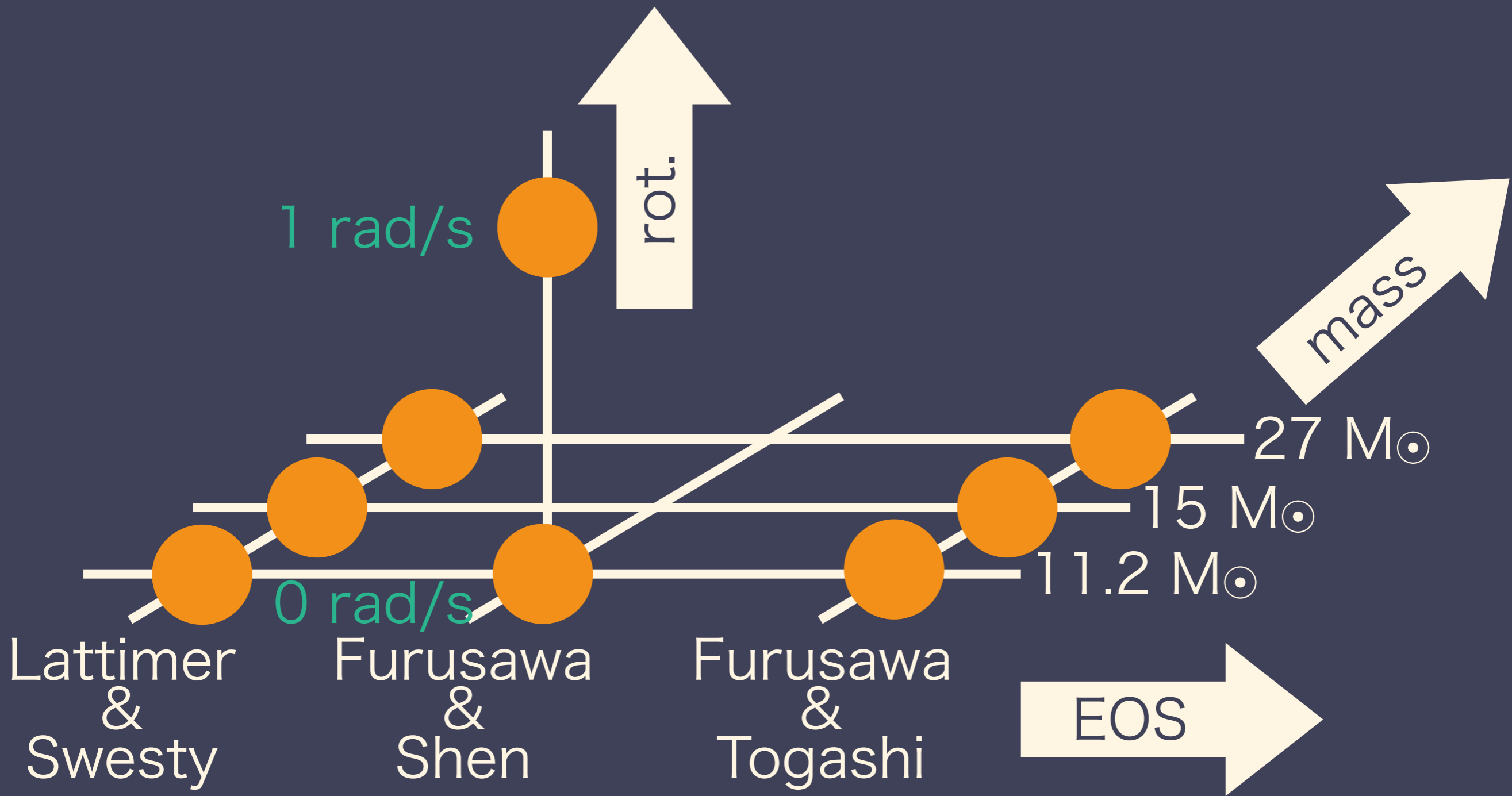


# 超新星シミュレーションの進展

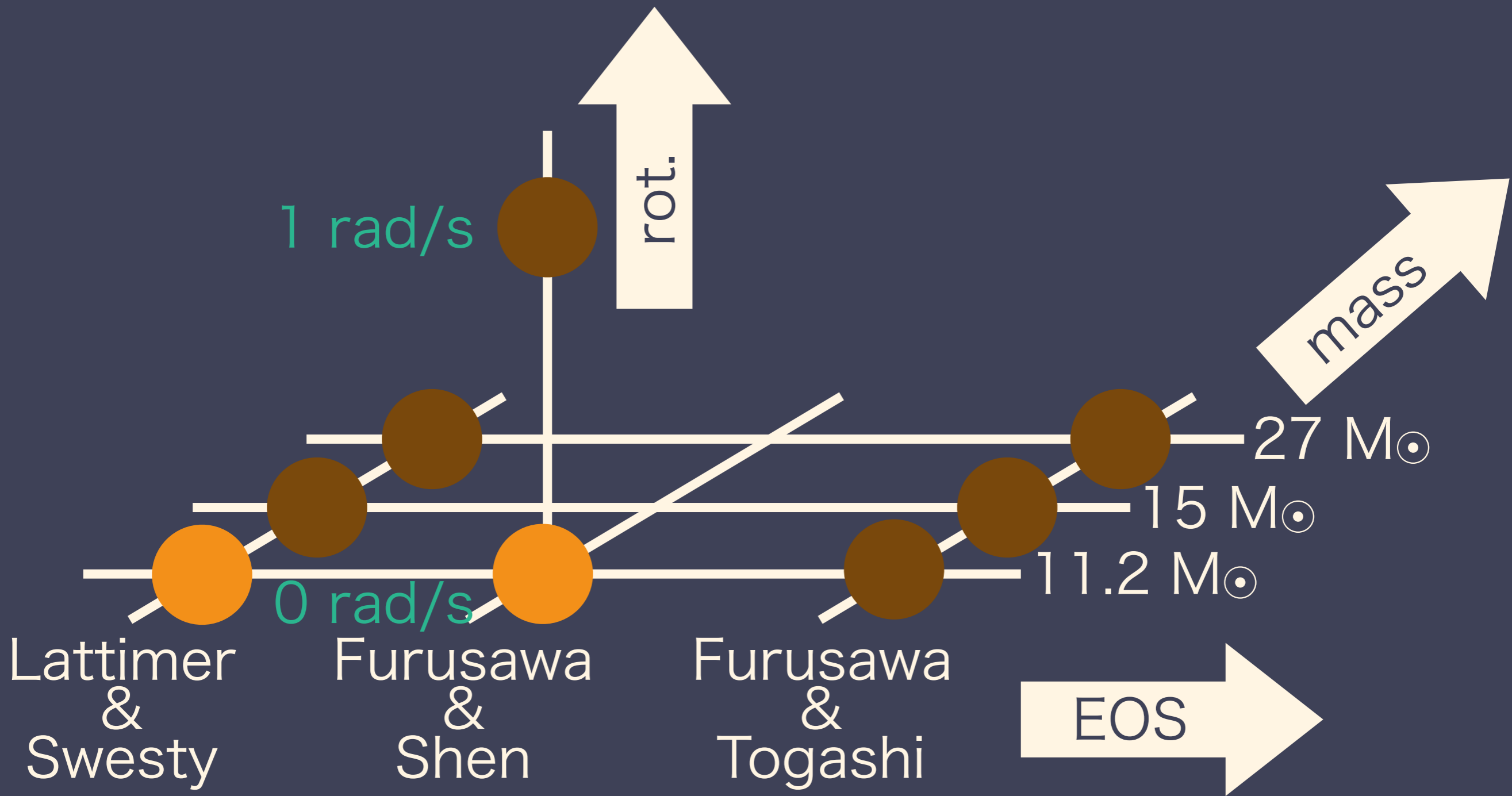


- 1D: 爆発失敗
- 2D: 衝撃波復活  
エネルギー不十分
- 3D: 衝撃波復活  
エネルギー不十分
- 我々の計算

# 計算モデル

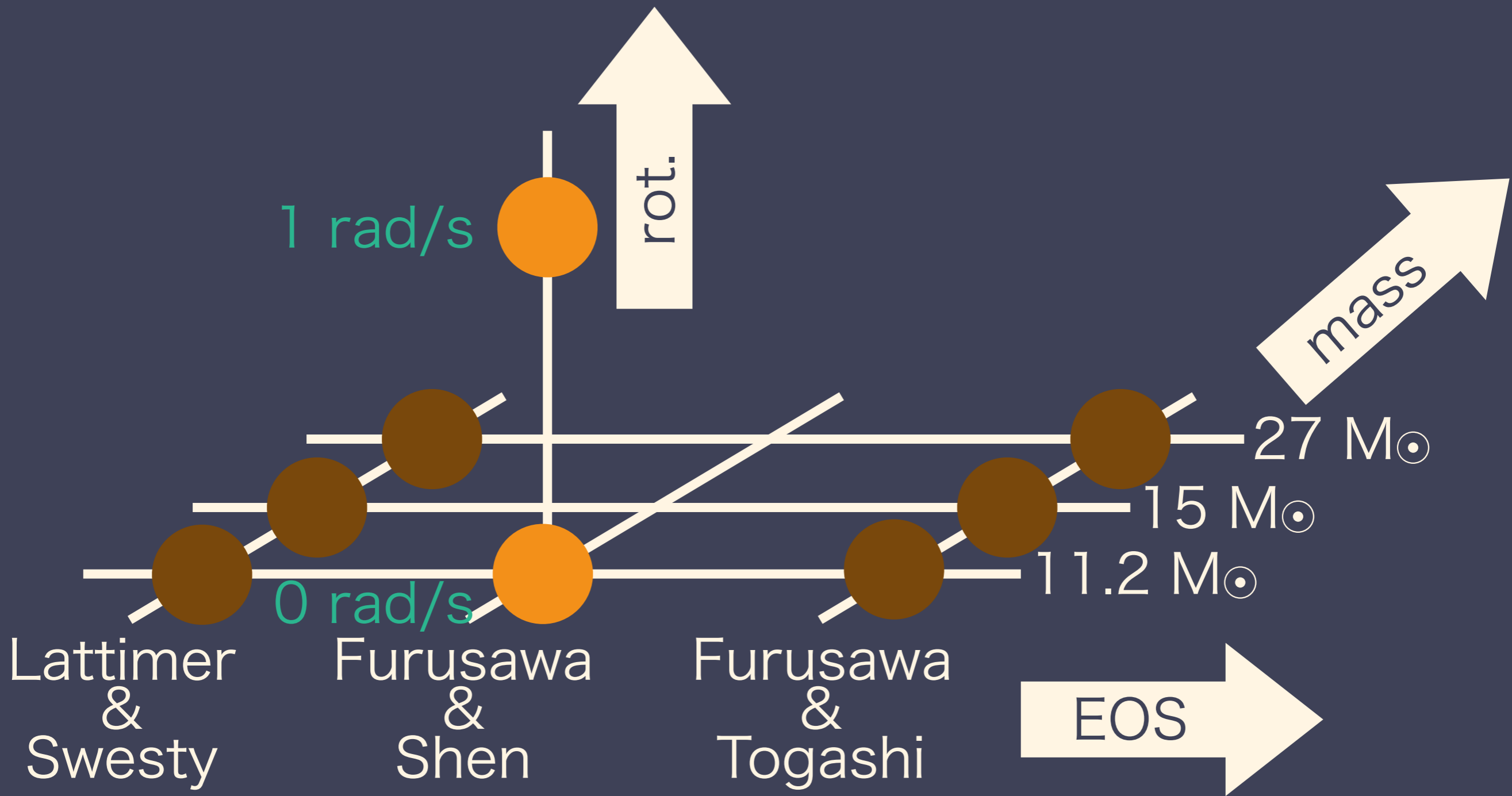


# 計算モデル

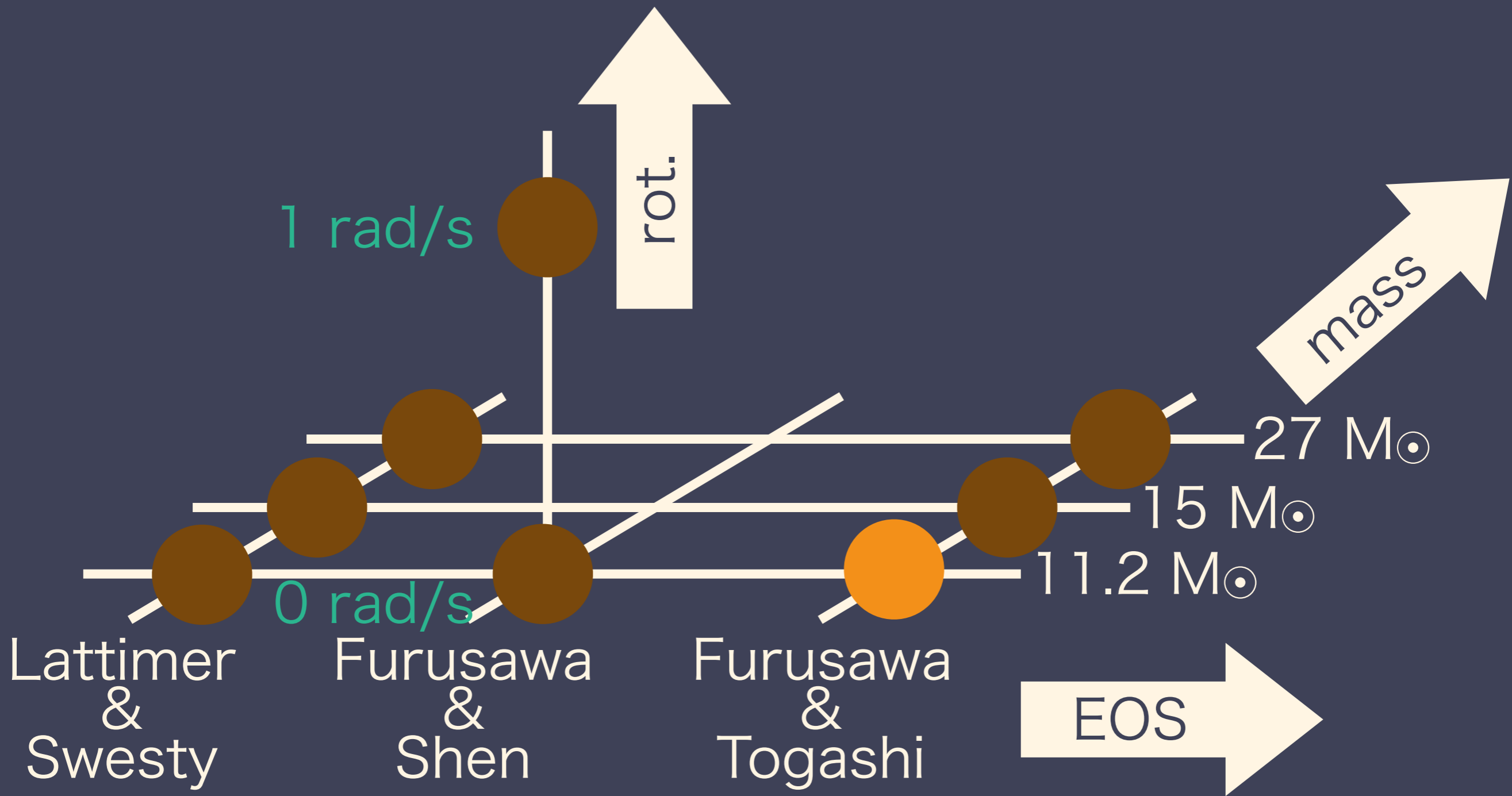




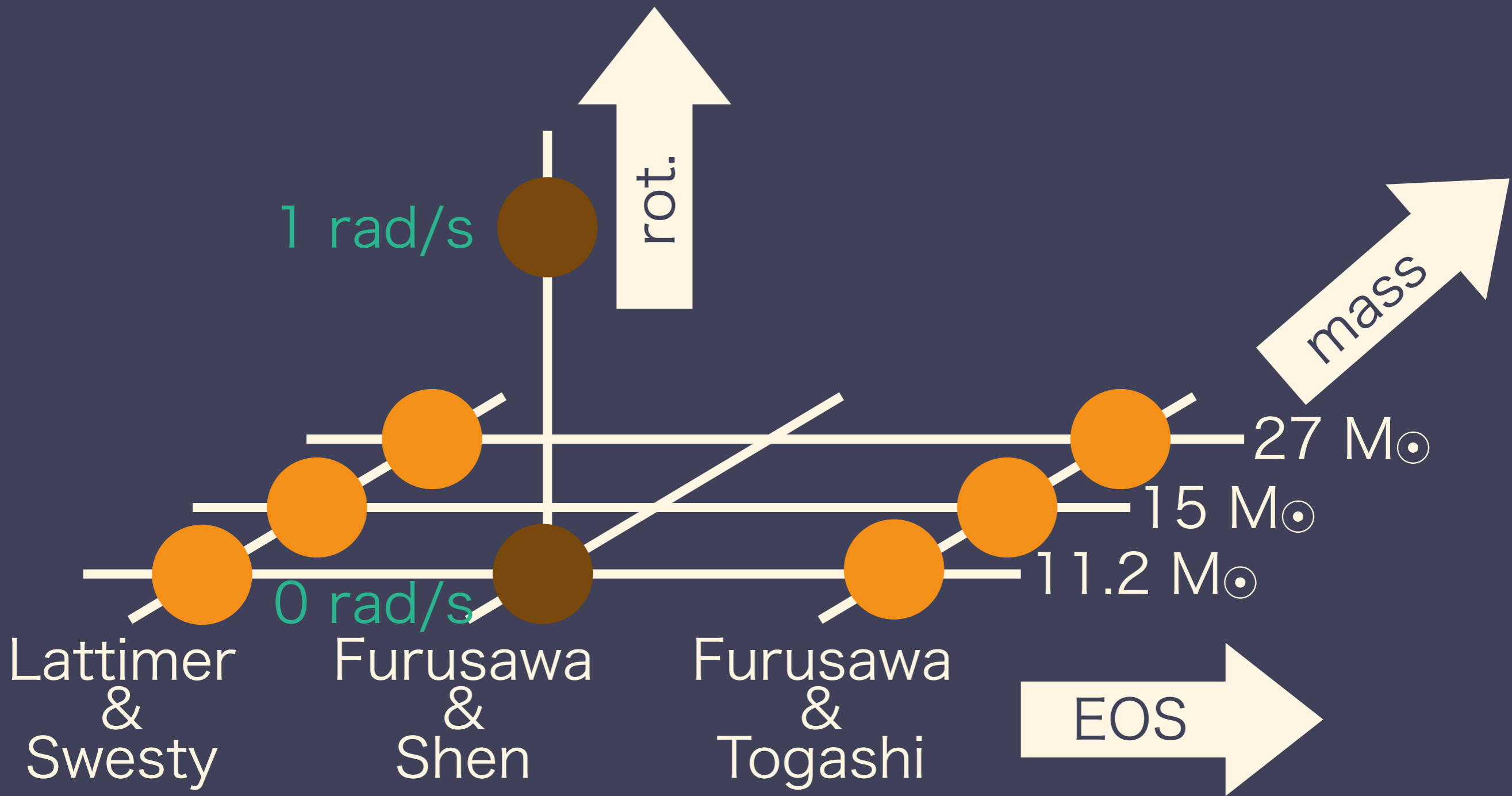
# 計算モデル



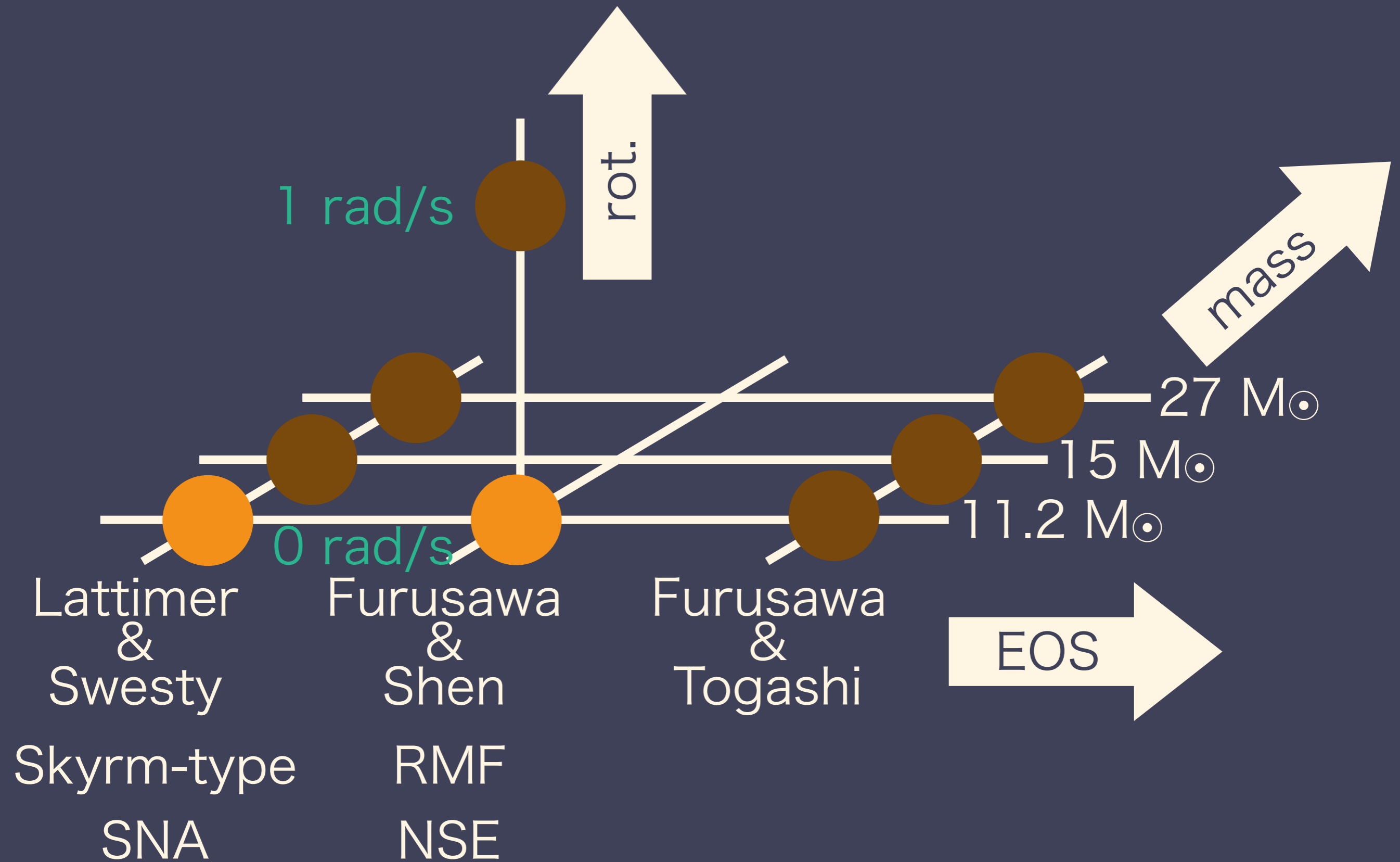
# 計算モデル



# 計算モデル

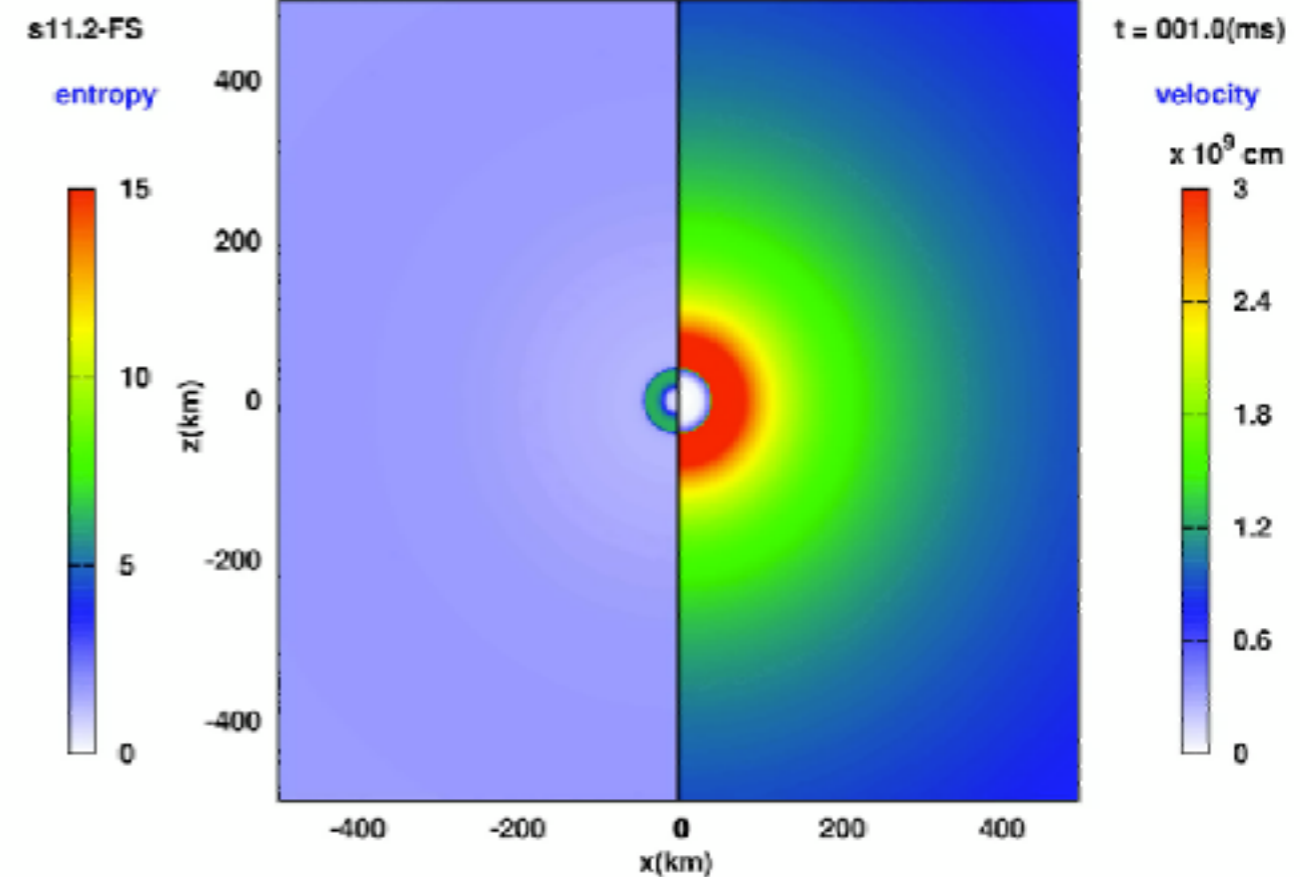
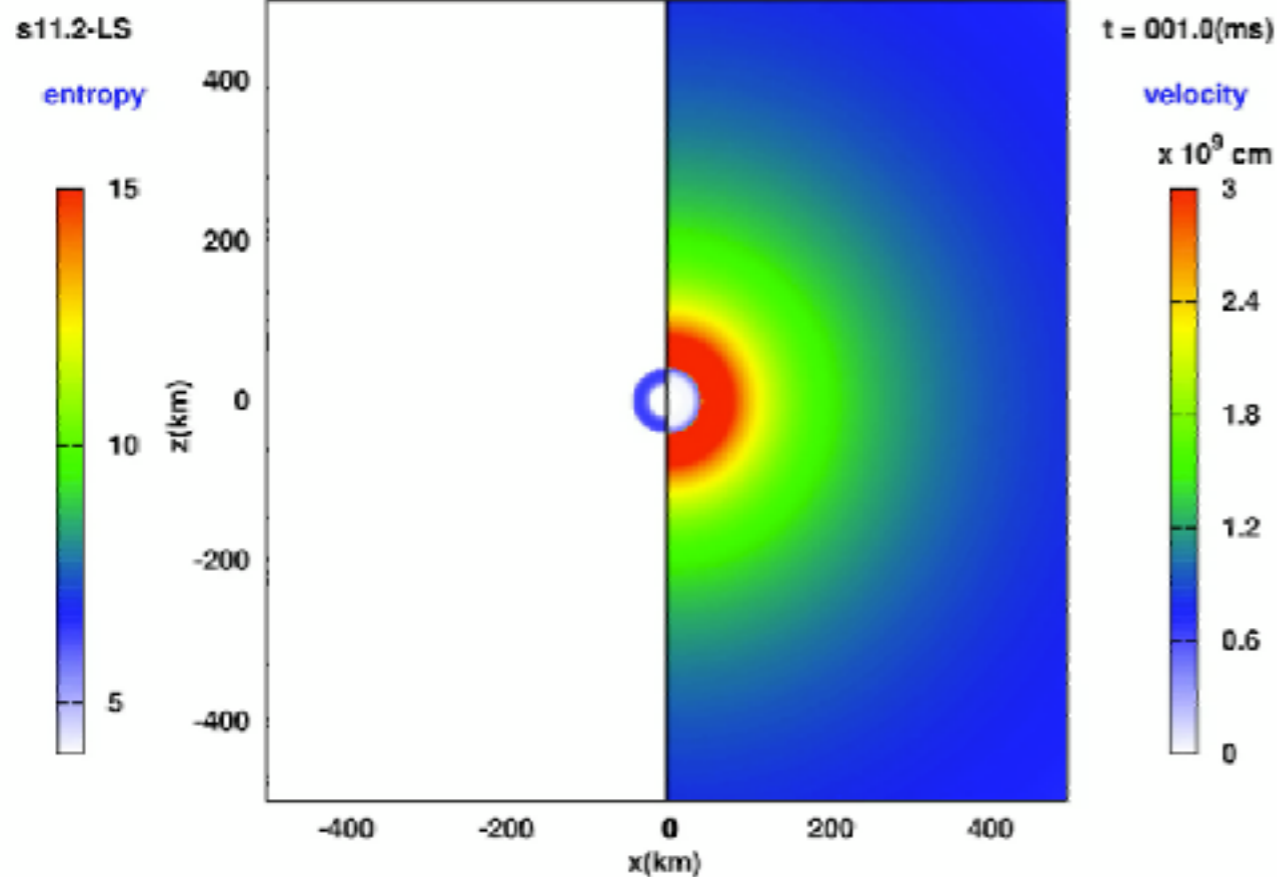


# 原子核EOS



# 衝撃波の時間発展

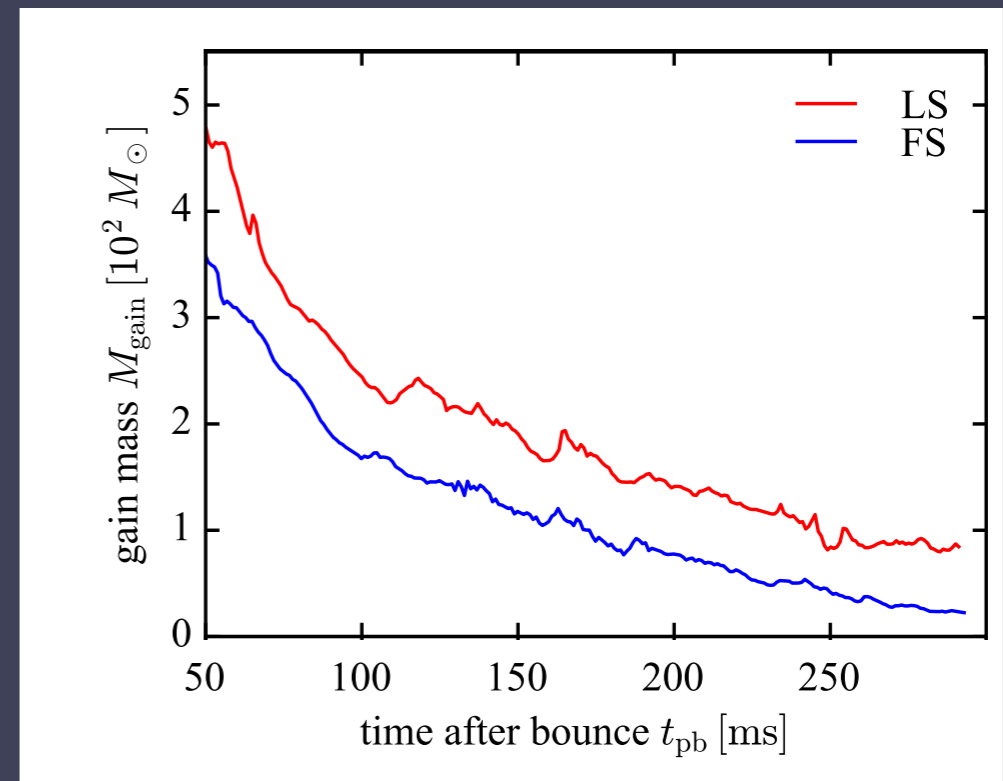
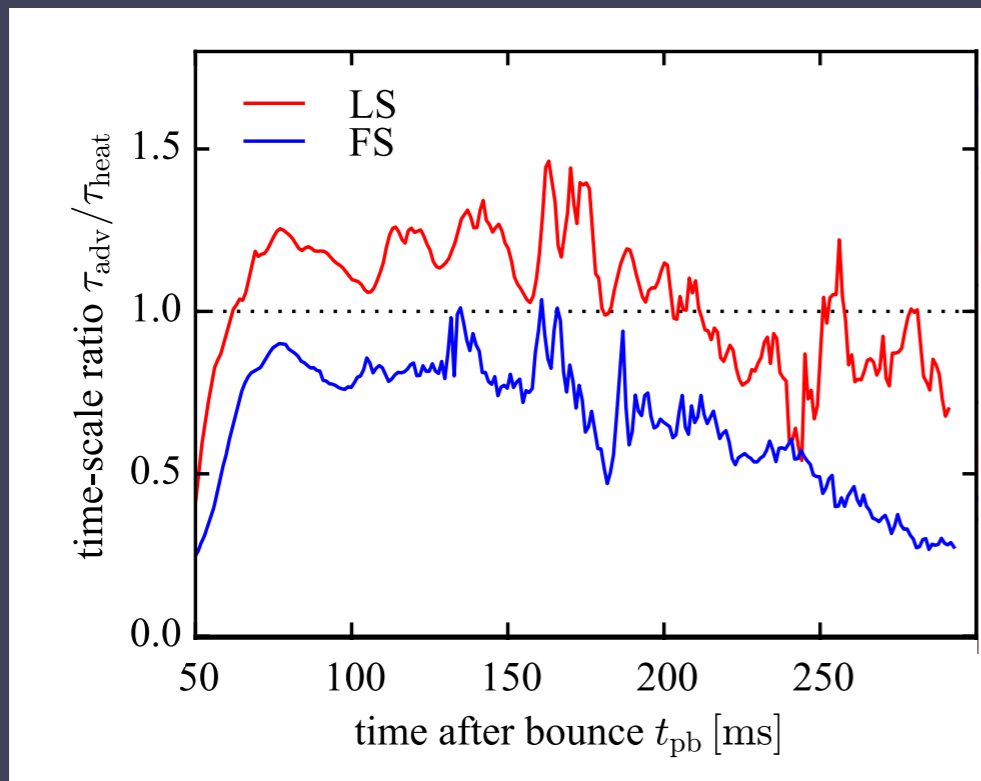
- ・ エントロピーと速度のカラーマップ



# Timescale ratio

- 衝撃波はtimescale ratioが1を超えた時に復活する:

$$\tau_{\text{adv}}/\tau_{\text{heat}} \text{ with } \tau_{\text{adv}} = M_{\text{gain}}/\dot{M}, \tau_{\text{heat}} = E_{\text{gain}}/Q_{\text{gain}}$$

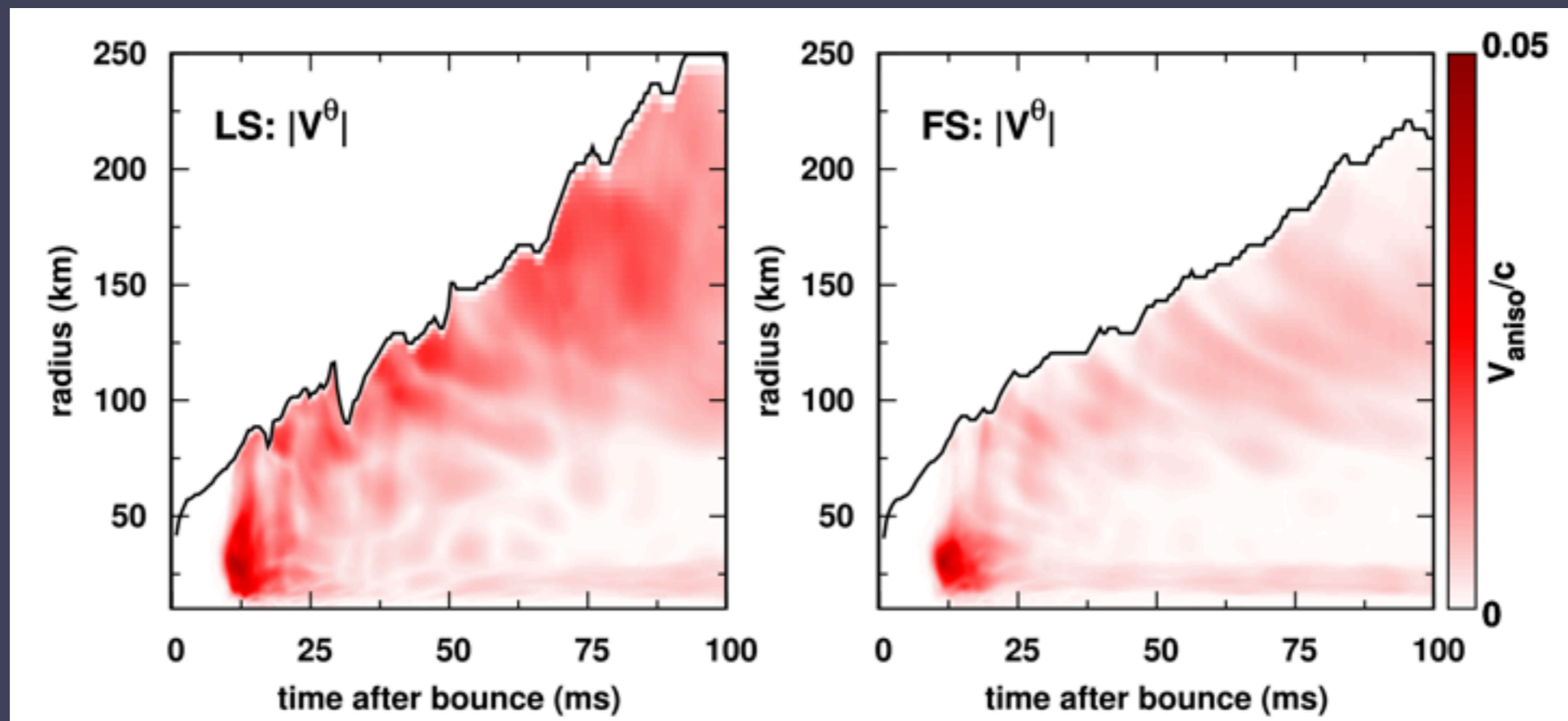


AH+(preprint 2020)

- $M_{\text{gain}}$  だけが違い、LSのほうが大きい

# 乱流の強さの違い

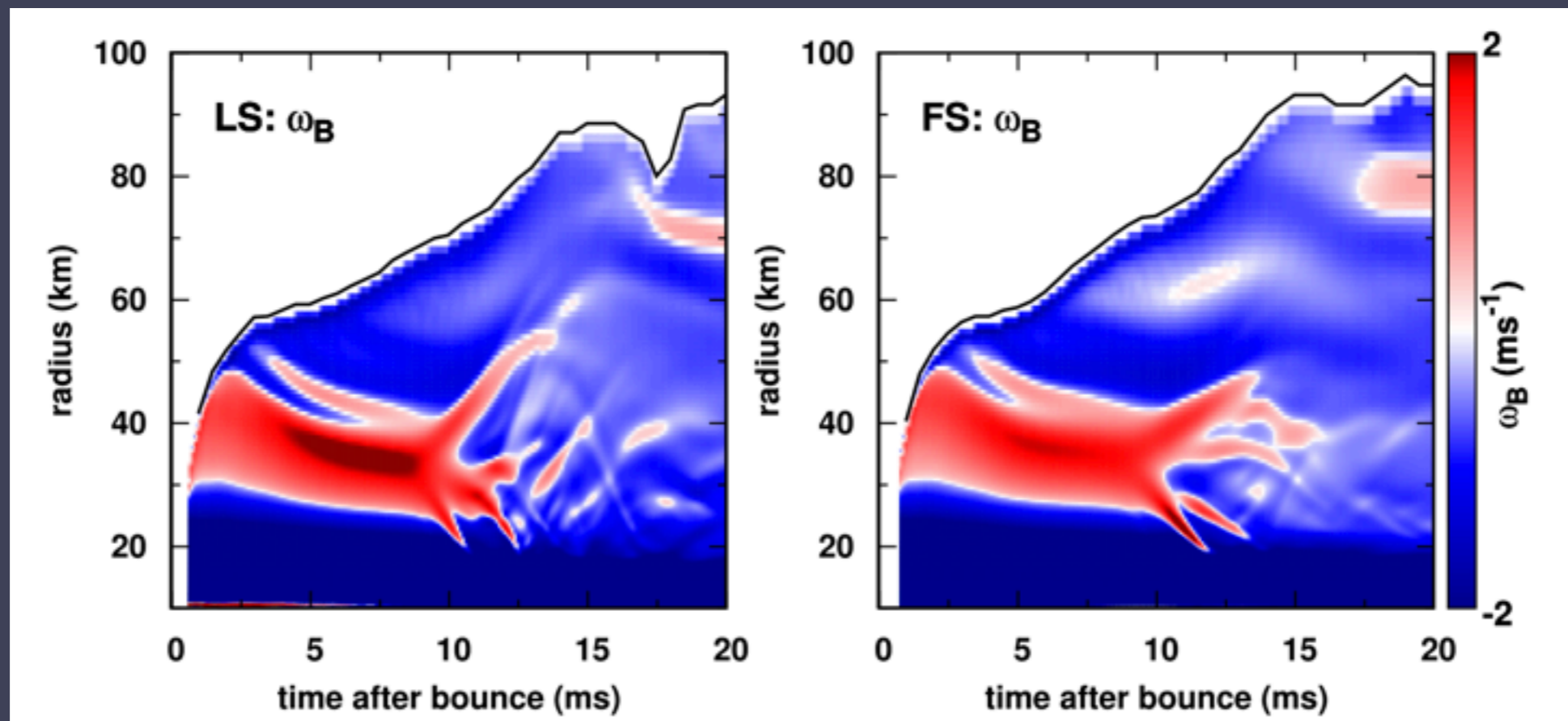
- $M_{\text{gain}}$  だけが違い、LSのほうが大きい
- LSモデルのほうが乱流が強い



Nagakura+(2018)

# 乱流の強さの違い

- $M_{\text{gain}}$  だけが違い、LSのほうが大きい
- LSモデルのほうが乱流が強い
- 対流成長率(Brunt-Vaisala振動数)も大きい

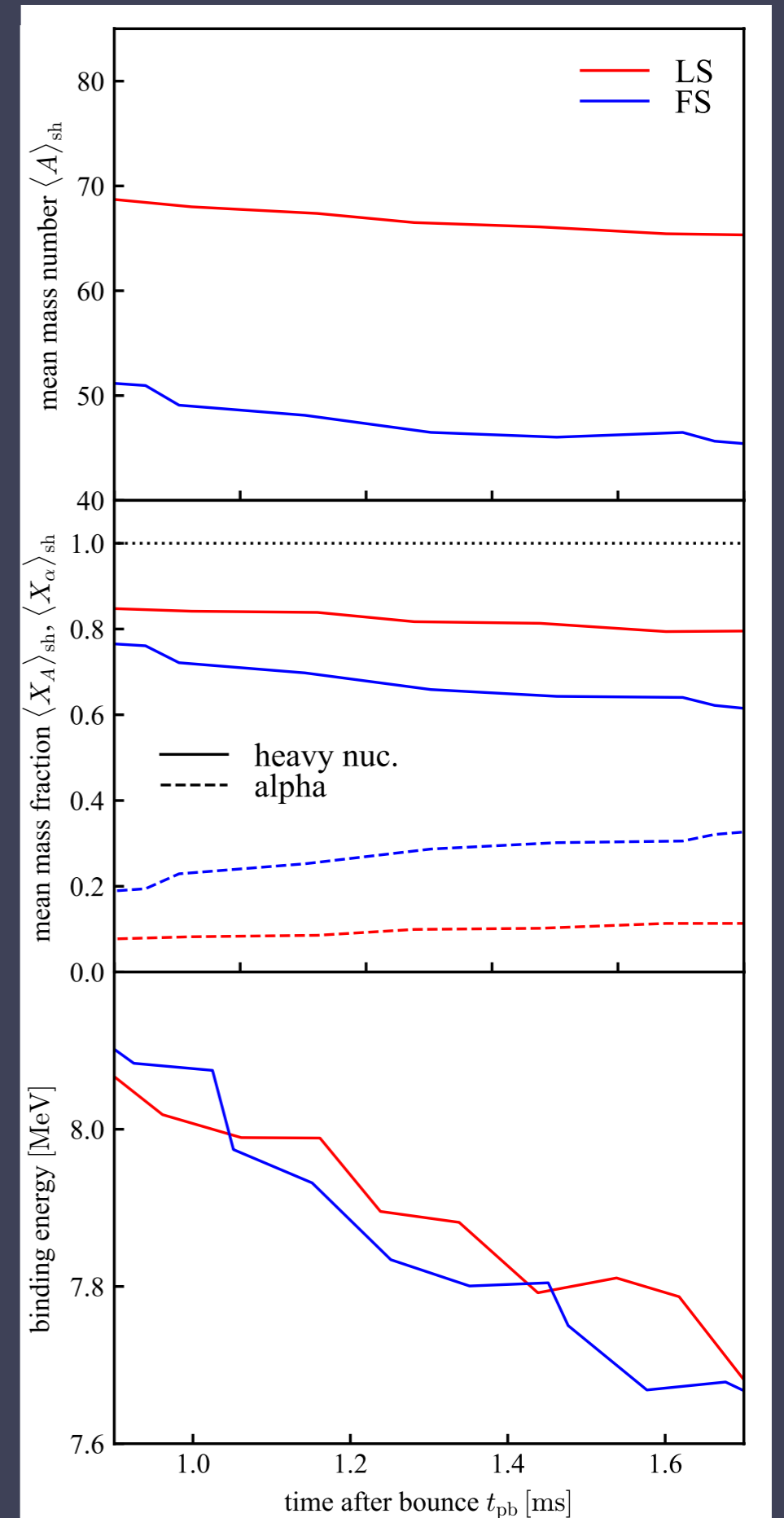


Nagakura+(2018)



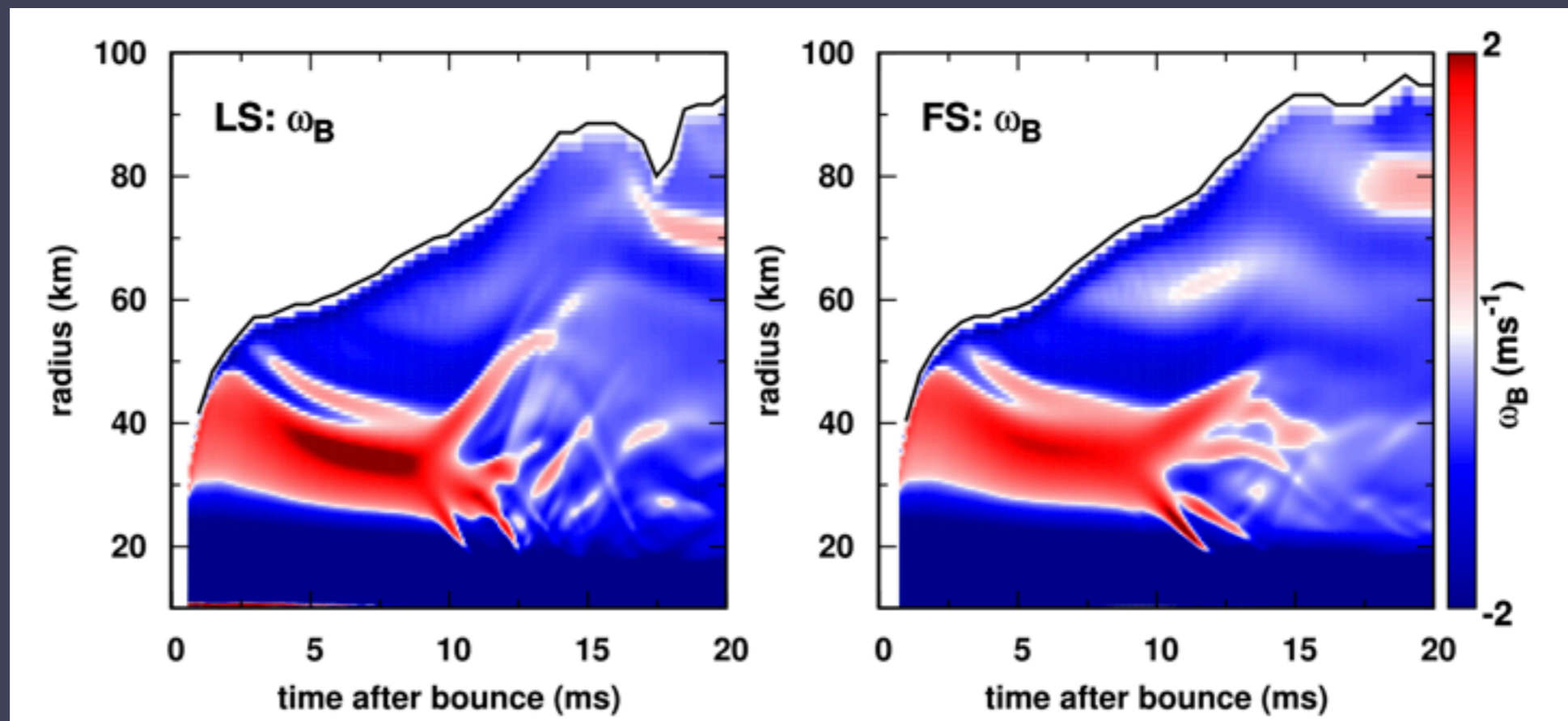
# 原子核組成の違い

- 降着流の原子核組成が違う:
  - LS: 重原子核が多く降着してくる
  - FS:  $\alpha$ 粒子が多く降着してくる
- LSのほうが光分解で多くのエネルギーを消費
- 衝撃波が急激に弱まり、急峻なエントロピー勾配を形成
- Prompt convectionが強い



# 乱流の強さの違い

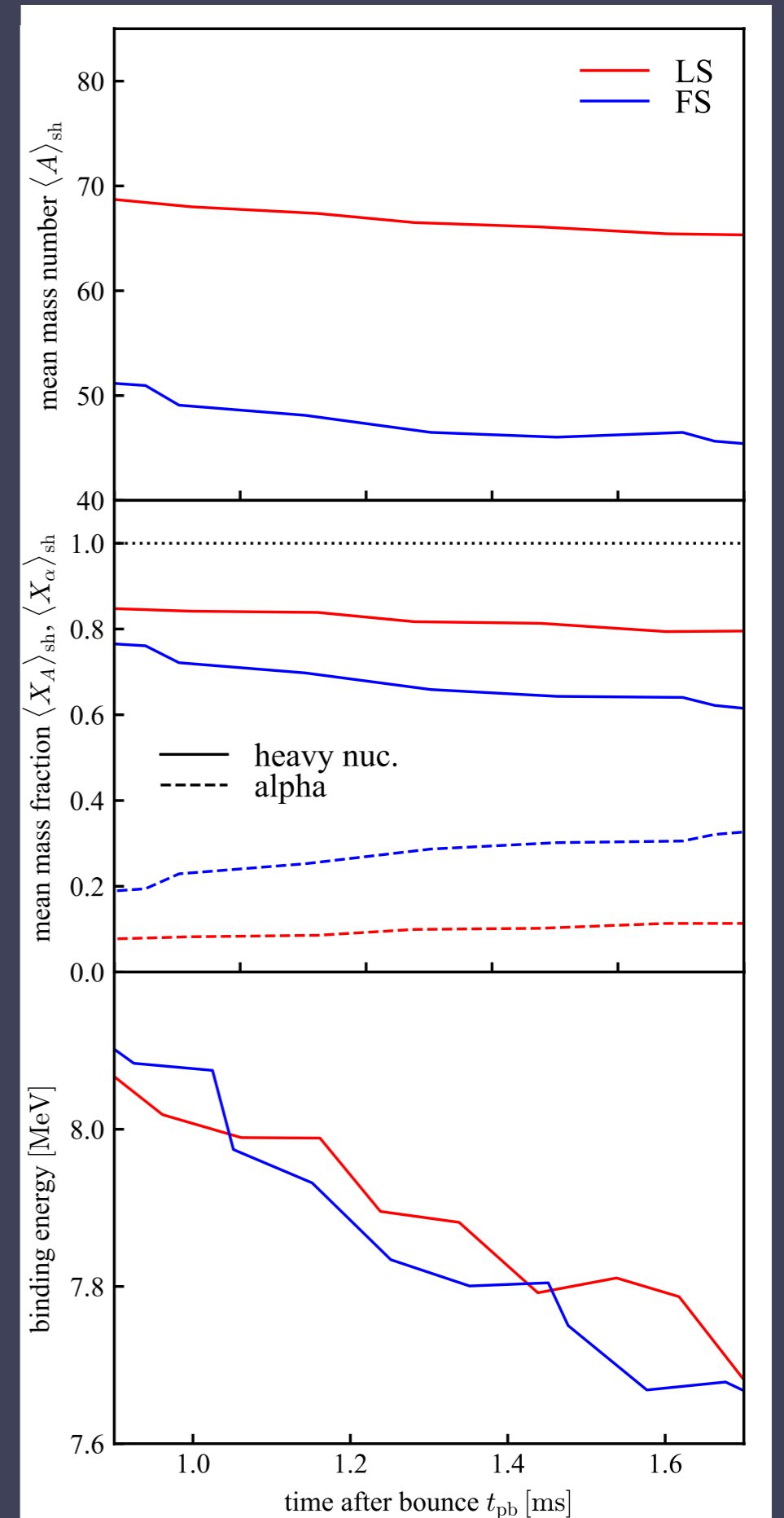
- $M_{\text{gain}}$  だけが違い、LSのほうが大きい
- LSモデルのほうが乱流が強い
- 対流成長率(Brunt-Vaisala振動数)も大きい



Nagakura+(2018)

# 原子核組成の違い

- 降着流の原子核組成が違う:
  - LS: 重原子核が多く降着してくる
  - FS:  $\alpha$ 粒子が多く降着してくる
- LSのほうが光分解で多くのエネルギーを消費
- 衝撃波が急激に弱まり、急峻なエントロピー勾配を形成
- Prompt convectionが強い



# エディントンテンソル

- ・分布関数の二次モーメント
  - ▶エディントンテンソル
- ・M1-closure法で鍵となる量

ストレステンソル

$$P^{ij}(\epsilon) := \epsilon \int f n^i n^j d\Omega_p$$

M1-closure法

$$P_{\text{M1}}^{ij}(\epsilon) := \frac{3\zeta(\epsilon) - 1}{2} P_{\text{thin}}^{ij}(\epsilon) + \frac{3(1 - \zeta(\epsilon))}{2} P_{\text{thick}}^{ij}(\epsilon),$$

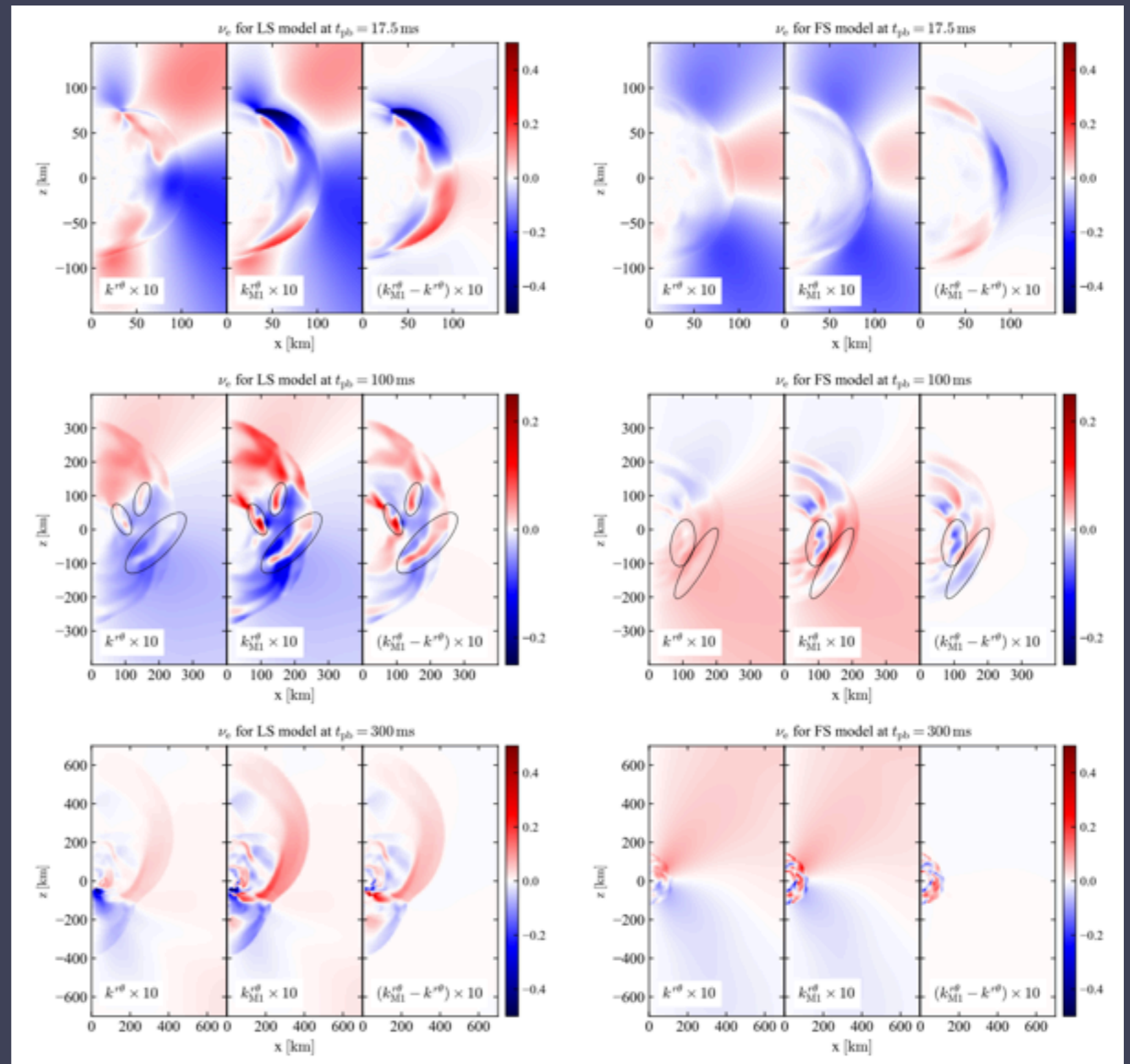
$$\zeta(\epsilon) = \frac{3 + 4\bar{F}(\epsilon)^2}{5 + 2\sqrt{4 - 3\bar{F}(\epsilon)}}.$$

$$P_{\text{thin}}^{ij}(\epsilon) := E(\epsilon) \frac{F^i(\epsilon) F^j(\epsilon)}{F(\epsilon)^2}$$

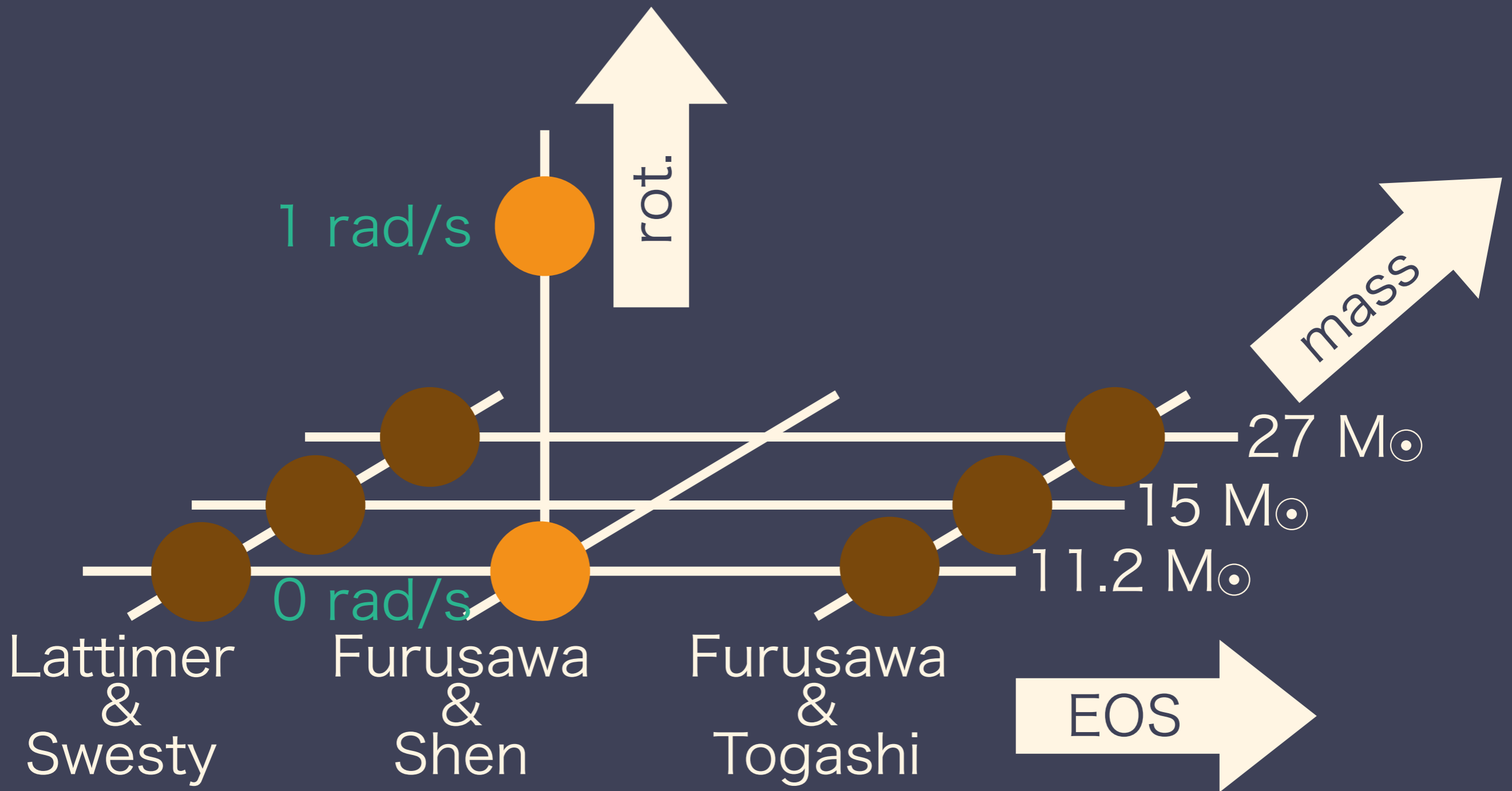
$$P_{\text{thick}}^{ij}(\epsilon) := J(\epsilon) \frac{\gamma^{ij} + 4V^i V^j}{3} + H^i(\epsilon) V^j + V^i H^j(\epsilon)$$

# エディントンテンソル

- ・分布関数の二次モーメント
  - ▶エディントンテンソル
- ・M1-closure法で鍵となる量
- ・M1-closure法では速度依存項を過大評価



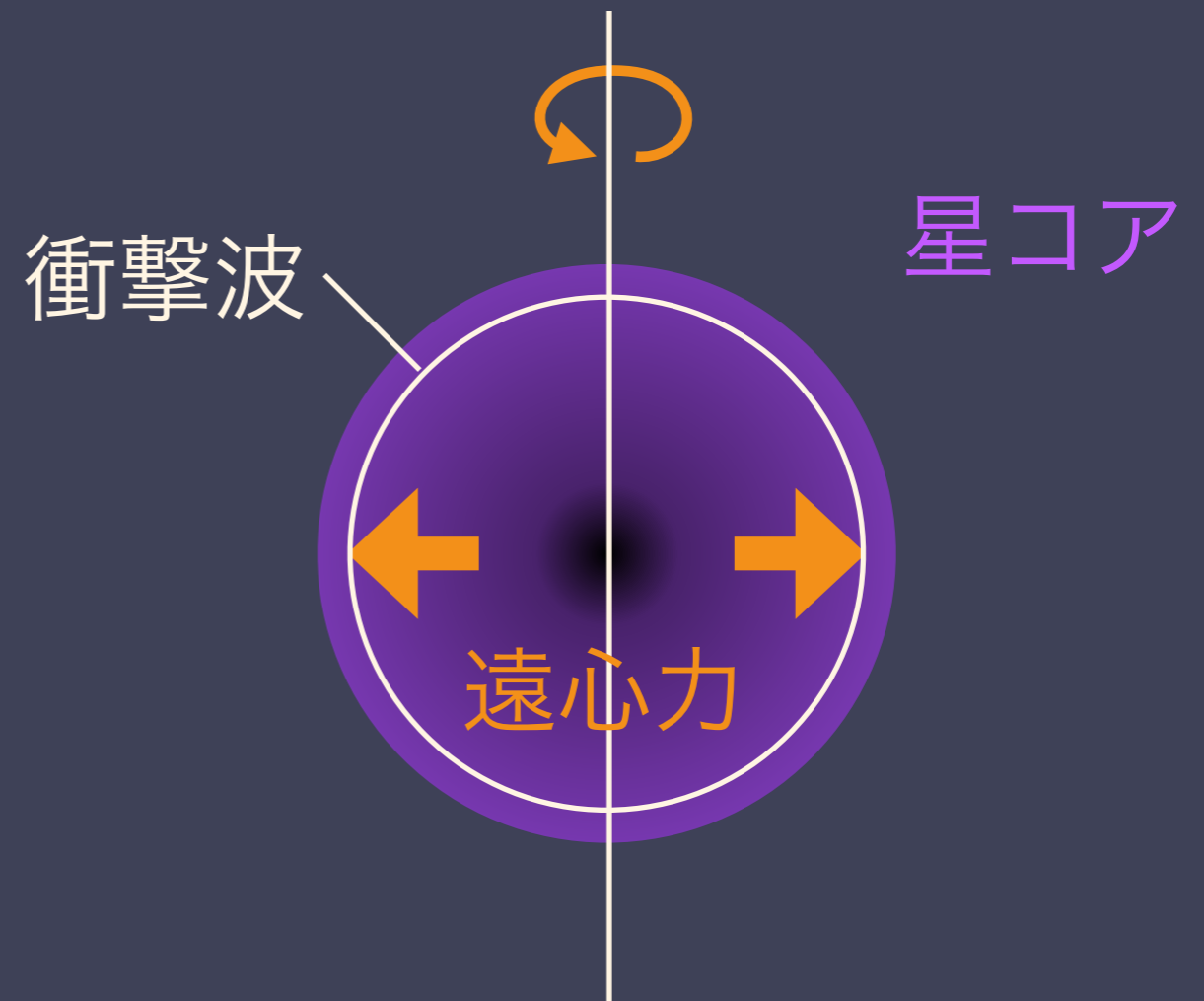
# 回転



# 回転

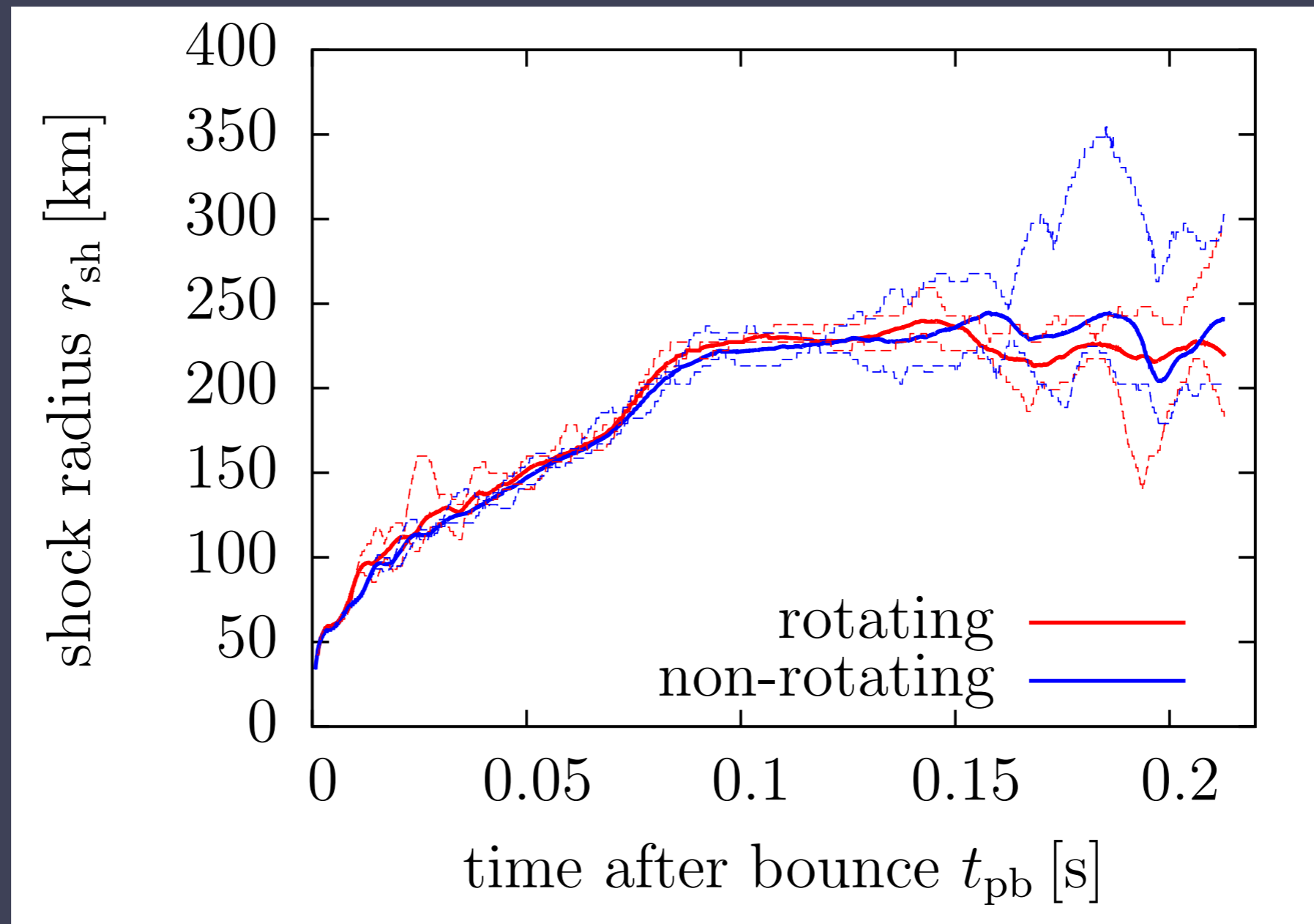
- ・衝撃波復活を促進も抑制もしうる
- ・回転によってニュートリノ分布が歪む
- ・回転プロファイル:

$$\Omega(r) = \frac{1 \text{ rad/s}}{1 + (r/10^8 \text{ cm})^2}$$



# 衝撃波の時間発展

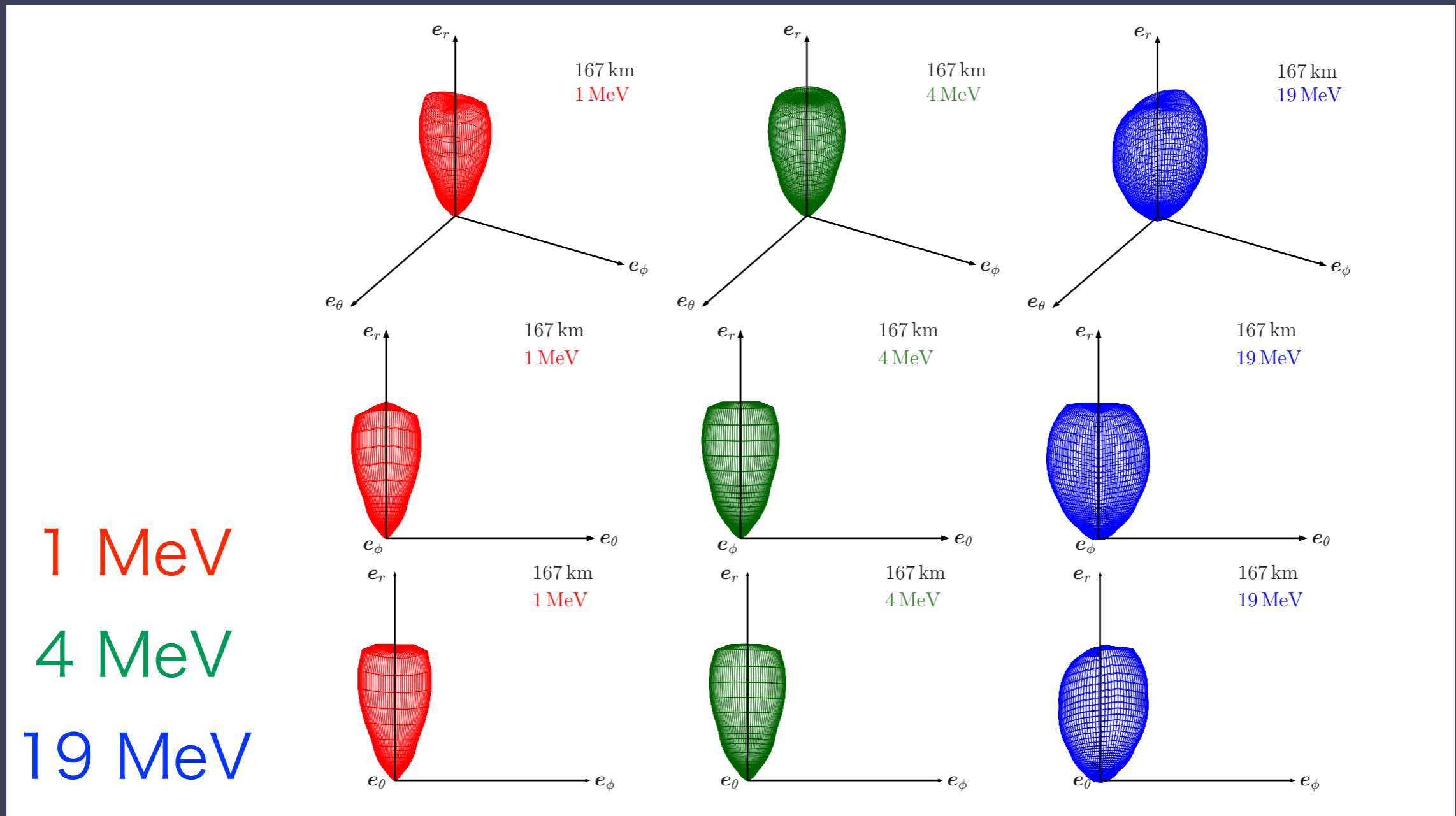
- ・バウンス後~200 msまでの時間発展
- ・回転モデルと無回転モデルの差はあまりない→回転が遅い



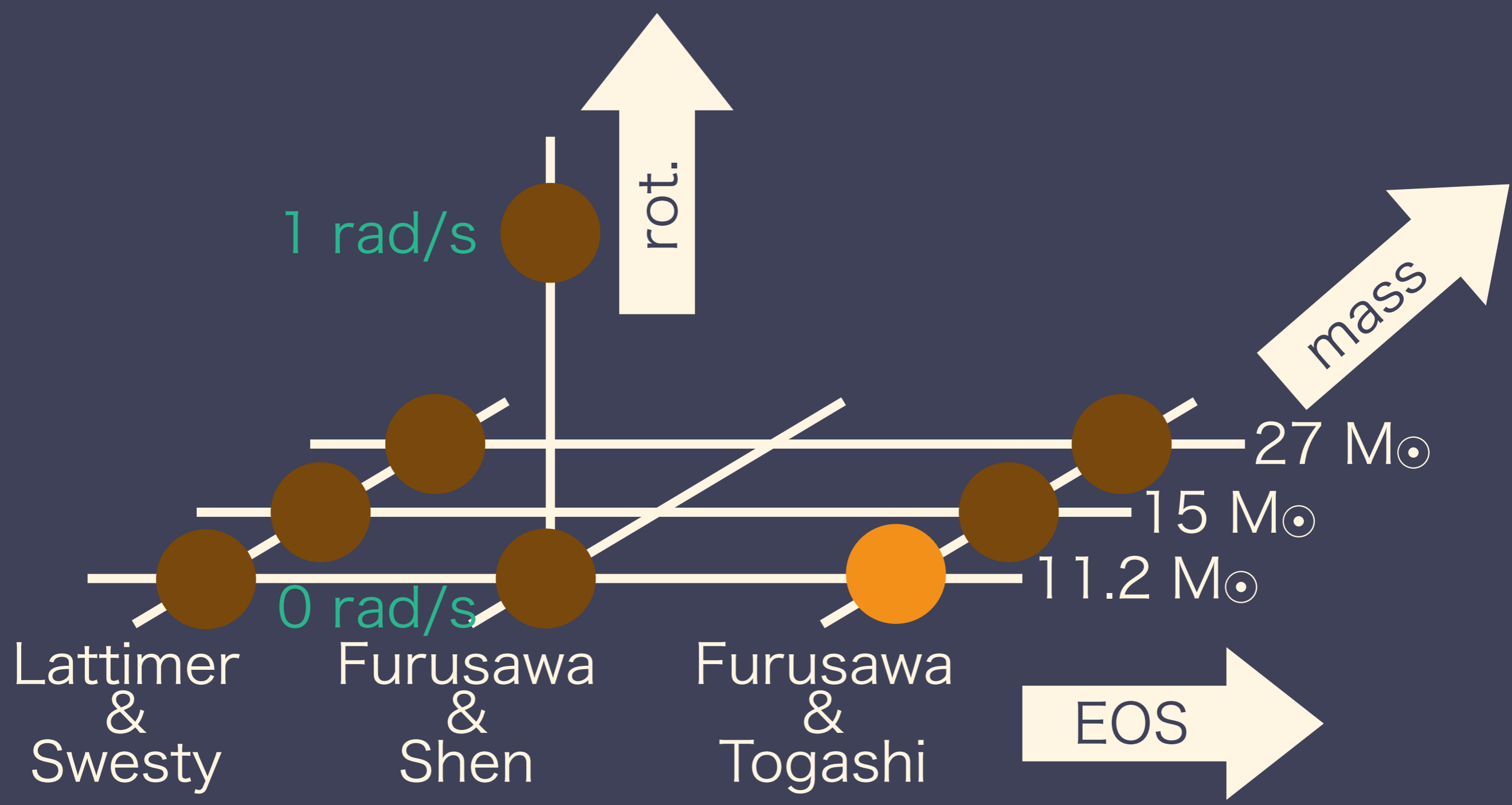


# ニュートリノ角度分布

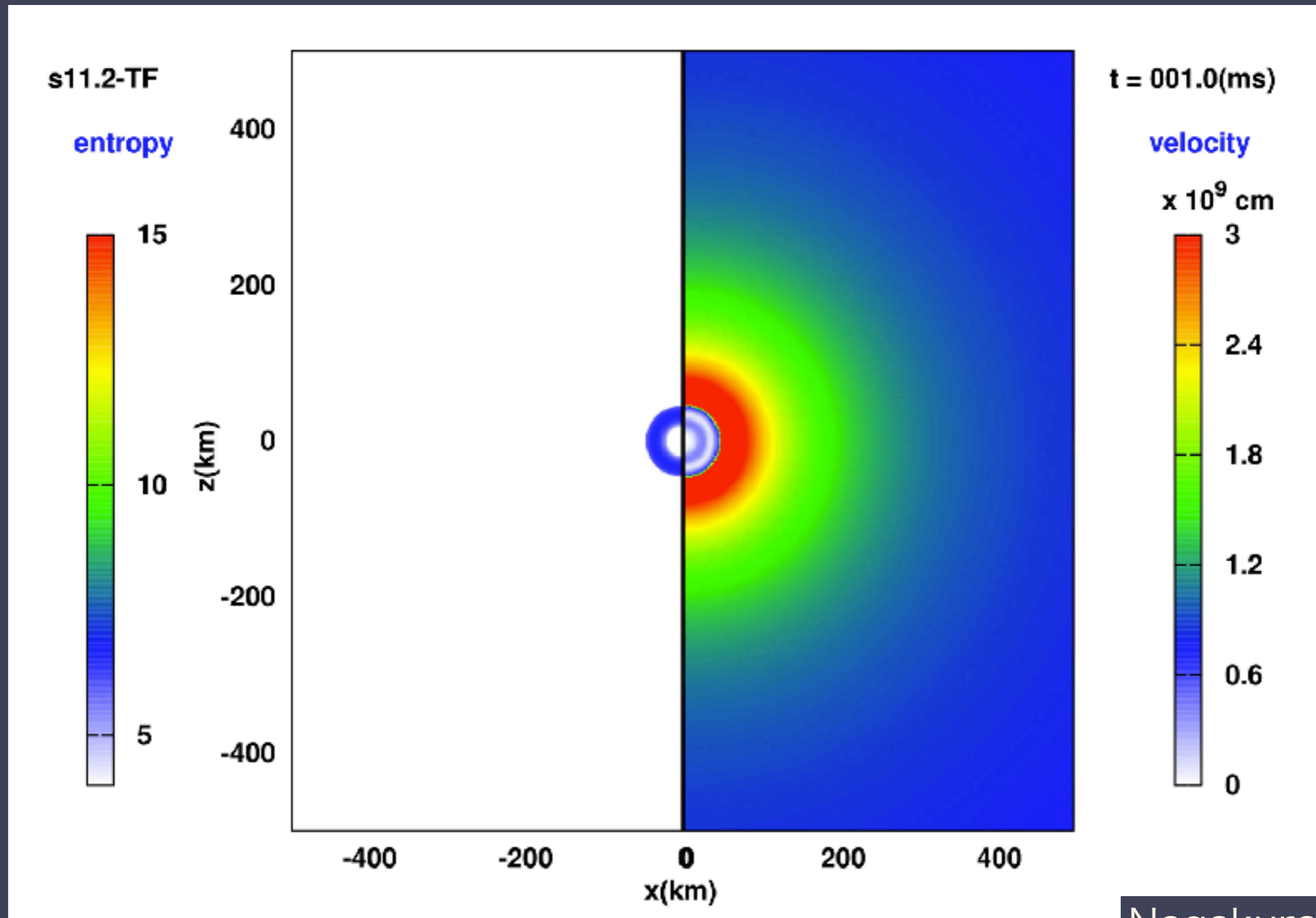
- ・バウンス後~10 msでのニュートリノの角度分布関数
- ・基本的に前方集中、回転に引きずられている部分もある



# PNSキック

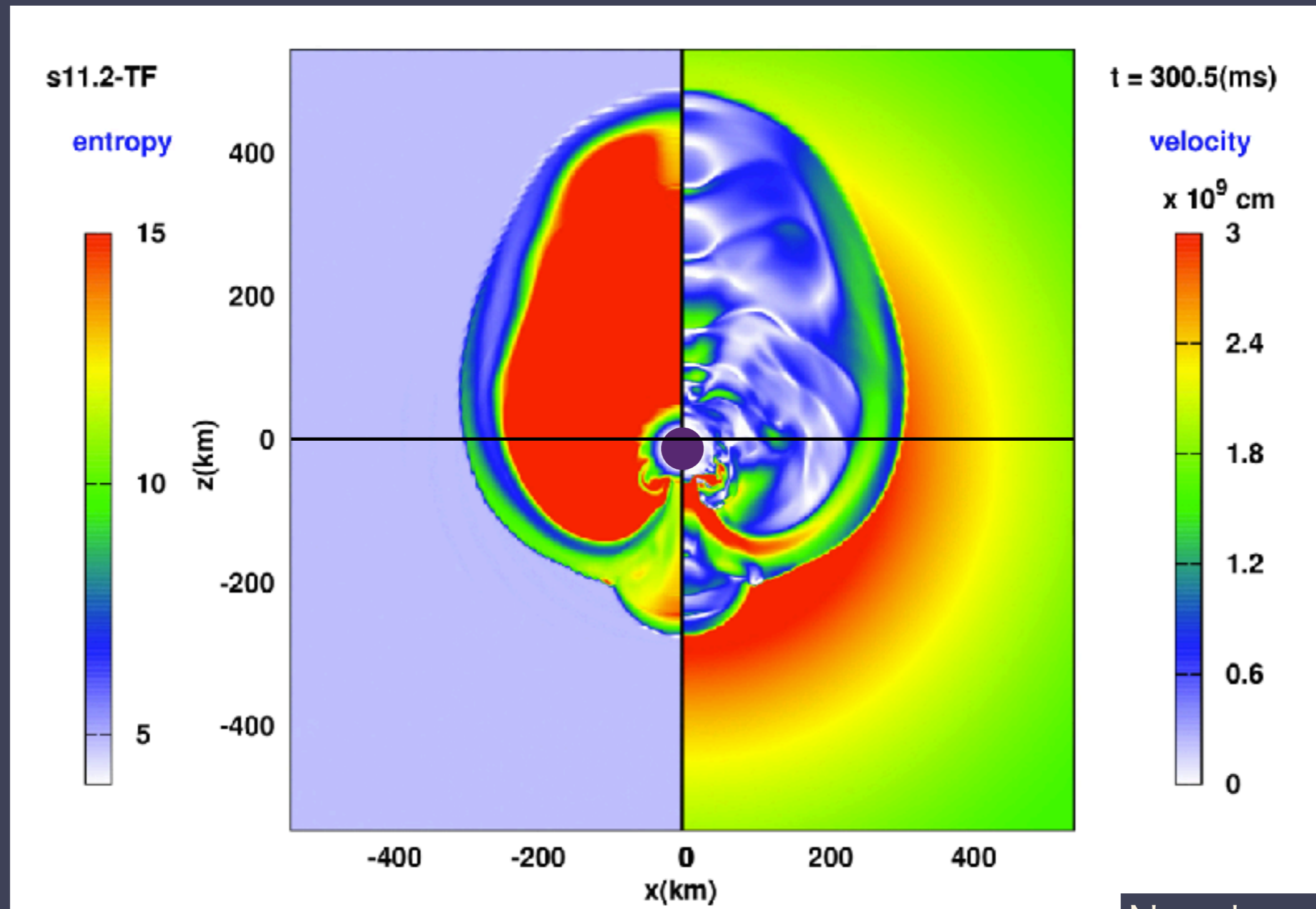


# エントロピー・速度分布

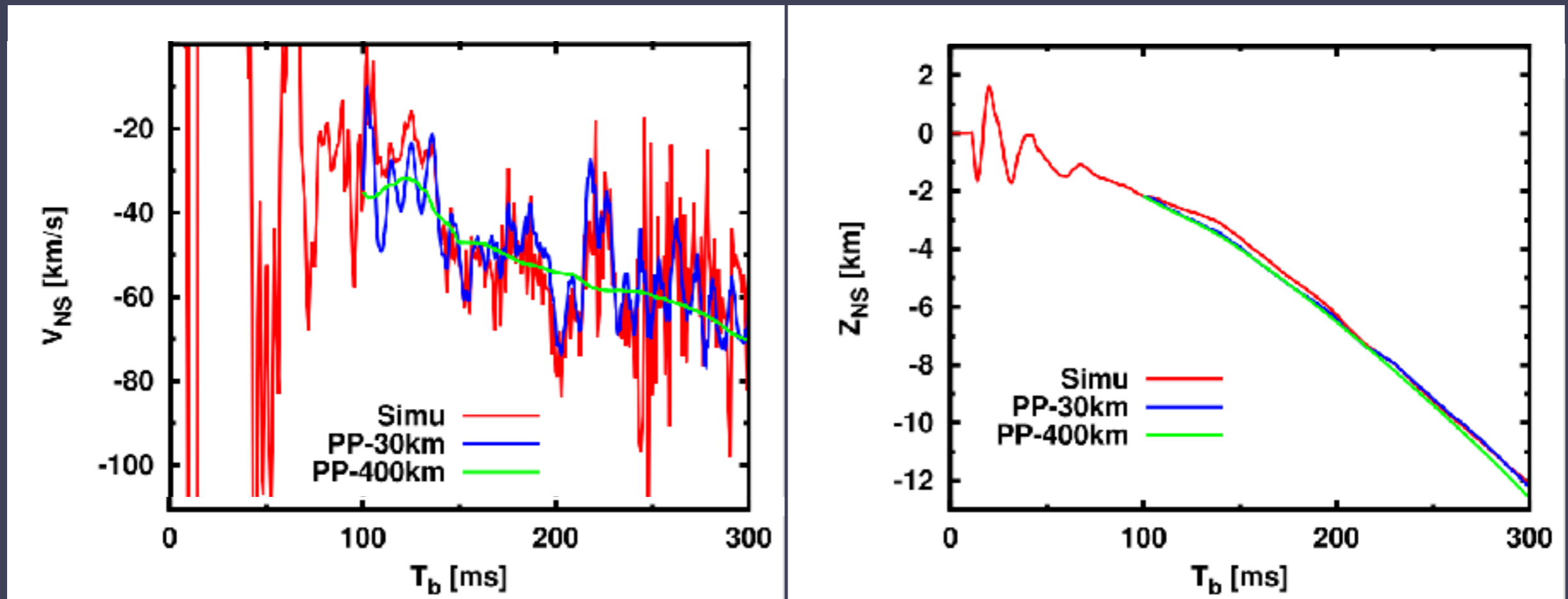


# エントロピー・速度分布

- ・PNSが初期位置から動く



# PNSの固有運動

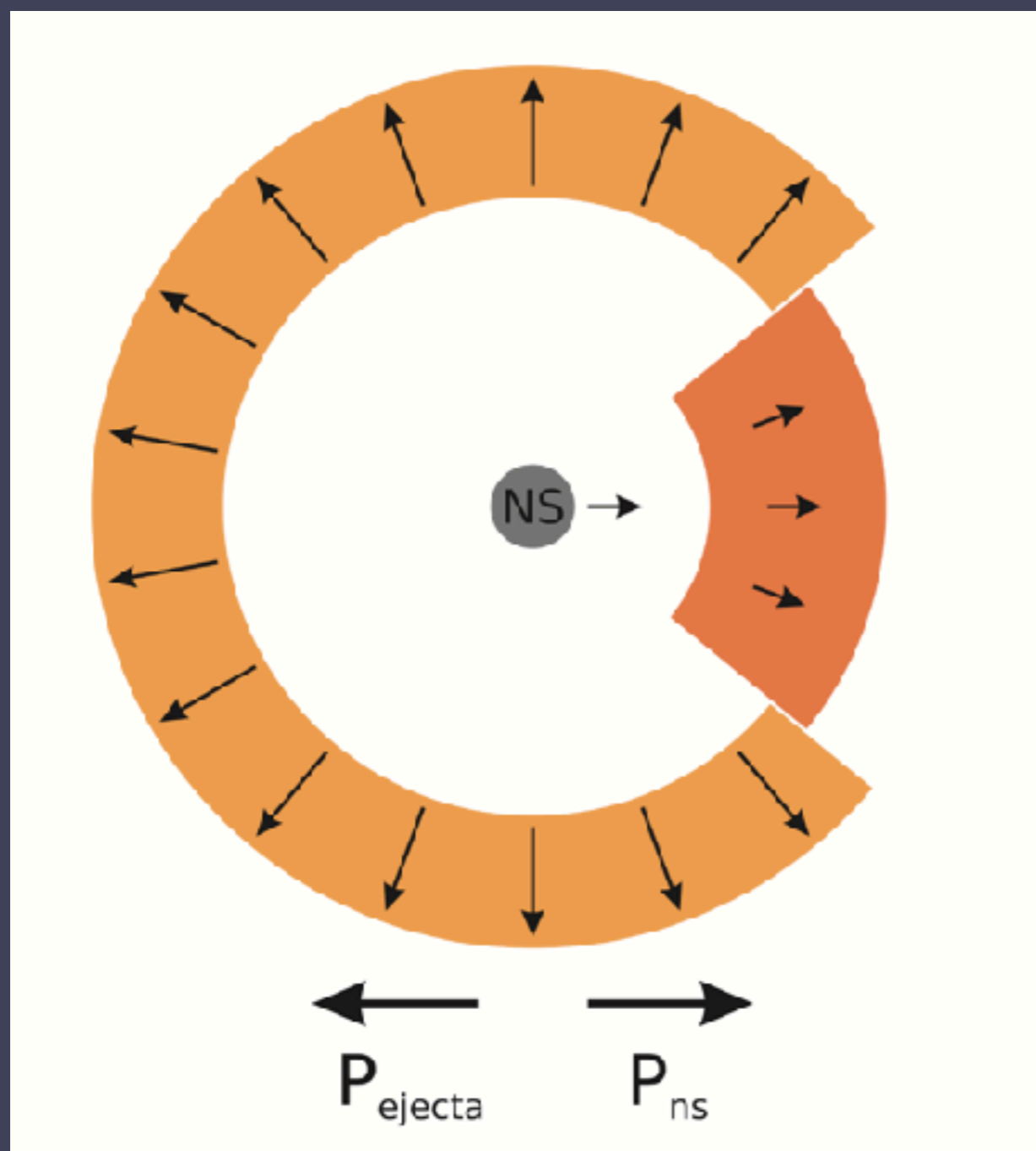


Nagakura+(2019)

- ・バウンス後100 ms以降にPNSが南に動く

# late-phaseでのPNSキック機構:

## gravitational tug boat?



重力タグボート機構:

- ・非対称な爆発



- ・遅い側はPNSに近く、  
高密度

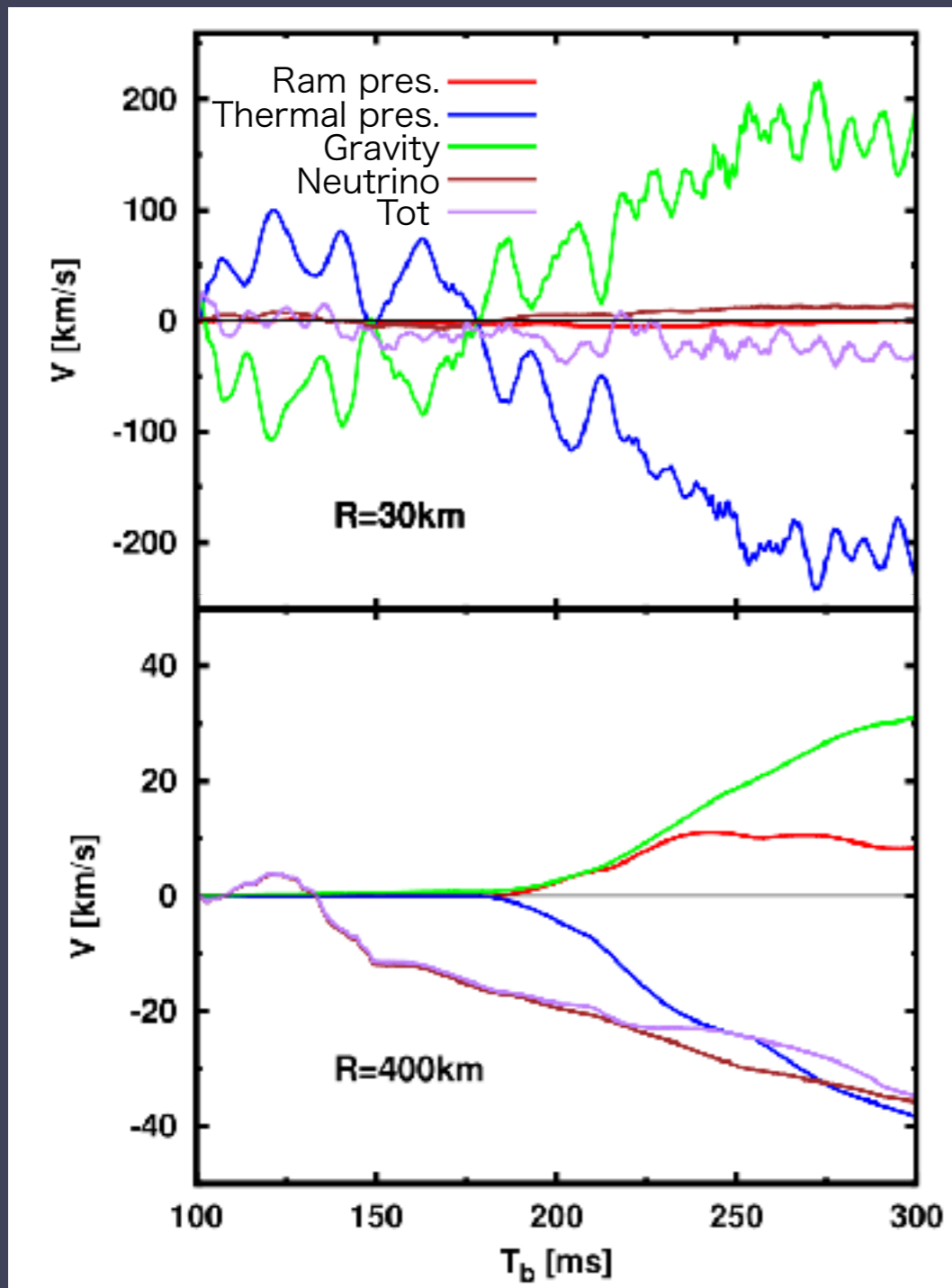


- ・PNSはそちら側に  
引っ張られる

Scheck+(2006)

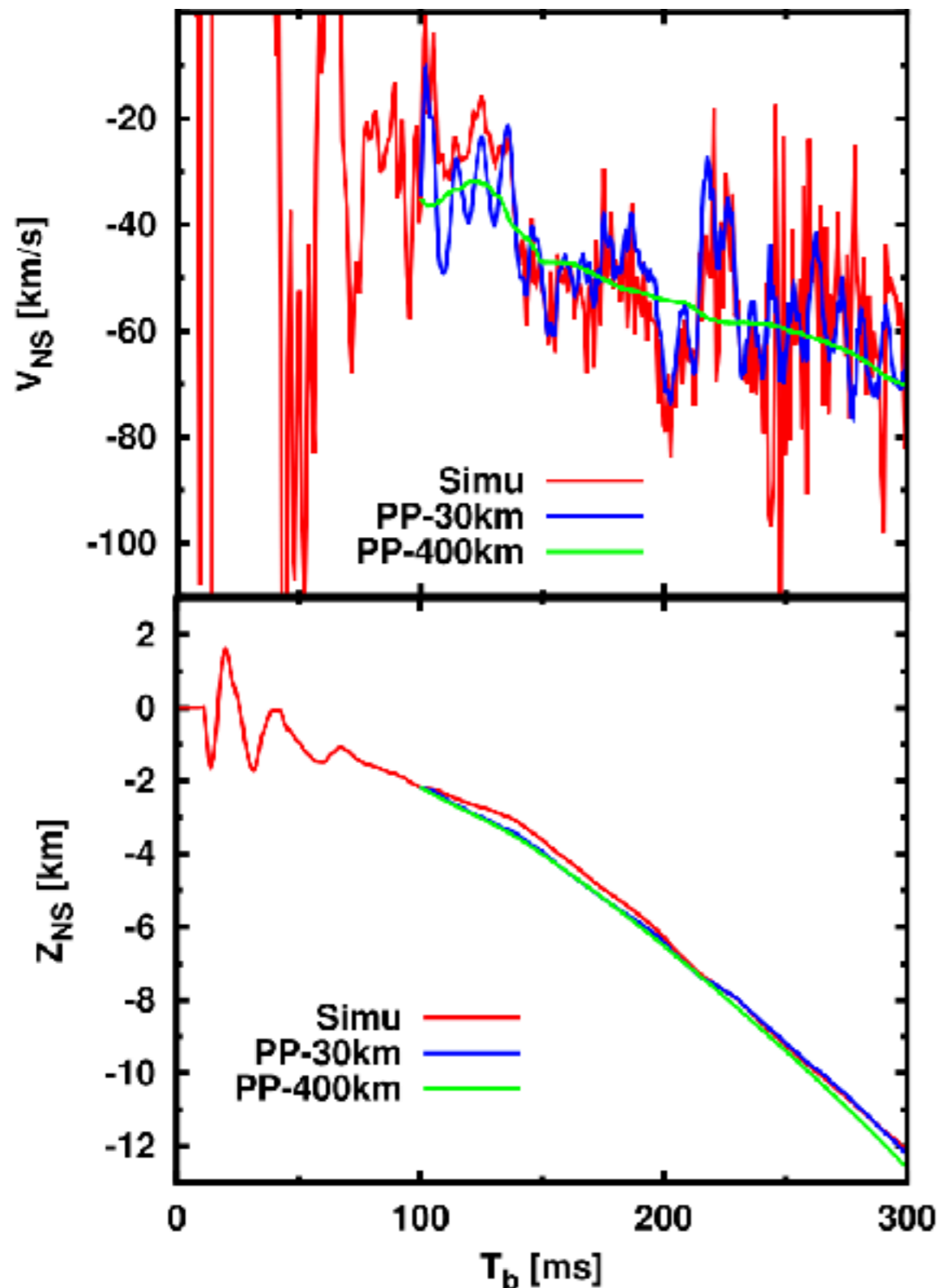
# early-phaseでのPNSキック機構:

## 重力? 圧力? ニュートリノ輻射圧?



- ・重要な力はどれか?
- ・それぞれの力に起因する速度を比較(加速度を時間積分)
- ・中心30 km内の力:  
熱圧力が重力に打ち勝つ
- ・中心400 km内の力:  
ニュートリノ輻射圧が支配的

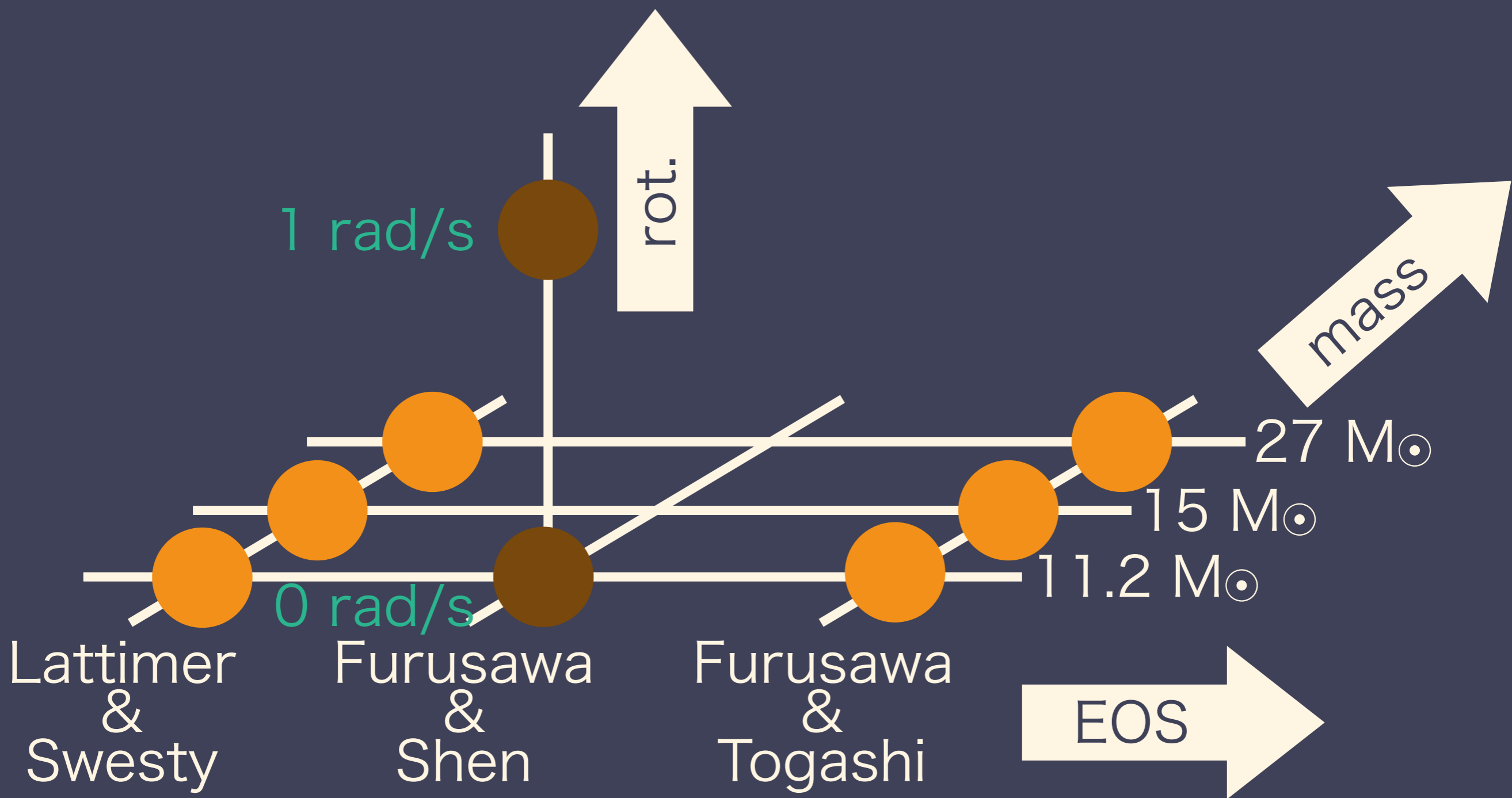
# ニュートリノ輻射力が重要？



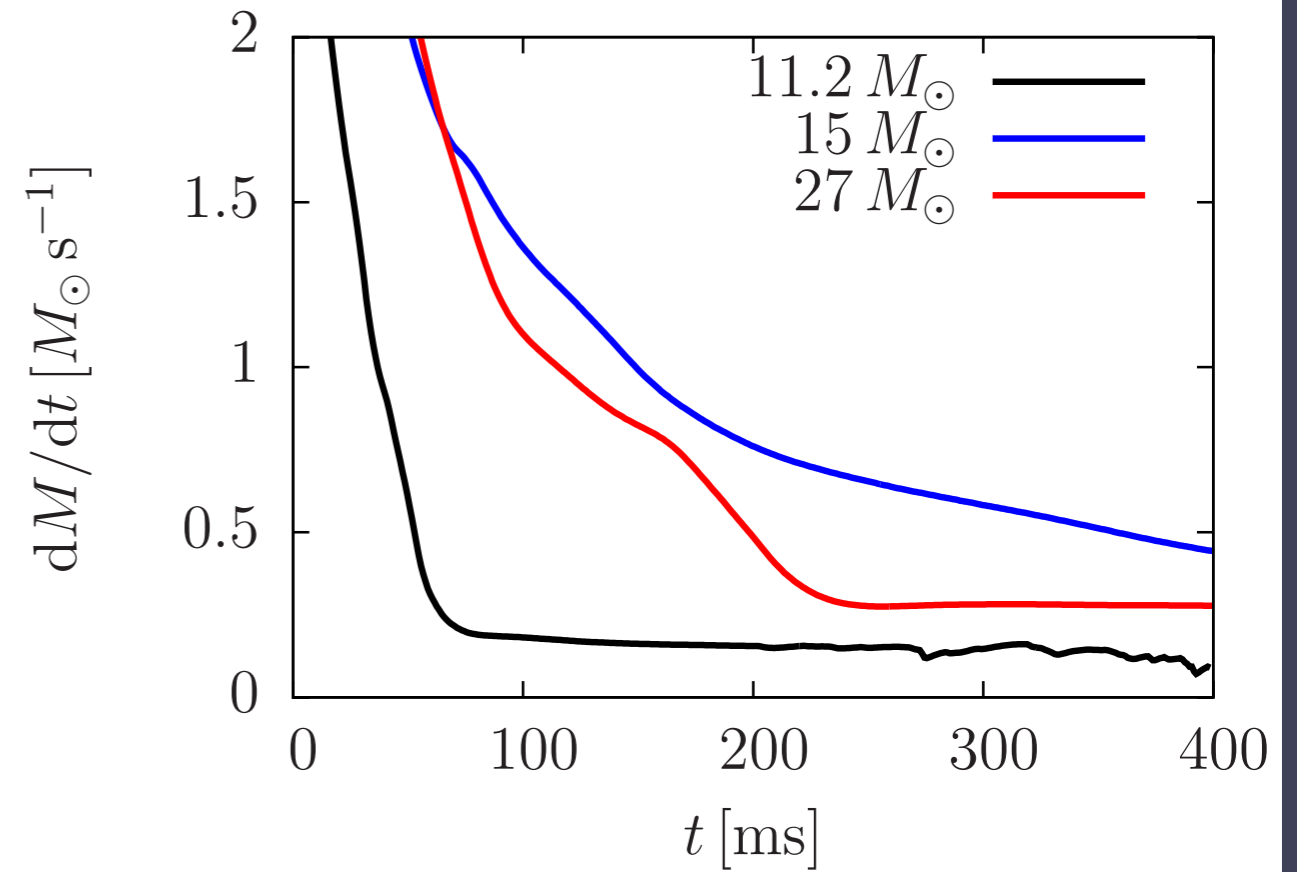
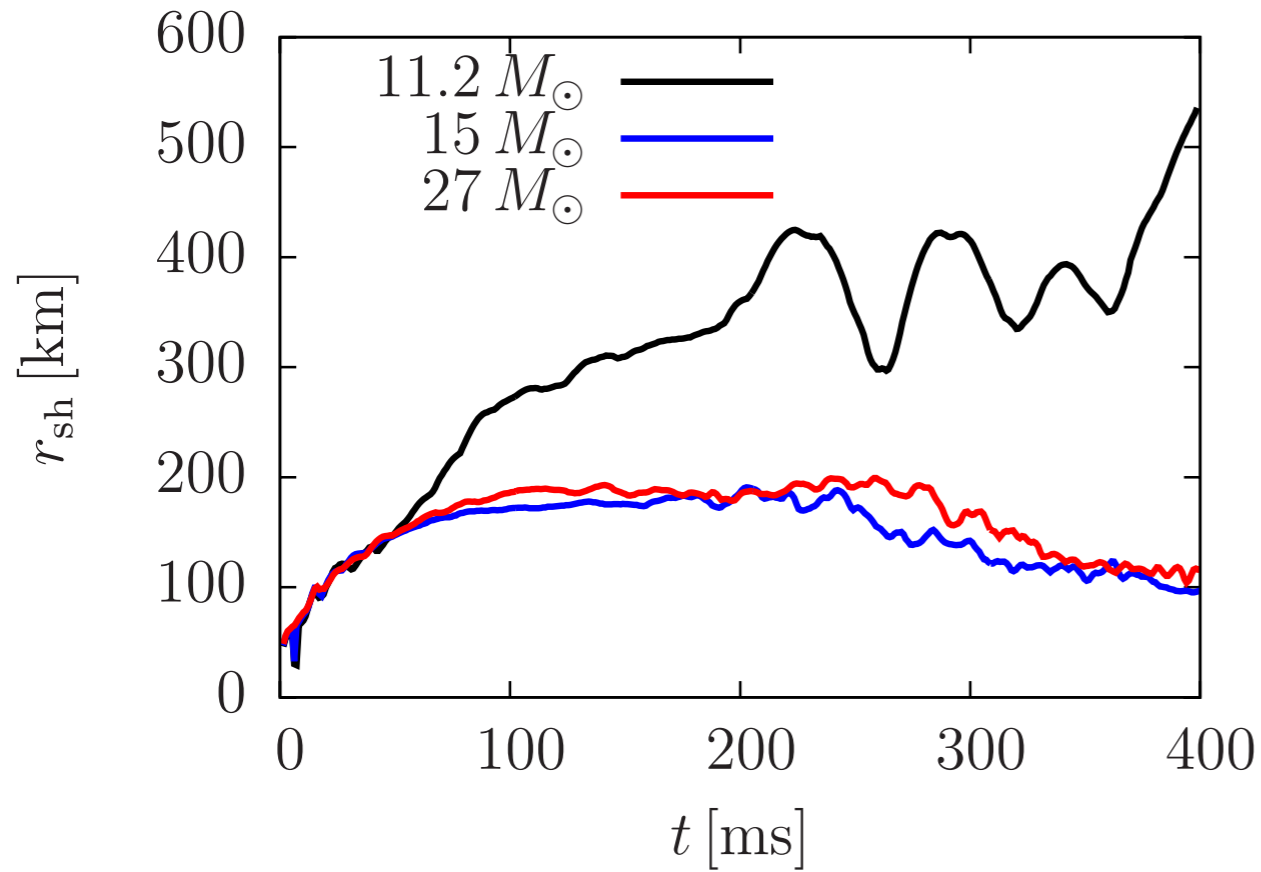
- 中心30 kmの力(熱圧力+重力)でPNSキックが再現される
- 中心400 kmの力(ニュートリノ輻射力)でもPNSキックは再現される
- ニュートリノ輻射力が重要な可能性がある



# 親星



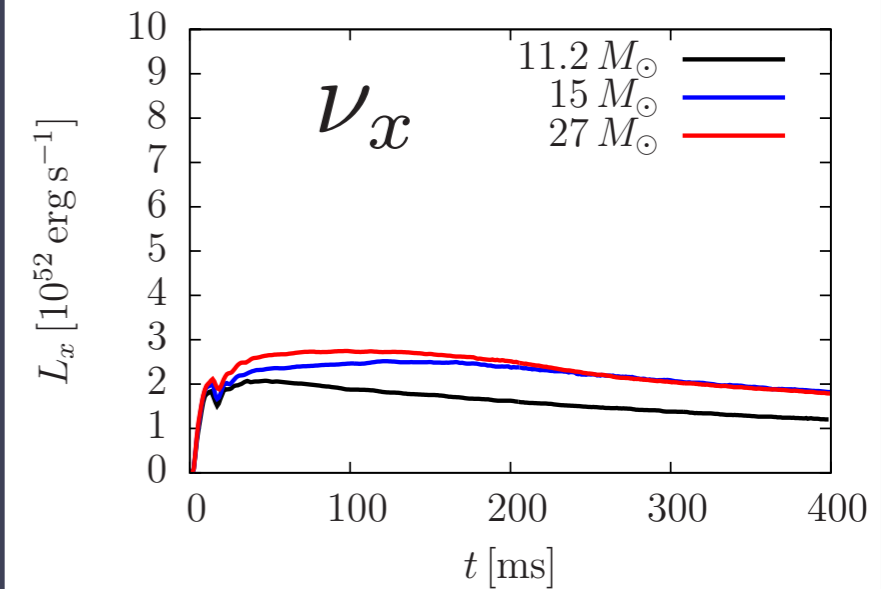
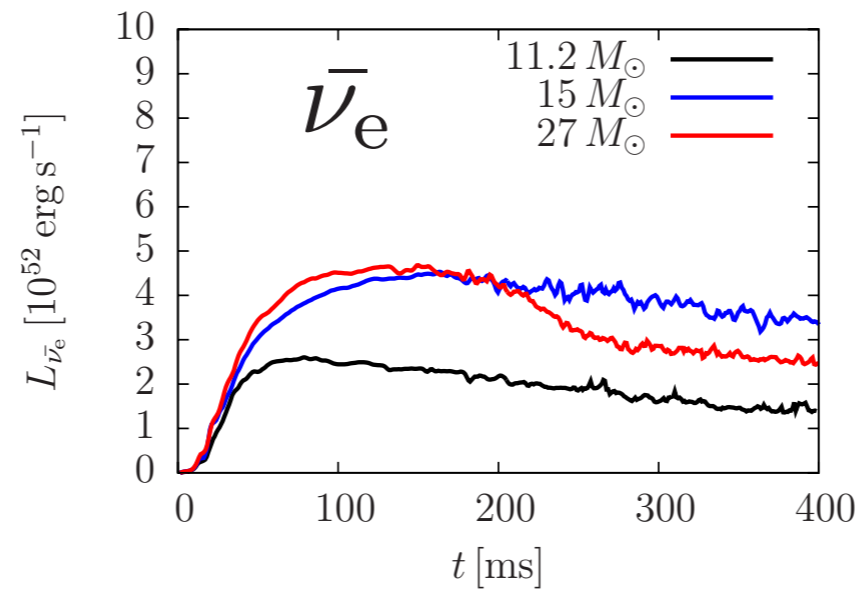
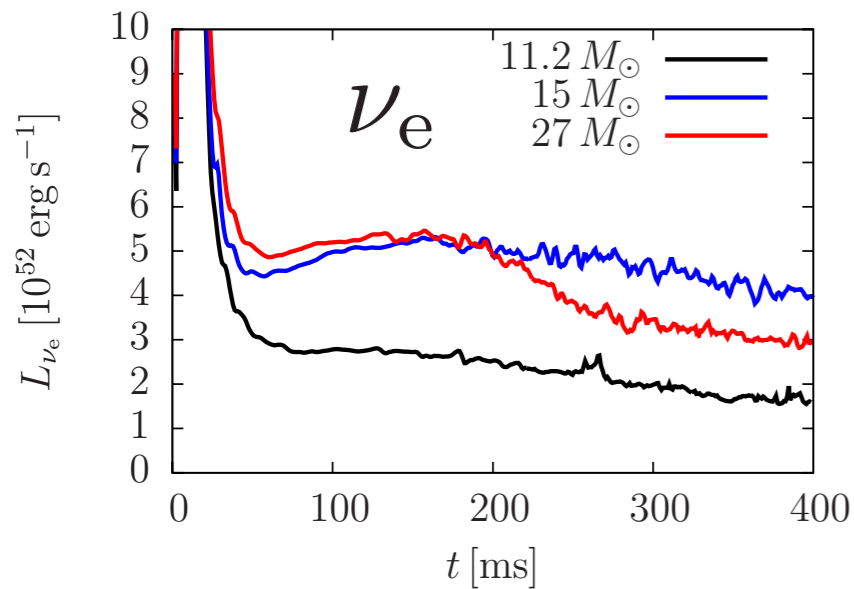
# 衝撃波の時間発展



Iwakami+ in prep.

- ・  $11.2 M_{\odot}$ モデルのみ、質量降着率が落ちた時に衝撃波が復活する
- ・他のモデルは質量降着率が落ちても爆発しない

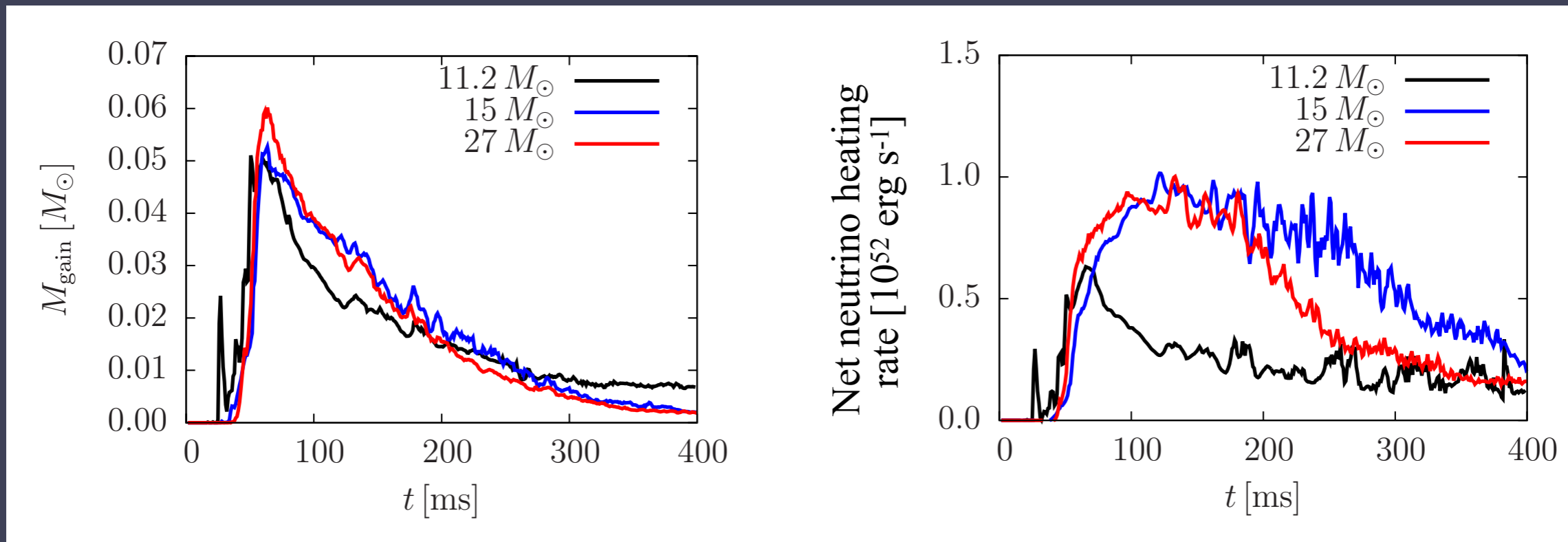
# ニュートリノ加熱率



Iwakami+ in prep.

- ・爆発しない場合、PNSへの質量降着大→ニュートリノ光度大
- ・爆発しない場合、衝撃波下流の密度大→ゲイン質量大
- ・ニュートリノ加熱率自体は爆発しないほうが大きい

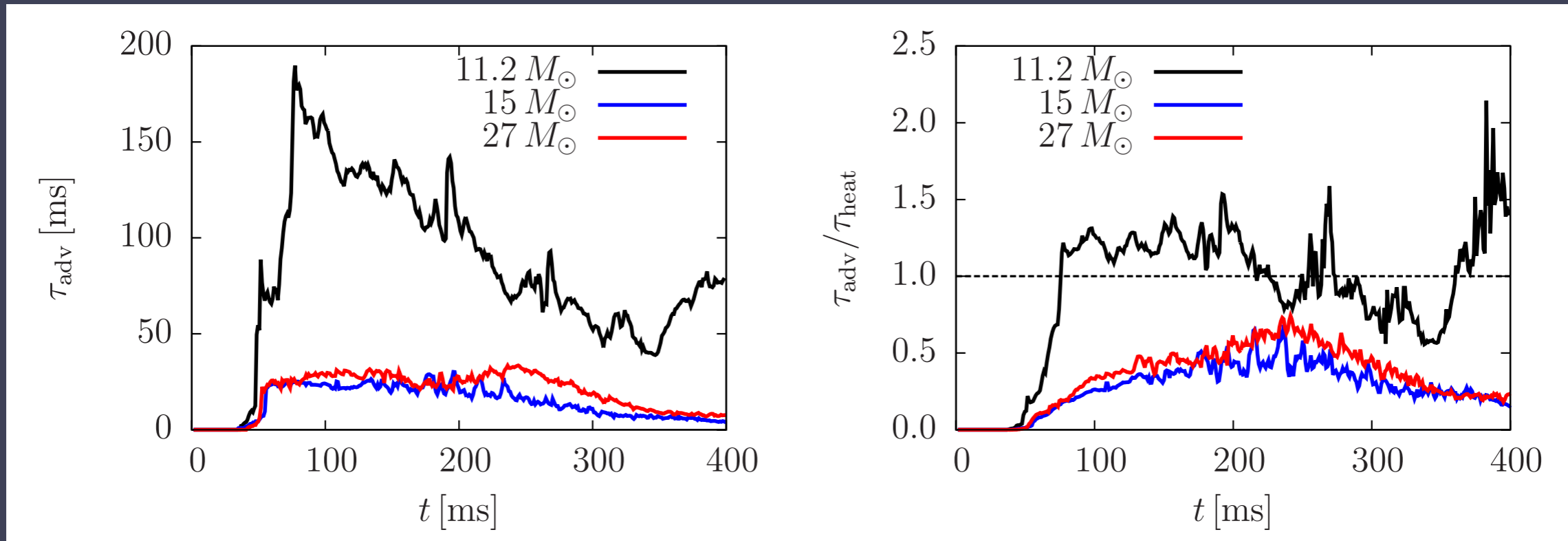
# ニュートリノ加熱率



Iwakami+ in prep.

- ・爆発しない場合、PNSへの質量降着大→ニュートリノ光度大
- ・爆発しない場合、衝撃波下流の密度大→ゲイン質量大
- ・ニュートリノ加熱率自体は爆発しないほうが大きい

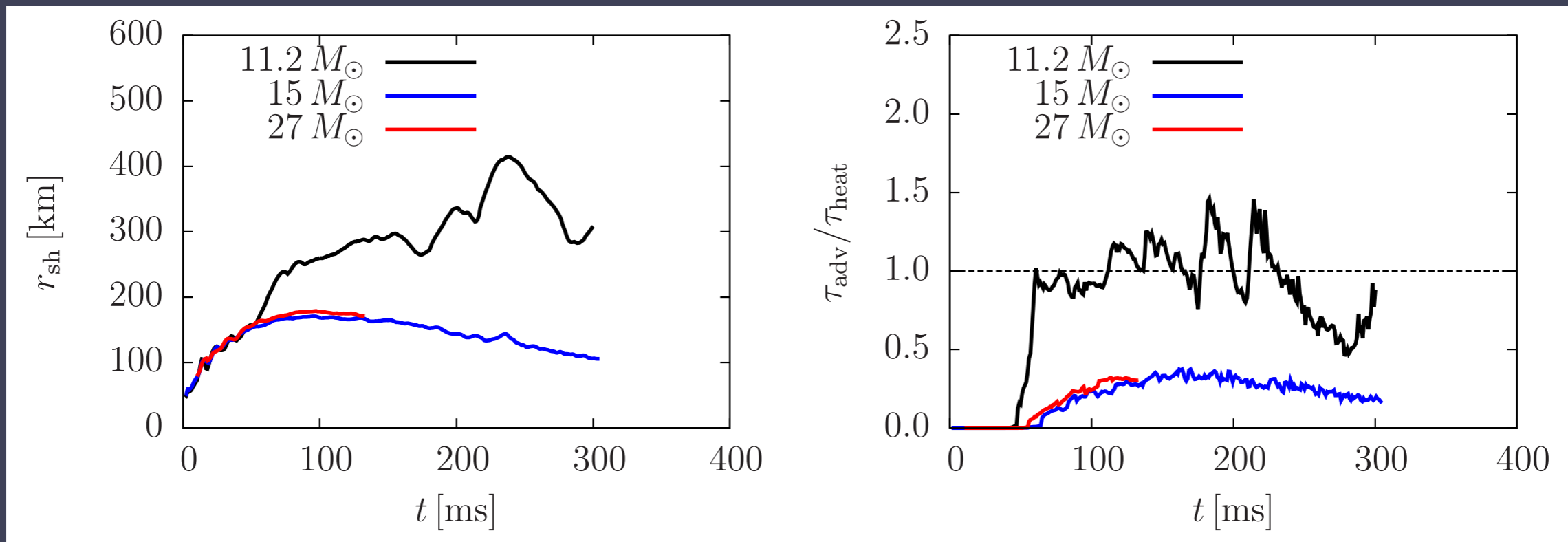
# 移流タイムスケールが長いために爆発



Iwakami+ in prep.

- ・加熱タイムスケールは大差がないが、移流タイムスケールは大きく違う；質量降着率が大きく違うため
- ・ $11.2 M_{\odot}$ モデルのみ、タイムスケール比が1を超える

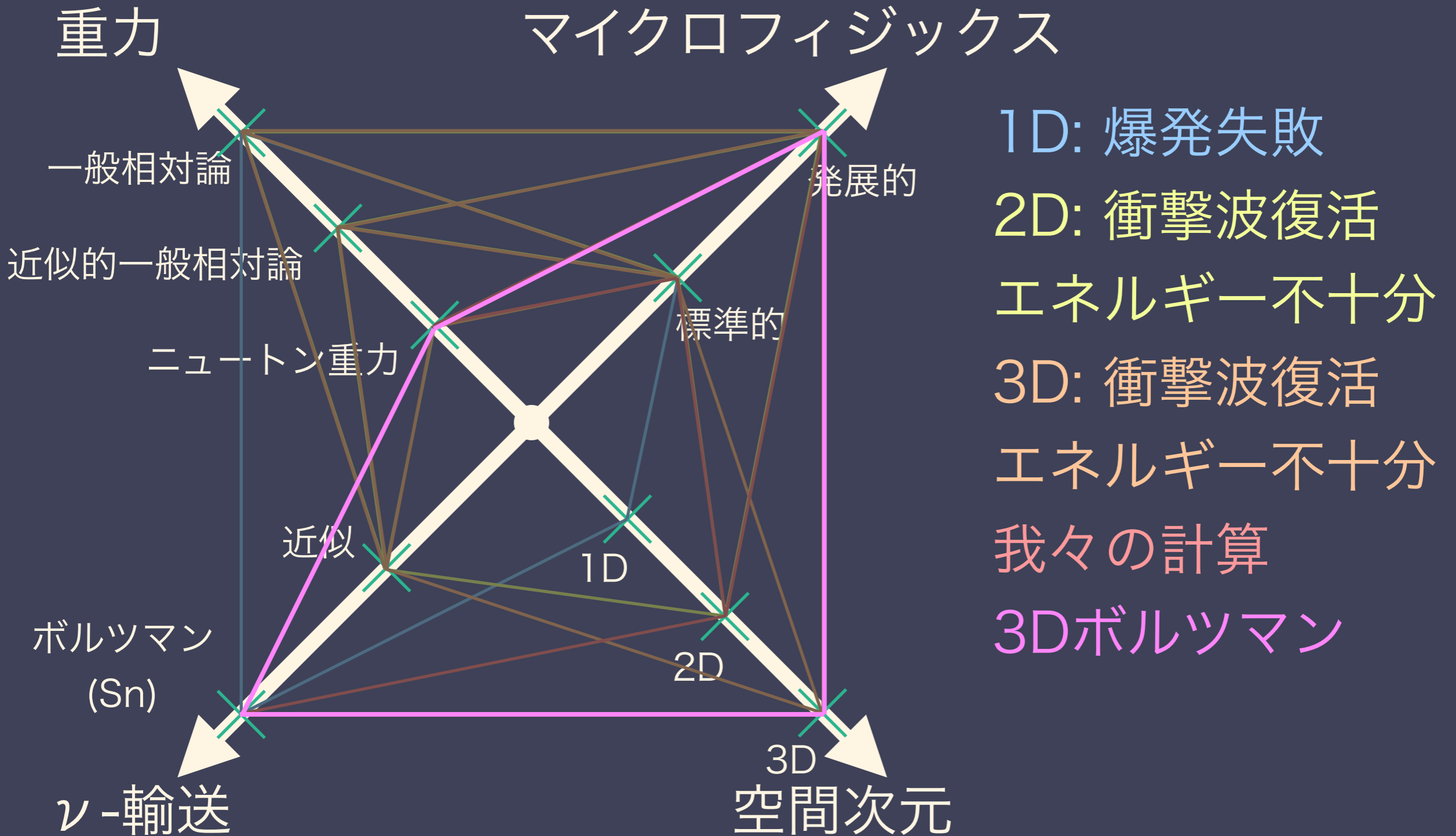
# FT EOSモデルでも結果は同様



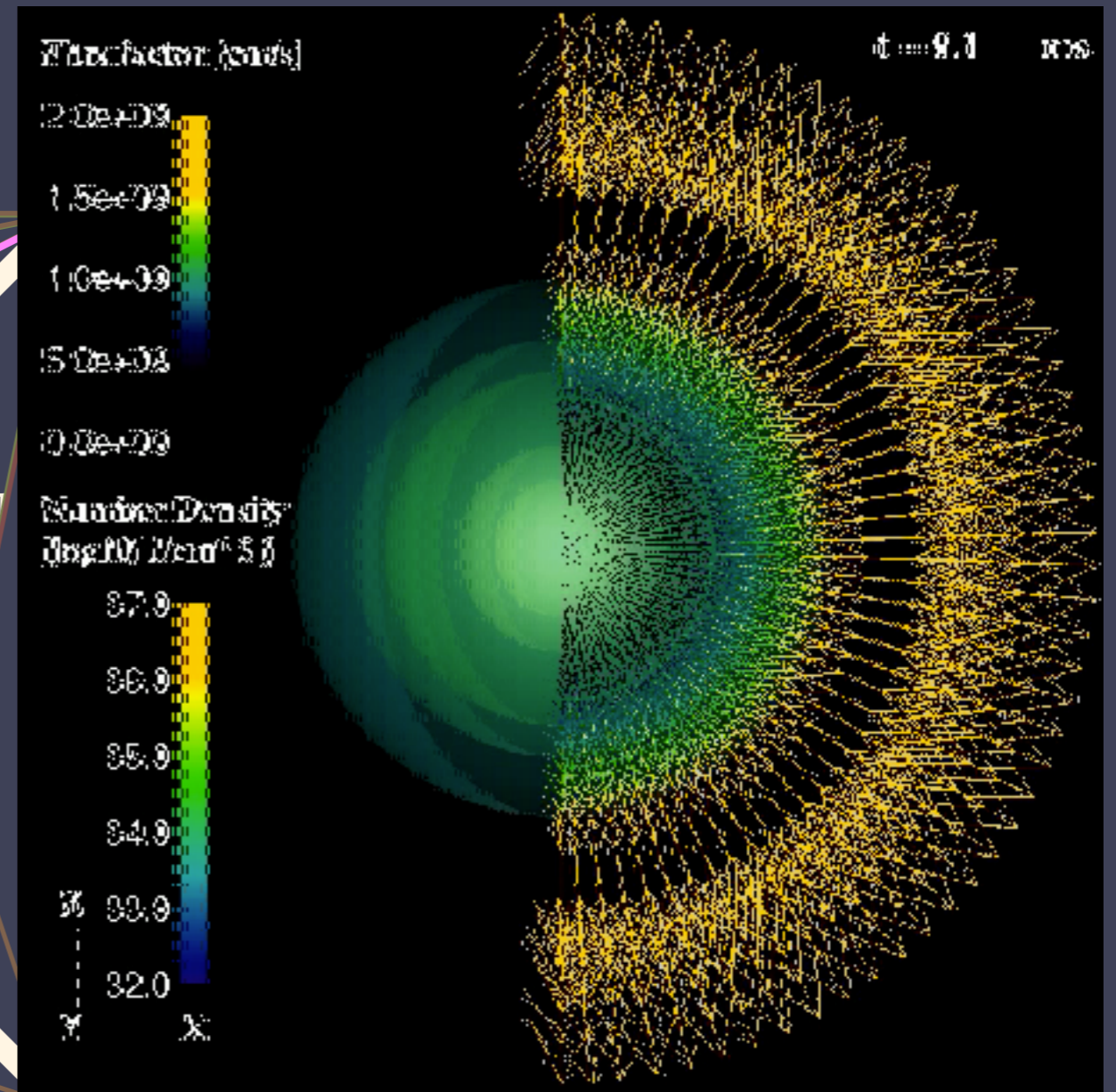
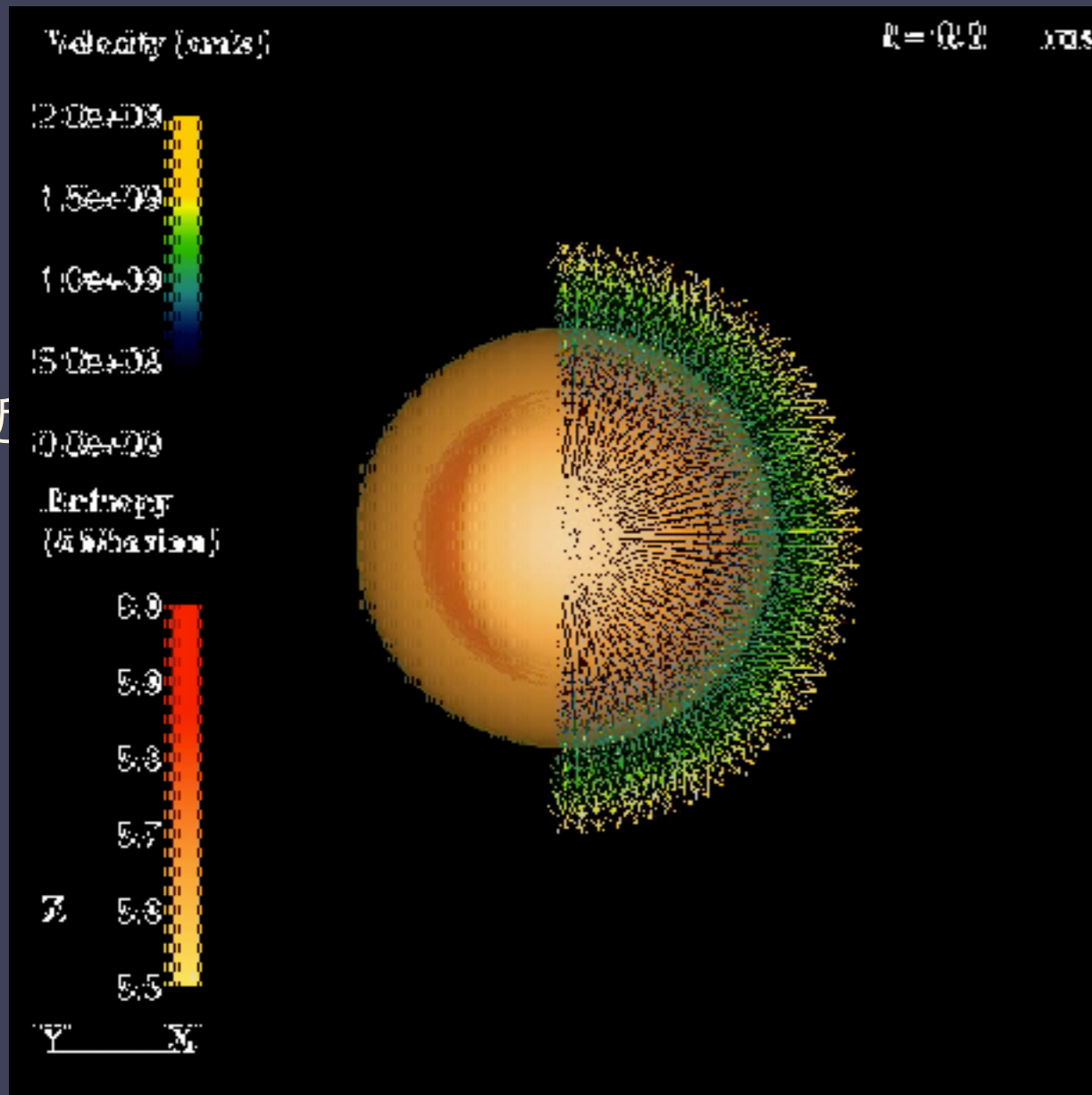
Iwakami+ in prep.

- FT EOSモデルでも同様の傾向が見られる
- 爆発するかどうかを判断するにはさらに長時間の計算が必要

# 超新星シミュレーションの進展



# 超新星シミュレーションの進展



ν-輸送

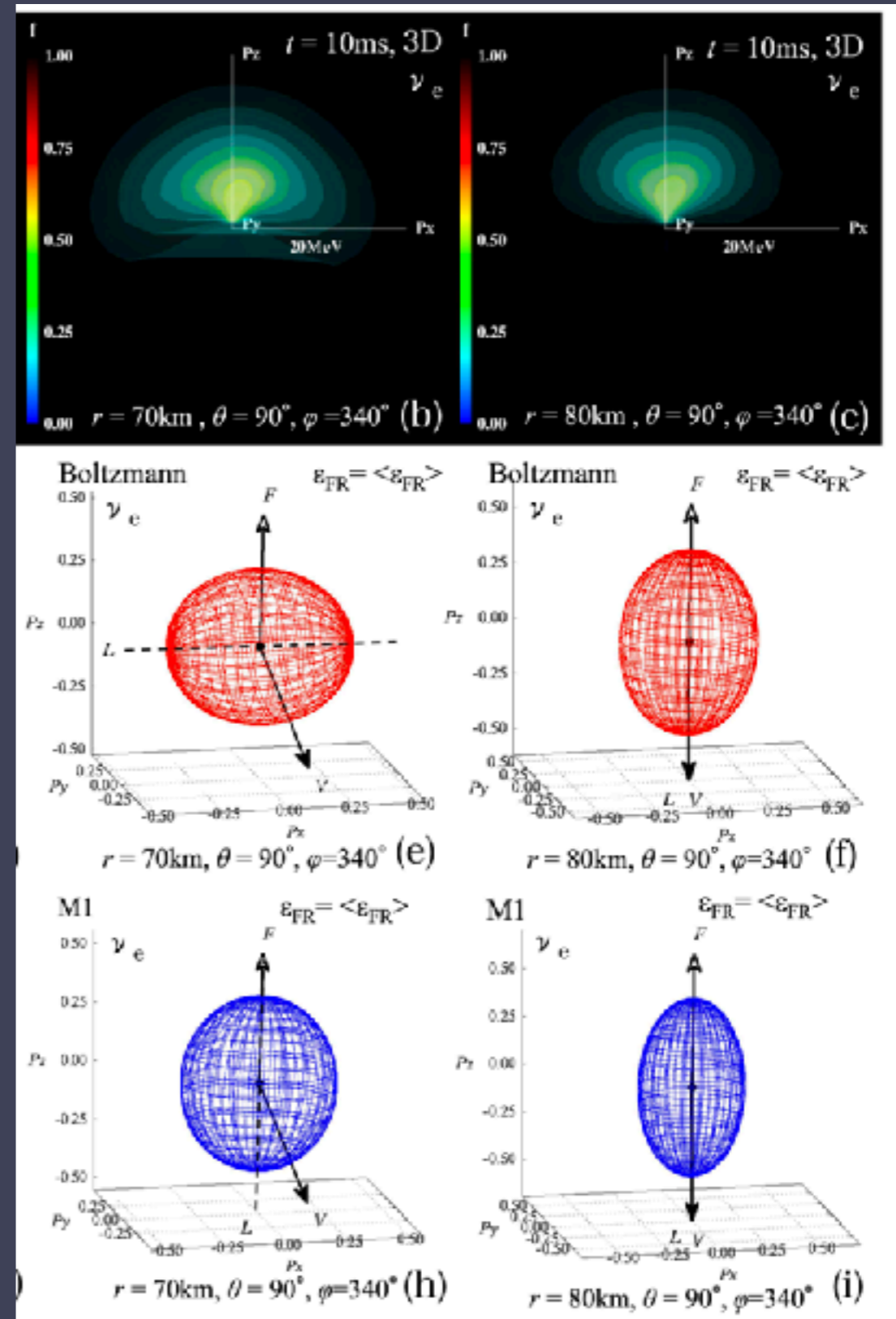
3D  
空間次元

Iwakami+ (preprint 2020)

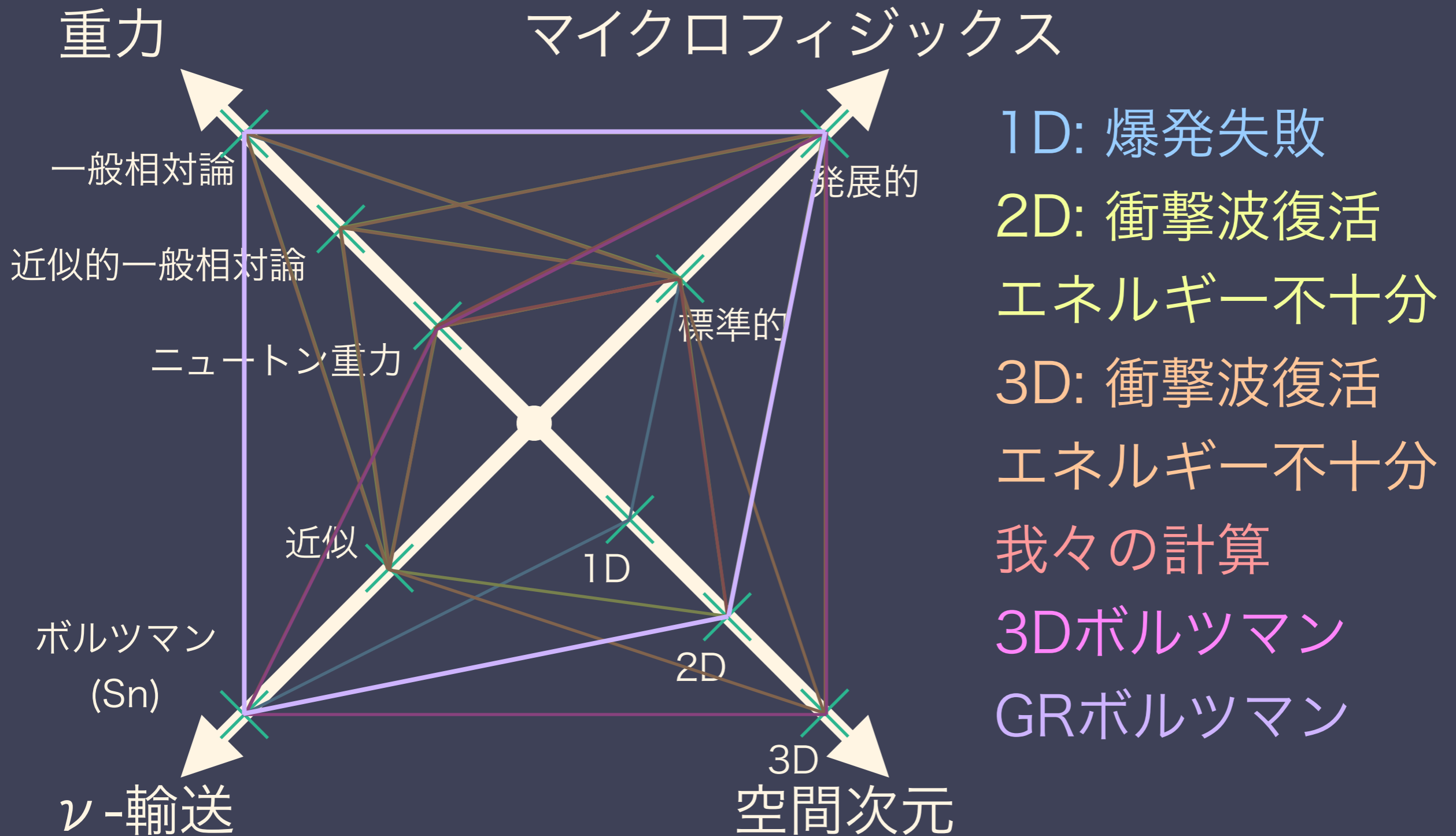


# エディントンテンソルの楕円体表示

- ・軸：固有ベクトル、半径：固有値とする楕円体
  - ・衝撃波外部ではprolateな楕円体
  - ・衝撃波付近ではM1ではprolateだが実際にはoblate
- ▶ emissivityの急激な変化による

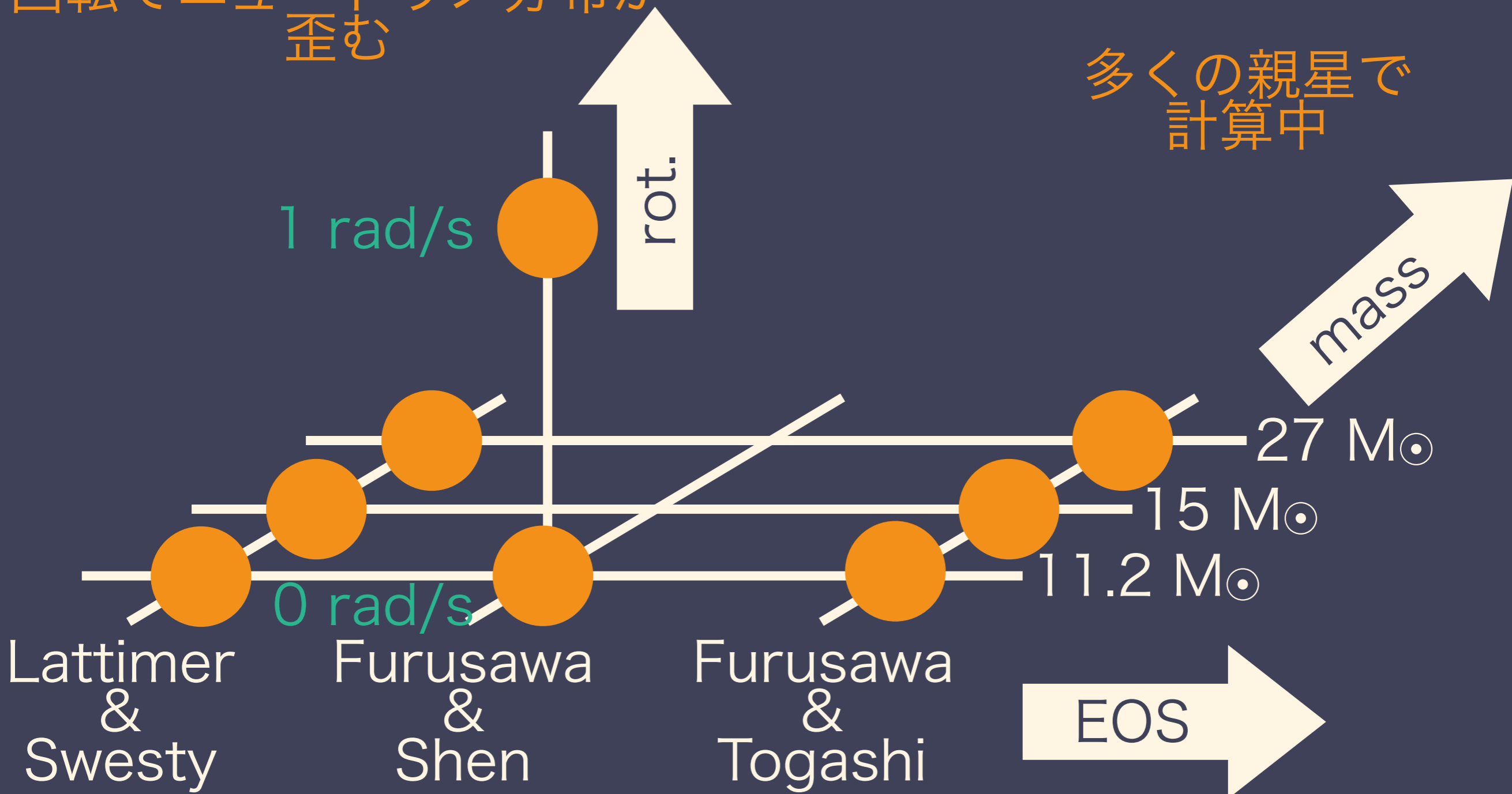


# 超新星シミュレーションの進展



# まとめ

回転でニュートリノ分布が歪む



多くの親星で計算中

原子核組成も重要

PNSキックにもニュートリノ放射が寄与しうる